ระบบหล่อเย็น ซึ่งทำให้ความเข้มของสนามแม่เหล็กบนผิวเป้าสารเคลือบมีค่าต่ำ เป็นผลให้อัตราการ สปัตเตอริงลดลงแม้จะทำให้ความหนาของส่วนหล่อเย็นที่ติดกับเป้าสารเคลือบบางลงก็ตาม

การจัดวางตำแหน่งแม่เหล็กนอกจากจะมีผลต่อการกัดกร่อนบนผิวเป้าสารเคลือบ แล้ว ยังมีผลต่อความหนาของฟิล์มเคลือบ ณ ตำแหน่งต่างๆ ด้วย การจัดวางตำแหน่งแม่เหล็กที่ไม่ดี พอและการวางตำแหน่งวัสดุรองรับใกล้คาโทดมากเกินไปจะทำให้ความหนาฟิล์มเคลือบเปลี่ยน แปลงไปตามพื้นที่กัดกร่อนบนเป้า การจัดให้ฟิล์มเคลือบมีความหนาสม่ำเสมอ อาจทำได้โดยการจัด ตำแหน่งสนามแม่เหล็กที่เหมาะสมและใช้การเคลื่อนที่ของวัสดุรองรับร่วมด้วย เพื่อให้บริเวณที่เกิด อัตราการเคลือบเร็วและช้าได้กระจายสม่ำเสมอตลอดผิวหน้าวัสดุรองรับหรือชิ้นงานนั้น

การปล่อยอนุภาคจากกระบวนการสปัตเตอริง แม้ว่าอะตอมสารเคลือบจะชนกับ โมเลกุลของแก๊สจนเปลี่ยนทิสทางไปมาจากจุดเริ่มต้น และถือเสมือนว่าเป็นกระบวนการแพร่ (diffusion) ลงเคลือบวัสดุรองรับในทุกทิสทางก็ตามฟิล์มที่ได้ย่อมไม่สามารถทำให้ความหนา สม่ำเสมอได้ ถ้าการปล่อยอนุภาคจากทุกจุดบนเป้าสารเคลือบไม่สม่ำเสมอกัน ทั้งนี้พบว่าในแมกนิต รอนสปัตเตอริงแบบพลาสมาวงกลม ฟิล์มเคลือบจะมีความสม่ำเสมอดีที่สุด เมื่อรัสมีภายในและภาย นอกของวงพลาสมามีค่าเป็น 0.7 และ 0.8 ของระยะห่างระหว่างเป้าสารเคลือบและวัสดุรองรับตาม ลำดับ เมื่อแผ่นเป้าวงกลมมีขนาดใหญ่ขึ้น จำนวนวงแหวนพลาสมาของการเกิดสปัตเตอริงควรมี จำนวนเพิ่มขึ้นตามขนาดของแผ่นเป้าเพื่อให้ความหนาฟิล์มเคลือบมีความสม่ำเสมอและเพื่อการใช้ งานเป้าสารเคลือบอย่างมีประสิทธิภาพ

- 4. การซีลด์คาโทด ปกติกระบวนการโกลว์ดิสชาร์จที่จะทำให้เกิดการสปัตเตอริง ทุกบริเวณของคาโทดที่ปรากฏศักย์ ไฟฟ้าลบต่อ ไอออน ดังนั้นเพื่อป้องกันการสปัตเตอร์ ในบางบริเวณ ที่มิได้ติดเป้าสารเคลือบไว้จึงหุ้มล้อมรอบคาโทดด้วยตัวนำไฟฟ้าซึ่งมีศักย์ ไฟฟ้าเท่ากับอาโนดหรือ กราวด์ เรียกว่า คาโทดซีลด์ โดยซีลด์มีระยะห่างจากคาโทดน้อยกว่าระยะคาร์คสเปช ในบางกรณีชีลด์ จะคลุมเลยขอบของเป้าสารเคลือบ เพื่อป้องกันมิให้เกิดการสปัตเตอร์สกรูยึดเป้าสารเคลือบ ทำให้การ เคลือบฟิล์มมีความบริสุทธิ์ปราสจากสารปลอมปนจากสกรูยึดเป้าสารเคลือบนั้น อย่างไรก็ตามแม้ว่า การซีลด์จะป้องกันการสปัตเตอร์ในบางบริเวณได้ บริเวณขอบปลายแหลมหรือฝุ่นผงและสิ่งสกปรกที่ จับอยู่ระหว่างคาโทดและซีลด์อาจเป็นสาเหตุให้เกิดการอาร์คได้
- 5. วัสดุที่ใช้ทำคาโทด สามารถใช้ได้หลายชนิด แต่ที่นิยมใช้มากกันที่สุด คือ เหล็กสเตนเลสและทองแดง เนื่องจากเป็นวัสดุที่มีการเกาะจับของแก๊สต่ำสามารถไล่แก๊สบนผิววัสดุ ภายใต้สุญญากาส (degas) ได้ง่ายและมีความดันไอต่ำ เหล็กสเตนเลสทนการกัดกร่อนจากสารเคมี ต่างๆ ได้ดีแต่มีความนำความร้อนและไฟฟ้าที่ไม่ดี ส่วนทองแดงเป็นตัวนำความร้อนและไฟฟ้าที่ดีแต่ ทนการกัดกร่อนของสารเคมีไม่ดี ทั้งนี้จุดสำคัญในการสร้างคือคาโทดต้องมีความคงทนการกัดกร่อน และมีการนำความร้อนที่ดีบริเวณแผ่นปิดหลัง นอกจากนี้ถ้าคาโทดเป็นชนิดแมกนีตรอนแผ่นปิดหลัง ต้องไม่เป็นสารแม่เหล็ก มิฉะนั้นจะกันสนามแม่เหล็กมิให้มายังเป้าสารเคลือบ

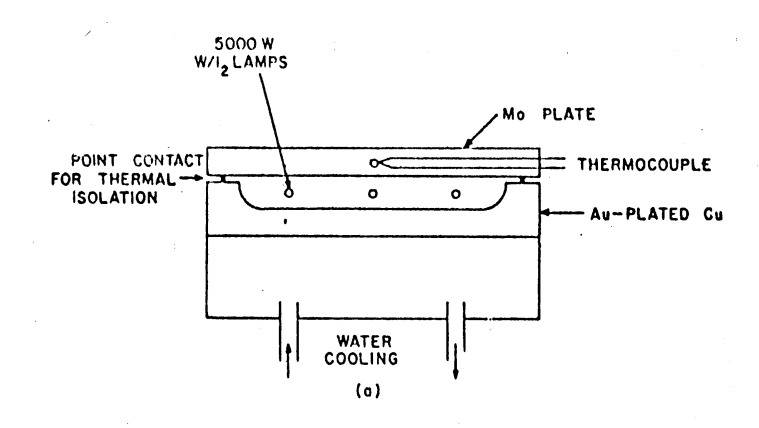
6. วัสดุเป้าสารเคลือบ ควรเป็นวัสดุที่มีความบริสุทธิ์และความหนาแน่นสูงซึ่งผลิต จากกระบวนการ hot-pressed หรือจากการ sintering ในสุญญากาสของผงวัสดุบริสุทธิ์ที่ความหนา แน่นใกล้เคียงกับวัสดุตัน (bulk material) มากที่สุดเพื่อมิให้เนื้อโลหะมีแก๊สจับตัวอยู่ภายในมิฉะนั้น ระหว่างกระบวนการสปัตเตอริงผิวเป้าสารเคลือบภายใต้อุณหภูมิค่อนข้างสูงจะปลดปล่อยอะตอม ของแก๊ส (degas) ซึ่งมักเป็นแก๊สออกซิเจนที่ไวต่อปฏิกริยาอันมีผลต่อคุณภาพฟิล์ม

2.4.2 ที่วางชิ้นงาน

ในการเคลื่อบฟิล์มบางแบบแแมกนี้ตรอนสปัตเตอริง อาโนดหรือที่วางชิ้นงานคือ วัสดุชิ้นเดียวกันซึ่งอาจต่อลงกราวด์หรือแยกขั้วต่อเพื่อการป้อน ใบแอสด้วยสักย์ใฟฟ้าลบได้ ขณะที่ ภาชนะสุญญากาสมักสร้างด้วยโลหะและต่อลงกราวด์เพื่อป้องกันไฟฟ้าชื่อคดังนั้นภาชนะจึงทำหน้าที่ เหมือนอาโนดขนาดใหญ่ในการดึงกระแสอิเล็กตรอนจากระบบในกระบวนการโกลว์ดิสชาร์จ ส่วน กระแสอิเล็กตรอนอีกส่วนหนึ่งซึ่งถูกดึงเข้าสู่ที่วางชิ้นงานพร้อมกับอะตอมพลังงานสูงจากกระบวน การสปัตเตอริง มีส่วนทำให้อุณหภูมิของชิ้นงานสูงขึ้น อุณหภูมิที่สูงขึ้นนี้อาจมีทั้งข้อดีและข้อเสียใน การเคลือบชิ้นงานด้วยเป้าสารเคลือบต่างชนิดกันออกไป เช่นอุณหภูมิที่สูงขึ้นมีแนวโน้มทำให้อัตรา การเคลือบโลหะมีค่าลดลงกว่าขณะอุณหภูมิต่ำส่วนอัตราการเคลือบแบบรีแอคตีฟสปัตเตอริง มีแนวโน้มทางตรงข้าม ฟิล์มเคลือบของสารบางชนิดขีดเกาะกับชิ้นงานได้ดีเมื่อควบคุมอุณหภูมิของชิ้นงานในช่วงค่าหนึ่ง และบางครั้งการที่ชิ้นงานมีอุณหภูมิสูงเกินไปอาจทำลายสภาพความแข็งแรงของชิ้น งานได้เป็นต้น ดังนั้นในการออกแบบที่วางชิ้นงานหรือวัสดุรองรับควรสามารถควบคุมอุณหภูมิชิ้น งานให้เหมาะสมกับสภาพและคุณสมบัติของฟิล์มเคลือบที่ต้องการ ซึ่งส่วนใหญ่มักออกแบบให้มีทั้ง ระบบระบายความร้อนและเพิ่มความร้อนใต้ในที่วางชิ้นงานชุดเดียวกัน (รูปที่ 2.22)

การระบายความร้อน สามารถทำได้โดยการใช้น้ำหล่อเย็นเพราะมีราคาถูก นอก จากนี้ยังอาจใช้แก๊ส หรือในไตรเจนเหลว ทั้งนี้ขึ้นกับอุณหภูมิและความรวดเร็วที่ต้องการใช้งาน ส่วน การเพิ่มความร้อนหรืออุณหภูมิของชิ้นงาน อาจใช้ของเหลวร้อน ขดลวดความร้อน (resestive heater) หรือหลอดรังสีความร้อน (infrared lamp) ในส่วนของการวัดอุณหภูมิอาจใช้เทอร์โมคัปเปิล อินฟราเรด สเปคโตรมิเตอร์ (infrared spectrometer) หรือเทคนิคอื่นก็ได้ ขึ้นกับความละเอียดของการ วัดที่ต้องการ

ส่วนที่วางวัสดุรองรับควรทำด้วยทองแดงหรือโมถิบตินัมซึ่งนำความร้อนได้ดีภาย ใต้สุญญากาสการนำความร้อนจากที่วางชิ้นงานสู่ชิ้นงานเกิดขึ้นไม่ดีนัก เนื่องจากระยะปลอดการชน ของโมเลกุลแก๊สสูงขึ้นมาจึงจำเป็นต้องทำให้ชิ้นงานและแผ่นรองชิ้นงานสัมผัสกันได้ดีที่สุดโดยการ ใช้สารต่อนำความร้อน เช่น อาจใช้ไขซิถิโคน (silicone vacuum grease) ต่อนำความร้อนให้กับชิ้น งาน เมื่ออุณหภูมิที่ต้องการควบคุมไม่เกิน 100°C เมื่ออุณหภูมิสูงขึ้นแต่ไม่เกิน 450°C อาจใช้ กัลเลียม (Ga), อินเดียม (In) หรือฟอยล์อลูมิเนียมเป็นตัวต่อนำความร้อนจากที่วางชิ้นงานสู่ชิ้นงาน



รูปที่ 2.22 โครงสร้างอาโนคหรือที่วางชิ้นงาน ที่ควบคุมอุณหภูมิได้[35]

การทำให้อาโนคหรือแผ่นรองวัสคุรองรับมีขั้วแยกจากกราวค์เพื่อป้อนไบแอสได้ มีข้อดีหลายประการคือ (1) การป้อนไบแอสศักย์ไฟฟ้าลบค่าสูงช่วยให้ที่วางวัสคุรองรับและวัสคุรอง รับทำตัวเสมือนเป็นคาโทด โดยมีผนังภาชนะสุญญากาศเป็นอาโนคทำให้เกิดการสปัตเตอร์กัดกร่อน (sputted etching) บนผิวหน้าชิ้นงานซึ่งจะเป็นการทำความสะอาคผิววัสดุรองรับก่อนการเคลือบซึ่งทำ ให้ฟิล์มยึดเกาะได้ดีขึ้น (2) การป้อนไบแอสด้วยศักย์ไฟฟ้าลบเล็กน้อยแก่วัสคุรองรับ (-50 ถึง -200 m V) ระหว่างการเคลือบจะช่วยการชนของอิเล็กตรอนบนผิววัสคุรองรับทำให้อุณหภูมิของวัสคุรองรับไม่ สูงมากนักและลดโอกาสที่อิเล็กตรอนจะทำลายผิวฟิล์มเคลือบจากการวิ่งชน (3) การป้อนใบแอสศักย์ ้ไฟฟ้าลบแก่ชิ้นงานจะทำให้ปริมาณแก๊สไวปฏิกริยาที่ตกค้างในฟิล์มมีค่าลดลง ทั้งนี้เนื่องจากเกิด กระบวนการสปัตเตอร์ซ้ำ (resputtering) บนผิวฟิล์ม ทำให้แก๊สไวปฏิกริยาบางส่วนถูกสปัตเตอร์หลุด ออกไปมากกว่าสารเคลือบและฟิล์มมีความบริสุทธิ์มากขึ้น การขจัดแก๊สออกมากหรือน้อยขึ้นกับแรง ขึดเกาะระหว่างแก๊สไวปฏิกริยากับวัสดุเคลือบ เมื่อเทียบกับแรงยึดเกาะกันเองของอะตอมวัสดุเคลือบ จากการทดลองพบว่าการป้อน ใบแอสศักย์ใฟฟ้าลบให้กับวัสดุรองรับที่เคลือบบนแทนทาลัม (Ta) โมลิมลินัม (Mo) และในโอเบียม (Nb) ปริมาณออกซิเจนในฟิล์มมีค่าต่ำกว่าขณะไม่ป้อนใบแอสมาก แต่การ ใบแอสชิ้นงานเมื่อเคลือบ อลูมิเนียม (Al) และ แมกนีเซียม (Mg) ไม่สามารถลดปริมาณ ออกซิเจนในฟิล์มได้มากนัก เมื่อเทียบกับขณะไม่มีใบแอส เนื่องจากการยึดเกาะระหว่างออกซิเจน และอะตอมโลหะมีมากกว่าการยึดเกาะกันเองของอะตอมโลหะ

ข้อเสียของการป้อน ใบแอสศักย์ใฟฟ้าถบกับวัสคุรองรับ คือ แก๊สเฉื่อยที่ถูกจับอยู่ ในฟิล์มจะเพิ่มปริมาณมากขึ้นตามกำลังสองของความต่างศักย์ไฟฟ้า ใบแอส เนื่องจาก ไอออนของ อาร์กอนมีโอกาสถูกเร่งด้วยสนามไฟฟ้าจากไบแอสให้มีพลังงานสูงขึ้นและชนฝังตัวในฟิล์มมากขึ้น ตามพลังงานที่ได้รับ แต่ปริมาณอาร์กอนในฟิล์มนี้สามารถลดลงได้เมื่ออุณหภูมิของวัสคุรองรับสูงขึ้น

2.4.3 ระบบสุญญากาศ (vacuum system)

เนื่องจากภายในระบบสุญญากาสทุกพื้นที่มีโอกาสถูกชนด้วยอะตอมสารเคลือบ
และไอออนพลังงานสูง เป็นเหตุให้เกิดการปล่อยแก๊สออกจากพื้นผิวที่ถูกชน (outgassing) ดังนั้น ชิ้น
ส่วนต่างๆ ภายในระบบสุญญากาสควรมีการระบายความร้อนและต่อกราวด์ไว้เพื่อลดปริมาณการ
ปล่อยแก๊สไวปฏิกิริยาจากผนังของระบบสุญญากาส (outgas) แก๊สควรป้อนเข้าสู่ระบบและดูดผ่าน
เครื่องสูบตลอดเวลาเพื่อไล่แก๊สไวปฏิกริยาออกจากระบบตลอดการสปัตเตอร์ทำให้ลดสารปลอมปน
(contamination) ในฟิล์มที่เคลือบได้ การปล่อยปริมาณแก๊สบริสุทธิ์ของอาร์กอนไหลผ่านระบบด้วย
อัตราสูง จะเป็นการช่วยเจือจางแก๊สไวปฏิกริยาในระบบและลดอุณหภูมิของระบบลงเนื่องจาก
ปริมาณแก๊สที่ถูกปล่อยจากผนังของระบบมีค่าลดลงตามเวลา จึงควรใช้แผ่นปิด (shutter) กั้นระหว่าง
คาโทด และวัสดุรองรับเพื่อกับมิให้การเคลือบเกิดขึ้นระหว่างช่วงแรกที่มีปริมาณแก๊สไวปฏิกริยาสูง
รวมทั้งให้เวลาแก่ระบบในการทำความสะอาดผิวเป้าสารเคลือบก่อนการเคลือบจริง (presputtering)
จากนั้นจึงเปิดแผ่นปิดและเคลือบฟิล์มบางเมื่อภายในระบบสะอาดแล้ว

แม้ความดันแก๊สที่ใช้ในระบบสปัตเตอริงจะมีค่าระหว่าง 10⁻³-10⁻¹ mbar ก็ตามก่อน การสปัตเตอริงทุกครั้งควรถดความดันในระบบให้อยู่ในช่วงระหว่าง 10⁻⁷-10⁻⁶ mbar เพื่อขจัดแก๊สที่ เกาะจับบนผิวชิ้นส่วนต่างๆ และผนังภาชนะออกให้มีปริมาณน้อยที่สุด และควรมีลวดความร้อนเพื่อ เพิ่มอุณหภูมิผิวภายในผนังภาชนะเพื่อช่วยการปล่อยแก๊สจากผนังภาชนะสุญญากาศ ในระยะแรกเมื่อ ความดันถดต่ำพอจึงหยุดการให้ความร้อนและทำความเย็นผนังภาชนะสุญญากาศแทน ผนังภาชนะ สุญญากาศที่ทำจากเหล็กสเตนเลสและทองแดงจะมีการปล่อยแก๊สง่ายและกันการรั่วซึมของแก๊สจาก ภายนอกระบบได้ดี ผนังด้านหนึ่งของภาชนะสุญญากาศอาจทำเป็นช่องกระจกเพื่อดูกระบวนการ สปัตเตอริงภายในและเพื่อการควบคุมตำแหน่ง แผ่นปิดและชิ้นส่วนต่างๆ ภายในระบบ

เครื่องสูบที่ใช้กับระบบสปัตเตอริงส่วนใหญ่ได้แก่ เครื่องสูบแบบแพร่ไอ (diffusion pump) ซึ่งสามารถถดความคันในระบบได้ถึง 10⁻⁷ mabr และมีประสิทธิภาพสูงที่ความคัน ต่ำ อย่างไรก็ตามที่ความคัน 10⁻³ mbar เครื่องสูบแบบแพร่ไอจะมีประสิทธิภาพถดลง ที่ความคันค่าสูง นี้อาจเป็นสาเหตุให้เกิดการฟุ้งของไอน้ำมันเข้าสู่ภาชนะสุญญากาศตอนบนทำให้เกิดความสกปรกต่อ ฟิล์มเคลือบดังนั้นจึงมีขีดจำกัดของเครื่องสูบแบบแพร่ไอที่ไม่สามารถใช้กับระบบที่มีอัตราการไหล ของแก๊สสูงเกินไปและการใช้ต้องระวังมิให้ความคันบริเวณทางออกของเครื่องสูบแบบแพร่ไอสู่ เครื่องสูบกลโรตารี มีค่าสูงเกินกว่าที่ผู้ผลิตกำหนดเพื่อป้องกันการไหลข้อนกลับ (back streaming)

ภาชนะของระบบสุญญากาศควรมีขนาดใหญ่กว่าขนาดคาโทดพอสมควร เนื่อง จากไอออนจากแก๊สเฉื่อยอาจรวมกับอิเล็กตรอนเป็นกลางทางไฟฟ้าได้ที่ผนังภาชนะการที่ผนังภาชนะ อยู่ใกล้คาโทดเกินควรอาจทำให้ไอออนส่วนใหญ่ที่ควรถูกเร่งเข้าชนคาโทดบริเวณขอบเป้าเมื่อแพร่ ผ่านพลาสมาสู่คาโทดเกิดการชนกับผนังภาชนะแล้วกลายเป็นกลางทำให้สูญเสียปริมาณไอออนที่ ควรวิ่งสู่คาโทดไปส่วนหนึ่ง เรียกว่า การสูญเสียที่ผนัง (Wall losses) ทำให้อัตราการสปัตเตอร์ลดลง

2.4.4 <u>แหล่งกำเนิดไฟฟ้า (power supply)</u>

แหล่งกำเนิด ไฟฟ้าแรงสูงที่ใช้กับระบบ ไดโอดสปัดเตอริงอาจใช้ ไฟฟ้ากระแสตรง ไฟฟ้ากระแสสลับความถี่ต่ำหรือความถี่สูง โดย ไฟฟ้ากระแสสลับความถี่ต่ำอาจใช้ในการสปัดเตอร์ที่ มี 2 คาโทด โดยมีชิ้นงานอยู่ระหว่างกลางเพื่อให้การเคลือบเกิดขึ้นทั้ง 2 ด้านของชิ้นงานในเวลาเดียว กันด้วยแหล่งกำเนิด ไฟฟ้าเพียงชุดเดียว สำหรับระบบแมกนีตรอนสปัดเตอริง ความต่างสักย์ที่ใช้งานมี ค่าอยู่ระหว่าง 300-800 V กระแสควรมีค่าระหว่าง 10-100 mA/cm² บนคาโทด โดยมีระบบควบคุม กระแสคงที่แบบปรับค่าได้ ไฟฟ้าแรงสูงกระแสตรงที่ใช้อาจมีการกรองสัญญาณให้เรียบหรือ ไม่ก็ได้ การกรองสัญญาณจะช่วยให้การสปัดเตอร์บนผิวสารเคลือบและสภาพโกลว์ดิสชาร์จมีความสม่ำเสมอ การไม่กรองสัญญาณไฟฟ้าช่วยลดความรุนแรงการอาร์คลง แหล่งกำเนิด ไฟฟ้าที่ใช้ควรสามารถทน ต่อการเกิด ไฮท์โวลตเตจ อาร์ เอฟ ทรานเชียร์ (high voltage rf transients) ซึ่งเกิดจากพลาสมาในระบบ แมกนีตรอน รวมทั้งการอาร์คของระบบด้วย การอาร์คเพียงเล็กน้อยจากสารเจือปน และ ไดอิเล็กตริก เบรคดาวน์ (dielectric breakdown) บนเป้าสารเคลือบ ซึ่งเกิดขึ้นชั่วขณะระบบป้องกันของเครื่องควร จำกัดกระแสการอาร์คนี้ไว้ได้โดยไม่ตัดวงจรแต่การอาร์คอย่างรุนแรงอันเกิดจากการหลุดลอกของ ฟิล์มเคลือบจากแผ่นซีลด์คาโทดและสัมผัสคาโทดให้เกิดลัดวงจร ระบบป้องกันควรมีความไวสูงใน การตัดแหล่งกำเนิดออกจากวงจร แหล่งกำเนิดไฟฟ้าที่ใช้กับระบบสปัตเตอริงมีหลายชนิดดังนี้

1 แหล่งกำเนิด ไฟฟ้า ดีซี (DC power supply) ถ้ากำลัง ไฟฟ้าที่ใช้ ไม่เกิน 10 kW นิยมใช้หม้อแปลง ไฟฟ้าออตโต (auto transformer) ควบคุมความต่างศักย์ ไฟฟ้าของหม้อแปลง ไฟฟ้า แรงสูง ซึ่งแปลง ไฟฟ้าเป็นกระแสตรงด้วยบริคง์เร็คติฟายเออร์ (bridge rectifier) และควรมีขคลวดอิน คักเตอร์ต่ออยู่เพื่อกันสัญญาณ อาร์ เอฟ สไปค์ (rf spikes) จากการอาร์คซึ่งอาจทำลายวงจรบริคง์เร็คติฟายเออร์ ได้ การมีชันท์แม่เหล็ก (magnetic shunting) ในตัวทราสฟอร์เมอร์ จะทำให้ทรานส์ฟอร์เมอร์ มีค่าเอาท์พุทอิมฟีแคนซ์ (output impedance) สูง เมื่อเกิดการอาร์คขึ้น กระแสจากการอาร์คจะถูกป้อน กลับสู่ทรานส์ฟอร์เมอร์และลดค่าแรงเคลื่อน ไฟฟ้าของทรานส์ฟอร์เมอร์ลงเป็นศูนย์อย่างรวดเร็วทำ ให้แหล่งกำเนิดป้องกันอันตรายตัวเองได้

เมื่อกำลังไฟฟ้าสูงขึ้นอาจใช้ชุด ซิลิคอน คอนโทรล เร็คติฟายเออร์ (silicon control rectifier) ควบคุมความต่างศักย์ไฟฟ้าเลลี่ยของทรานส์ฟอร์เมอร์ 3 เฟส โดยมีวงจรบริดจ์เร็คติฟาย เออร์ 3 เฟส (3-phase bridge rectifier) ต่ออยู่เพื่อแปลงไฟฟ้ากระแสสลับเป็นกระแสตรง นอกจากนี้ อาจมีวงจรป้อนกลับ (feed back circuit) ควบคุมความต่างศักย์ไฟฟ้าคงที่ หรือกระแสไฟฟ้าคงที่แล้ว แต่ความต้องการตามชนิดของระบบสปัตเตอริง เพื่อให้ระบบทำงานอย่างปลอดภัยจากการอาร์ค หรือ การมีภาระเกิน (overload) รวมทั้งมีอุปกรณ์วัดละเอียด เช่น แอมมิเตอร์และโวลต์มิเตอร์ เป็นต้น ซึ่ง เสริมเข้ากับระบบเพื่อความสะดวกในการใช้งาน

2. แหล่งกำเนิด ไฟฟ้าความถี่สูง (RF Power supply) แหล่งกำเนิด ไฟฟ้าความถี่สูงนี้ นิยมใช้ที่ความถี่ 13.56 ± 0.00678, 27.12 ± 0.0160 และ 40.68 ± 0.020 MHz ตามข้อตกลงของ International Agreement for Unlimited Radiation ซึ่งให้การรบกวนต่อระบบโทรคมนาคมน้อยและมี การผลิตในเชิงการค้าโดยทั่ว ไปเครื่องกำเนิด ไฟฟ้าความถี่สูงที่ผลิตขึ้นในเชิงการค้า มีค่าอิมพีแดนซ์ เอาท์พุท ประมาณ 50 โอห์ม แต่กระบวนการโกลว์ดิสชาร์จมีค่าอิมพีแดนซ์สูงกว่านี้มากจึงจำเป็นต้องใช้วงจรแมชชิ่งเพื่อสามารถปรับค่าอิมพีแดนซ์ให้เครื่องกำเนิด ไฟฟ้าส่งพลังงานสู่ระบบสปัตเตอริง อย่างมีประสิทธิภาพสูงสุดและในกรณีการทำไบแอสสปัตเตอริงกับระบบอาร์เอฟ จำเป็นต้องมีวงจร ทูนนิง (tuning network) ช่วยในการปรับเฟสของ ไฟฟ้าสลับที่เหมาะสมด้วยการทำไบแอสสปัตเตอริง ในระบบอาร์เอฟจึงค่อนข้างมีความยุ่งยากกว่าระบบดี ซึ่ มาก

2.4.5 ระบบป้อนแก๊ส

แก๊สที่ป้อนเข้าสู่ระบบสปัดเตอริงควรมีหลายจุดเพื่อควบคุมความคันมิให้แตกต่าง กันในแต่ละส่วนที่เกิดกระบวนการสปัตเตอริง ความไม่สม่ำเสมอของแก๊สอาร์กอนจะทำให้อัตราการ สปัตเตอร์ที่เกิดบนผิวเป้าสารคเลือบไม่สม่ำเสมอ ซึ่งมีผลต่อความหนาฟิล์มและอายุการใช้งานของ เป้าสารเคลือบ การป้อนแก๊สไวปฏิกริยาที่ไม่สม่ำเสมอทำให้ส่วนผสมของชาตุในฟิล์มเคลือบสาร ประกอบมีความแตกต่างกัน การป้อนแก๊สที่ความคันต่ำในระบบสปัตเตอริงควรใช้วาล์วรูเข็มซึ่ง สามารถส่งแก๊สเข้าสู่ระบบได้ทีละน้อยและควบคุมความคันได้ละเอียดพอ และไม่ควรป้อนแก๊สจาก ถังเก็บแก๊สซึ่งมีความคันสูงผ่านวาล์วรูเข็มโดยตรง ควรมีการลดลำดับความคันด้วยวาล์วปรับความ คัน (regulator value) เป็นช่วงๆ และควรมีเครื่องวัดอัตราการไหลของแก๊ส (gas flow meter) ต่ออยู่ ก่อนถึงวาล์วรูเข็ม ท่อส่งแก๊สไม่ควรมีความยาวมากเกินไป และเมื่อต่อกับระบบสุญญากาสต้อง สามารถลดความคันในท่อลงได้ต่ำถึง 1 m torr เพื่อการทำความสะอาคท่อโดยผ่านวาล์วบายพาส (bypass) ท่อควรทนความคันใด้สูงถึง 200 ปอนด์/ตารางนิ้ว เป็นอย่างน้อย เมื่อต่อกับถังแก๊สความคัน สูง การป้อนแก๊สเข้าสู่ระบบควรป้อนเข้าตอนบนของภาชนะสุญญากาส เพื่อการกระจายตัวอย่าง สม่าเสมอของแก๊สภายในระบบ ก่อนถูกดูดผ่านปั้มซึ่งดิดตั้งอยู่บริเวณตอนล่าง การป้อนแก๊สโกล้ บริเวณคาโทคอาจลดความสม่ำเสมอของความคันลงบ้าง แต่เป็นการป้องกันมิให้แก๊สที่รั่วเข้าสู่ระบบ ตามผนงภาชนะเข้าสู่บริเวณตอนล่าง การป้อนแก๊สโกล้

2.5 ลักษณะเฉพาะตัวของระบบสปัตเตอริง^{[4[21]}

2.5.1 ความสัมพันธ์ระหว่างกระแส ความต่างศักย์ดิสชาร์จและความดัน

ความสัมพันธ์ระหว่างกระแสและความต่างศักย์ดิสชาร์จในระบบสปัตเตอริงจะ แสดงถึงประสิทธิภาพของการเกิดไอออในเซชั่น สภาพการดิสชาร์จในระบบแมกนีตรอนที่จัดไว้ อย่างมีประสิทธิภาพจะมีความสัมพันธ์ของกระแสและความต่างศักย์ดิสชาร์จตามสมการ

$$I = kV^{n} \qquad \dots \dots (2.5)$$

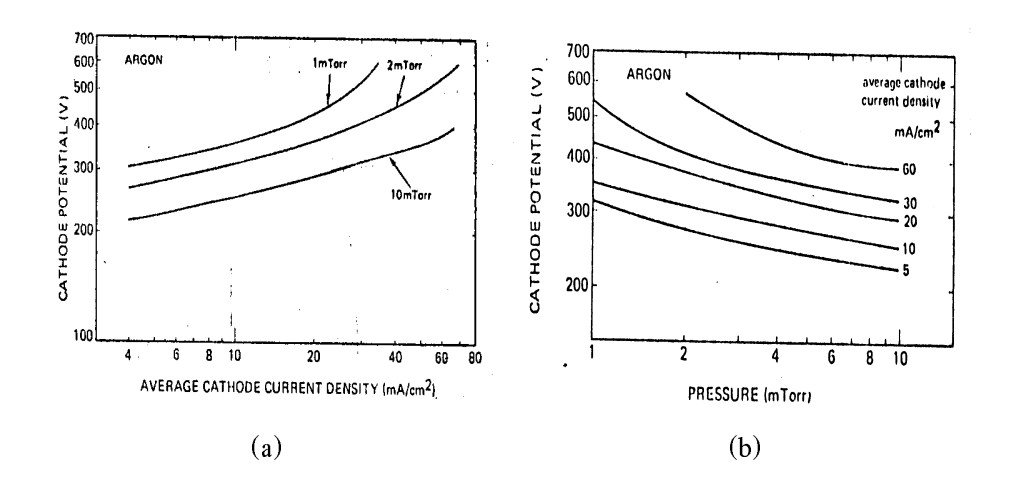
เมื่อ I คือกระแสของคาโทด

V คือความต่างศักย์ดิสชาร์จ

n คือคัชนีแสดงถึงความสามารถในการกักเก็บอิเล็กตรอนในสนามแม่เหล็ก

ทั้งนี้ n จะขึ้นกับความเข้มของสนามแม่เหล็กและการจัดรูปร่างของแนวสนามแม่ เหล็ก โดยปกติ n มีค่าระหว่าง 5 ถึง 9 ในแมกนีตรอนสปัตเตอริงแบบทรงกระบอกแต่อาจแตกต่างไป บ้างเมื่อจัดแบบพลานาร์แมกนีตรอน k คือค่าคงที่ของความสัมพันธ์ ทั้งนี้การเปลี่ยนแปลงของกระแส ในช่วงกว้างจะมีผลต่อการเปลี่ยนแปลงของความต่างศักย์ดิสชาร์จเพียงเล็กน้อยเท่านั้น

ความสัมพันธ์ระหว่างกระแสและความต่างศักย์ดิสชาร์จ ที่ความดันต่างๆ แสดงได้ ดังรูปที่ 2.23(a) ทั้งนี้จะเห็นว่า ที่ความดัน 10 m torr จะพบว่า n เท่ากับ 4.6 และ k เท่ากับ 6x10⁻¹³ สำหรับคาโทดชุดนี้ การเปลี่ยนค่าของความชันกราฟ เมื่อกระแสไฟฟ้ามีค่าสูงขึ้น เนื่องจากขณะที่ กระแสไฟฟ้าค่าสูงขึ้นปริมาณไอออนของแก๊สถูกจำกัดด้วยความดันในระบบทำให้ปริมาณการผลิต อิเล็กตรอนและพลังงานที่สูงขึ้นเพื่อใช้ในการสร้างอิเล็กตรอนทุติยภูมิเพิ่มขึ้น ทำให้เกิดการเบนโค้ง ของกระแสดังในรูป 2.23(a) การเบนโค้งนี้จะเริ่มที่กระแสสูงขึ้นถ้าความคันในระบบมีค่าสูงขึ้น ส่วน รูปที่ 2.23(b) แสดงความสัมพันธ์ระหว่างความต่างศักย์ดิสชาร์จของคาโทดและความดันที่กระแสไฟ ฟ้าคงที่ที่ค่าต่างๆ การเพิ่มความดันทำให้ความหนาแน่นอะตอมแก๊สเฉื่อยเพิ่มขึ้น และยังผลให้ปริมาณ ใอออนที่ถูกผลิตมีปริมาณเพิ่มสูงขึ้นตามไปด้วยอิเล็กตรอนทุติยภูมิที่เกิดจากการชนของไอออนบน เป้าสารเคลือบจึงมีปริมาณสูงขึ้นทำให้ความนำไฟฟ้าของการดิสชาร์จสูงขึ้น และความต่างศักย์ดิส ชาร์จมีค่าลดลง ดังนั้นเมื่อควบคุมกระแสไฟฟ้าให้มีค่าคงที่ ความต่างศักย์ดิสชาร์จจะมีค่าลดลงเมื่อ ความดันเพิ่มที่น



รูปที่ 2.23 (a) ความสัมพันธ์ระหว่างกระแสและความต่างศักย์คิสชาร์จของพลานาร์

แมกนีตรอนคาโทครูปสี่เหลี่ยม ที่ความคันค่าต่างๆ

(b) ความสัมพันธ์ระหว่างความต่างศักย์คิสชาร์จ และความคันเมื่อกระแสคงที่ [36]

2.5.2 อัตราเคลือบและประสิทธิภาพการเคลือบ

อัตราการสปัตเตอร์ของเป้าสารเคลือบขึ้นกับปริมาณ ใอออนซึ่งแปรผันกับกระแส และพลังงานของใอออนซึ่งแปรผันกับความต่างสักย์คิสชาร์จ ซึ่งแปรผันโดยตรงกับกำลังงาน ไฟฟ้าที่ จ่ายให้กับระบบ ส่วนอัตราเคลือบ (R) นอกจากแปรผันโดยตรงกับอัตราการสปัตเตอร์แล้วยังขึ้นกับ ปัจจัยอื่นๆ อีก เช่น พื้นที่ของการเกิดสปัตเตอริง ระยะห่างระหว่างคาโทดและวัสดุรองรับ ค่ายิลด์และ การนำความร้อนของวัสดุที่ใช้ทำเป้าสารเคลือบความคันรวม และความคันย่อยของแก๊ส ไวปฏิกริยา ภายในบริเวณเป้าสารเคลือบ ค่าการนำความร้อนของเป้าสารเคลือบอาจเป็นปัจจัยหนึ่งที่กำหนดขนาด กำลังไฟฟ้าที่ใช้ในระบบการเคลื่อนที่ชิ้นงานระหว่างการเคลือบมีผลต่อการลดอัตราเคลือบลง ทั้งนี้ ประสิทธิภาพของอัตราเคลือบ ($\mathbf{R}_{\scriptscriptstyle E}$; อัตราส่วนระหว่างอัตราเคลือบและค่ากำลังงาน ไฟฟ้าที่ใช้ต่อ หน่วยพื้นที่) สามารถหาใด้จากสมการ

$$R_E = \frac{R}{P}$$
 (2.6)

ประสิทธิภาพของการเคลือบนี้จะช่วยกำหนดสภาพดีที่สุดของกระบวนการเคลือบ ในระบบแมกนีตรอน ประสิทธิภาพการเคลือบทองแดงมีค่าระหว่าง 800-1200 A°-cm²/W-min และ อลูมิเนียมมีค่าระหว่าง 200 -650 A°-cm²/W-min เป็นต้น ทั้งนี้ระบบแมกนีตรอนสปัตเตอริงนับว่าเป็น วิธีการเคลือบที่มีประสิทธิภาพที่สุดเมื่อเทียบกับวิธีสปัตเตอริงอื่นๆ สามารถให้ประสิทธิภาพสูงกว่า 60% ของค่าการคำนวณทางทฤษฎีและดีกว่า ดี ซี พลานาร์ สปัตเตอริงถึง 3 เท่าตัว

2.5.3 ปิดจำกัดของอัตราเคลือบ

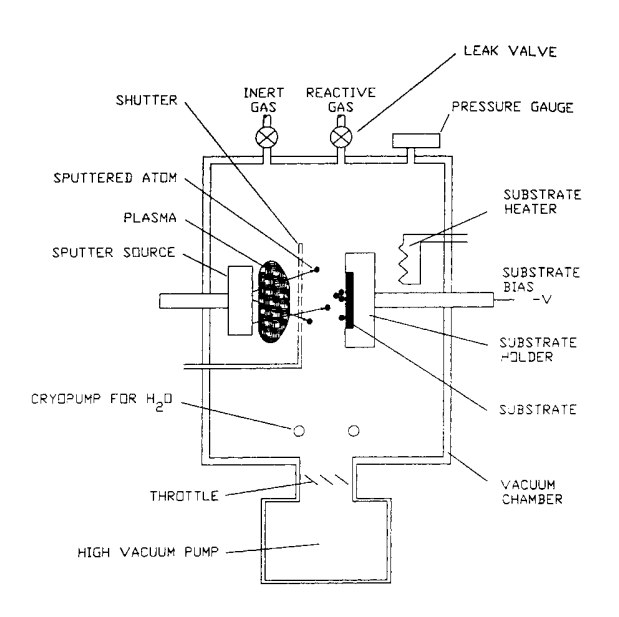
ปัจจัยสำคัญในการจำกัดอัตราเคลือบคือค่ากำลังไฟฟ้าสูงสุดที่เป้าสารเคลือบทนได้ โดยไม่แตกหรือระเหยออก ซึ่งสัมพันธ์กับสภาพการนำความร้อนของวัสดุที่ใช้ทำเป้าสารเคลือบและ อัตราการระบายความร้อนของเป้าสารเคลือบ สัมประสิทธิ์การขยายตัวและความหนาเป้าสารเคลือบ ซึ่งเป็นตัวกำหนดความร้อนที่เป้าสารเคลือบรับได้ก่อนแตกเนื่องจากความร้อนก็เป็นปัจจัยสำคัญอีก ตัวหนึ่ง โครงสร้างเป้าสารเคลือบที่มีความเค้นคงค้าง (residual stress) ทนต่อการสปัตเตอร์ต่ำกว่าเป้า สารเคลือบที่ผ่านกระบวนการอบอ่อน (annealing) การระบายความร้อนโดยตรงแก่เป้าสารเคลือบทำ ให้สามารถทนต่อการสปัตเตอริงได้สูงกว่าการระบายความร้อนผ่านแผ่นปิดหลังของคาโทด เป็นต้น

2.6 การเคลือบแบบ รีแอคทีฟ สปัตเตอริง (reactive sputtering method)

2.6.1 แนวคิดเกี่ยวกับการเคลือบด้วยวิธี รีแอคทีฟ สปัตเตอริง

การเคลือบด้วยวีซี รีแอคทีฟ สปัตเตอริง คือ กระบวนการเคลือบด้วยวิชีสปัตเตอริง ที่มีการป้อนแก๊สไวปฏิกิริยา หรือ รีแอคทีฟแก๊ส เข้าสู่ระบบเพื่อให้แก๊สนั้นทำปฏิกิริยากับสารเคลือบ เกิดสารประกอบของฟิล์มที่ต้องการเคลือบลงบนวัสดุรองรับ วิชีนี้ใช้ระบบและหลักการพื้นฐานเดียว กับระบบสปัตเตอริงปกติแต่มีการเพิ่มรีแอคทีฟแก๊ส ดังนั้นแก๊สที่ใช้ในระบบนี้มี 2 ชนิดคือ

- 1. สปัตเตอริงแก๊ส (sputtering gas) เป็นแก๊สที่ทำให้เกิดกระบวนการสปัตเตอริง ปกติมักเป็นแก๊สเฉื่อย เช่น แก๊สอาร์กอน
- 2. รีแอคทีฟแก๊ส (reactive gas) เป็นแก๊สที่จะเข้าทำปฏิกิริยากับอะตอมของสาร เคลือบแล้วเกิดเป็นสารประกอบของฟิล์มบางที่ต้องการ เช่น แก๊สในโตรเจน หรือแก๊สออกซิเจน



รูปที่ 2.24 ระบบการเคลือบฟิล์มบางโดยวิธี รีแอคทีฟ สปัตเตอริง[37]

การเคลือบฟิล์มของสารประกอบด้วยวิธี รีแอคทีฟ สปัตเตอริง นั้นสามารถทำได้ โดยใช้เป้าสารเคลือบที่เป็นโลหะบริสุทธิ์ (เหมือนในระบบสปัตเตอริง) และมีการป้อนรีแอคทีฟแก๊ส ที่ต้องการเข้าไปในระบบ เช่น การป้อนแก๊ส ในโตรเจน (N_2) อาจทำให้เกิดโลหะ ในไตรด์ หรือ การ ป้อนแก๊สอะเซ็ทที่ลิน (C_2H_2) หรือ มีเธน (CH_4) อาจทำให้เกิดสารประกอบของโลหะคาร์ ใบด์ เป็นต้น ปกติความดันของรีแอคทีฟแก๊สที่ใช้มีค่าค่อนข้างต่ำจน ไม่เพียงพอต่อการเกิดปฏิกริยาในสภาวะปกติ อย่างไรก็ตามคาดกันว่าอิเล็กตรอนในพลาสมาที่มีส่วนในการกระตุ้นหรือไอออ ในซ์รีแอคทีฟแก๊สให้ มีความสามารถในการทำปฏิกิริยากับโลหะได้สูงกว่าภาวะปกติมาก

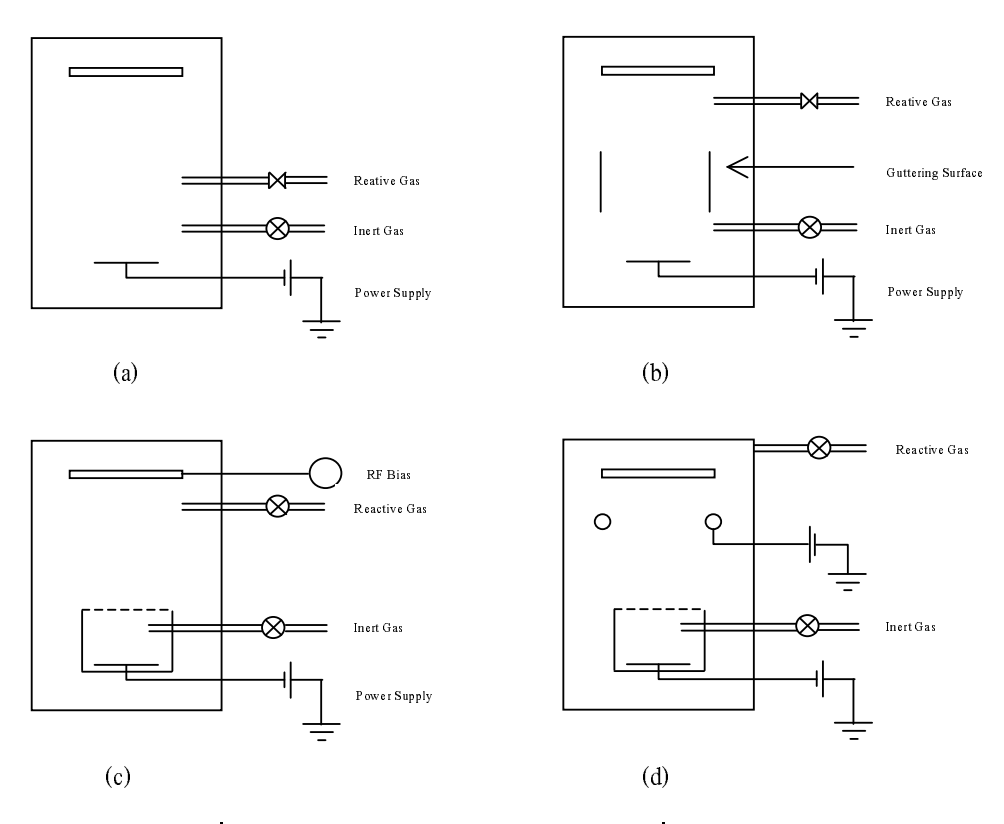
สำหรับการเกิดฟิล์มของสารประกอบเนื่องจากการทำปฏิกิริยาของรีแอคทีฟแก๊ส กับอะตอมของเป้าสารเคลือบนั้น อาจเกิดได้ใน 3 ลักษณะคือ

- 1. เกิดที่ผิวหน้าเป้าสารเคลือบ โดยรีแอคทีฟแก๊สทำปฏิกริยากับอะตอมสารเคลือบ ที่ผิวหน้าเป้าสารเคลือบเป็นสารประกอบ จากนั้นจึงถูกสปัตเตอร์ให้หลุดออกมาแล้วเคลือบลงบน แผ่นวัสดุรองรับ ปฏิกิริยานี้เกิดขึ้นสูงเมื่อความดันย่อยของรีแอคทีฟแก๊สในระบบมีค่าสูง เช่นการ เคลือบไททาเนียมในไตรด์พบว่าเมื่อป้อนแก๊สในโตรเจน (ซึ่งเป็นรีแอคทีฟแก๊ส) ที่มีเพียงพอในการ เกิดฟิล์มของไททาเนียมในไตรด์ที่ผิวหน้าของเป้าสารเคลือบ ที่เรียกว่า ทาร์เกต พอยซันนิง (target poisoning) ซึ่งมีผลทำให้อัตราเคลือบลดลง (เนื่องจากยีลด์ของไททาเนียม)
- 2. เกิดบริเวณที่ว่างระหว่างเป้าสารเคลือบกับวัสดุรองรับ วิธีนี้รี่แอคทีฟแก๊สจะมี การทำปฏิกิริยากับอะตอมสารเคลือบที่ถูกสปัตเตอร์ระหว่างทางที่วิ่งสู่แผ่นวัสดุรองรับแล้วจึงเคลือบ บนวัสดุรองรับ กระบวนการนี้ในทางทฤษฎีถือว่าเกิดน้อยมากเนื่องจากสภาวะของการทำปฏิกริยาไม่ เหมาะสมตามกฎอนุรักษ์พลังงานและโมเมนตัม แต่ก็เป็นไปได้ที่จะเกิดขึ้นในช่วงนี้
- 3. เกิดที่ผิวหน้าวัสดุรองรับ วิธีนี้รี่แอคทีฟแก๊สจะเข้าทำปฏิกิริยากับอะตอมของสาร เคลือบบนผิวแผ่นวัสดุรองรับเป็นชั้นของฟิล์มบางของสารประกอบนั้นเคลือบบนวัสดุรองรับ

เกี่ยวกับการเคลือบด้วยวิธี รีแอคทีฟ สปัตเตอริง สุพัฒน์พงษ์และคณะ [4] ได้ชื่นระเด็นสำคัญที่ต้องพิจารณา 2 ประเด็น คือ ความดันย่อยของรีแอคทีฟแก๊ส และ ความบริสุทธิ์ของ แก๊สที่ใช้ เนื่องจากในการเคลือบด้วยวิธีนี้ ความดันย่อยของรีแอคทีฟแก๊สต้องมีค่าพอเหมาะกับการ เกิดฟิล์มของสารประกอบที่ต้องการ เช่น การเคลือบสารประกอบ ferroferric oxide (Fe_3O_4) ความดัน แก๊สออกซิเจนที่ใช้ในกระบวนการจะถูกจำกัดอยู่ในช่วงความดันแคบๆ ที่เหมาะสมค่าหนึ่งเท่านั้น ถ้า ความดันย่อยของแก๊สออกซิเจนมากเกิน ไปจะเกิดสารประกอบ ferric oxide (Fe_2O_3) แต่ถ้าน้อยเกินไป จะเกิดสารประกอบ Ferrous oxide (FeO) หรือ ฟิล์มของเหล็ก (Fe) แทน นอกจากนี้แก๊สที่ใช้ใน กระบวนการจะต้องมีความบริสุทธิ์สูง เพราะถ้ามีแก๊สอื่นปนอยู่ด้วยจะทำให้ได้ฟิล์มไม่ตรงตามชนิดที่ ต้องการ

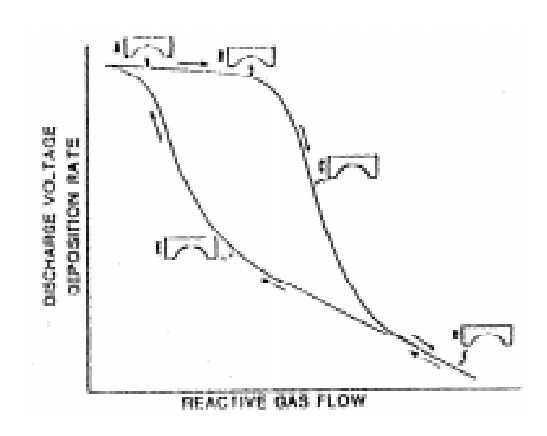
2.6.2 ปัญหาทาร์เกต พอยซันนิง ของการเคลือบด้วยวิธี รีแอคทีฟ สปัตเตอริง

ปัญหาอย่างหนึ่งที่สำคัญของการเคลือบฟิล์มของสารประกอบ ด้วยวิธี รีแอคทีฟ สปัตเตอริง คือ การเกิดสารประกอบที่ผิวหน้าของเป้าสารเคลือบที่เรียกว่า ทาร์เกต พอยซันนิง ซึ่งทำ ให้อัตราการสปัตเตอริงเป้าสารเคลือบลดลง ซึ่งบางครั้งอาจทำให้กระบวนการสปัตเตอริงหยุดลง ทั้ง นี้จากการศึกษาของสุพัฒน์พงษ์และคณะ (อาจารป่านการเคลือบแบบรีแอคทีฟ สปัตเตอริง นั้นโอกาส ที่จะเกิดฟิล์มของสารประกอบที่ผิวหน้าของเป้าสารเคลือบนั้นเป็นไปได้สูงมาก โดยเฉพาะบริเวณที่มี อัตราการสปัตเตอริงต่ำ การป้องกันปัญหานี้ทำได้หลายวิธี เช่นโดยการจัดตำแหน่งและควบคุมการ ป้อนแก๊สมิให้รีแอคทีฟแก๊สเข้าทำปฏิกิริยาแล้วเกิดเป็นสารประกอบที่ผิวหน้าเป้าสารเคลือบก็เป็นวิธี หนึ่งที่ใช้ได้ผลจากการวิจัยของกลุ่มต่างๆ เช่น การป้อนรีแอคทีฟแก๊สเป็นช่วงๆ (รูปที่ 2.25(a)) หรือ ให้ความเข้มของรีแอคทีฟแก๊สสูงบริเวณวัสดุรองรับและเจือจางที่หน้าเป้าสารเคลือบ (รูปที่ 2.25(b)) โดยแยกชุดป้อนแก๊สและใช้เครื่องสูบแบบเกตเตอริง (gettering pump) ในการกำจัดรีแอคทีฟแก๊ส บริเวณเป้าสารเคลือบและป้อนใบแอสสัญญาณอาร์เอฟเพื่อเพิ่มความไวของปฏิกิริยาในการเคลือบ (รูปที่ 2.25(c)) หรือ ใช้ตะแกรงเพื่อลดปริมาณรีแอคทีฟแก๊สที่เป้าสารเคลือบและใช้ ดีชี โกล์วดิส ชาร์จ ช่วยเพิ่มปฏิกิริยาการเคลือบใกล้วัสดุรองรับ (รูปที่ 2.25(d))

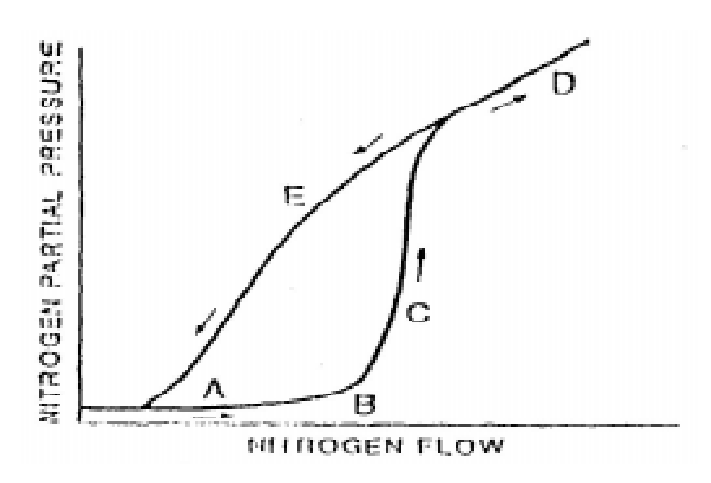


รูปที่ 2.25 เทคนิคการป้อนแก๊สไวปฏิกิริยาเพื่อลดปัญหา target poisoning ในระบบการเคลือบโดยวิธี รีแอคทีฟ สปัตเตอริง^[4]

นอกจากปัญหา ทาร์เกต พอยซันนิง แล้วในการเคลือบด้วยวิชี รีแอคทีฟ สปัตเต อริง ยังพบปัญหาความดันย่อยของของรีแอคที่ฟแก๊สซึ่งทำให้เกิดพฤติกรรมฮีสเตอรีซีส (hysteresis) ในการเคลือบด้วย ซึ่งสุพัฒน์พงษ์และคณะ [4] อธิบายปัญหานี้ว่า การเคลือบแบบ รีแอคทีฟ สปัตเต อริง ที่ความดันแก๊สอาร์กอนคงที่ พบว่าเมื่ออัตราไหลของรีแอคทีฟแก๊สเพิ่มขึ้นจะทำให้แรงดันไฟฟ้า คิสชาร์จและอัตราเคลือบลคลง จากการเกิดสารประกอบบนผิวหน้าเป้าสารเคลือบและเมื่อลดอัตรา ใหลของแก๊สลง แรงคัน ใฟฟ้าคิสชาร์จและอัตราเคลือบจะเพิ่มขึ้นแต่ความสัมพันธ์ของรปกราฟจะ เปลี่ยนไปไม่ซ้ำแนวเดิมจากผลของฮีสเตอรีซีส (รูปที่ 2.26) กราฟที่ได้เป็นรูปร่างที่เกิดขึ้นทั่วไปกับ การเคลือบแบบรีแอคทีฟ สปัตเตอริง ค่าที่แท้จริงของอัตรา ใหลของรีแอคทีฟแก๊ส ขึ้นกับค่าความดัน ย่อยของแก๊สในโตรเจนในระบบและกำลังไฟฟ้าที่ใช้ในระบบ จาก A ถึง B เป็นช่วงที่เริ่มเกิด ปฏิกิริยาระหว่างรีแอคทีฟแก๊สและเป้าสารเคลือบเป็นสารประกอบชั้นบางๆ บนผิวเป้าสารเคลือบ แต่ เนื่องจาก รีแอคทีฟแก๊สมีปริมาณน้อย และอัตราการสปัตเตอร์ยังมีค่าสูงทำให้เกิดฟิล์มของสาร ประกอบก่อตัวอย่างช้าๆ เมื่อพ้นจุด B ผ่าน C มายัง D ปริมาณแก๊สรีแอคทีฟ มีค่าสูงพอในการทำ ปฏิกิริยาจนเกิดฟิล์มสารประกอบหนาขึ้นพร้อมกับที่อัตราเคลือบที่ลดลง เนื่องจากฟิล์มสาร ประกอบสปัตเตอร์ ได้ยากกว่าโลหะบริสุทธิ์ ดังนั้นความหนาของสารประกอบบนผิวเป้าสารเคลือบ จะเกิดขึ้นอย่างรวดเร็วแม้จะเพิ่มอัตราไหลขึ้นอีกไม่มากนักที่จุด D การเกิดสารประกอบจะเป็นไป ด้วยอัตราสูงและให้สารประกอบที่ทำปฏิกิริยาโดยสมบูรณ์ ต่อมาเมื่อลดอัตราไหลของรีแอคทีฟแก๊ส ้ เริ่มแรกจะทำให้อัตราการสปัตเตอร์สูงกว่าอัตราการเกิดสารประกอบบนผิวเป้าสารเคลือบ และเมื่อคง ค่าอัตราไหลไว้ระยะหนึ่งจะทำให้อัตราการเกิดสารประกอบปรับตัวให้มีค่าเท่ากัน ขณะนี้ฟิล์มของ สารประกอบบนผิวเป้าสารเคลือบยังคงมีค่าสงทำให้อัตราการสปัตเตอร์มีค่าต่ำกว่าในช่วงเพิ่มอัตรา การใหลของแก๊ส แม้ว่าอัตราใหลของแก๊สจะมีค่าเท่ากันก็ตาม แต่ประวัติของผิวเป้าสารเคลือบไม่ เหมือนกัน ดังนั้นความสัมพันธ์จะเปลี่ยนตามแนว D ไปยัง E และกลับสู่ A ในอีกเส้นทางหนึ่ง



รูปที่ 2.26 ความสัมพันธ์ระหว่างแรงดันไฟฟ้าดิสชาร์จ และอัตราเคลือบที่ค่ากำลังไฟฟ้าและ ความดันแก๊สผสมคงที่ เมื่อเปลี่ยนแปลงอัตราการใหลของรีแอคทีฟแก๊ส



รูปที่ 2.27 ฮีสเตอรีซีสของความสัมพันธ์ระหว่างอัตราไหลของแก๊สในโตรเจน และ ค่าความคันย่อยของแก๊สในโตรเจนในระบบ จากการทำรีแอคทีฟ สปัตเตอริง ของสารประกอบในใตรค์ เมื่อค่าของกำลังไฟฟ้าและความคันรวมคงที่

จากการศึกษาของ Sproul ซึ่งได้ทดลองเคลือบฟิล์มของ Tin, Zrn และ Hfn ด้วย วิธีรีแอคทีฟ สปัตเตอริง พบว่าเมื่อเขียนกราฟความสัมพันธ์ระหว่างอัตราไหลของแก๊ส ในโตรเจนและ ความดันย่อยของแก๊สในโตรเจนที่เหลือในระบบ สภาพฮีสเตอรีซีสจะปรากฏขึ้น (รูปที่ 2.27) ที่จุด A ความคันย่อยของแก๊ส ในโตรเจนมีค่าต่ำมากเรียกว่า ความคันพื้น (background pressure) เนื่องจาก ความดันแก๊สในโตรเจนมีค่าต่ำกว่าจุดที่ทำให้เกิดปฏิกิริยาเป็นสารประกอบบนผิวเป้าสารเคลือบและ บนวัสคุรองรับ เมื่ออัตราไหลของแก๊สไนโตรเจนสูงขึ้นจากจุค A สู่จุค B จะมีการใช้แก๊สไนโตรเจน บางส่วนในการทำปฏิกิริยาแล้วเกิดสารประกอบบนวัสคุรองรับ แต่ปฏิกิริยาการเกิดสารประกอบบน ผิวเป้าสารเคลือบยังไม่เร็วพอที่จะชนะอัตราการสปัตเตอร์ของอะตอมบนเป้าสารเคลือบได้ ทำให้ อัตราการสปัตเตอร์ในรูปที่ 2.26 ยังคงมีค่าสูงอยู่เช่นเดิม เมื่ออัตราไหลของแก๊ส ในโตรเจนสูงกว่าจุด B แก๊ส ในโตรเจนที่ป้อนเข้าสู่ระบบเริ่มมีมากเกินพอกับปฏิกิริยาในขณะนั้น ทำให้มีแก๊ส ในโตรเจน ส่วนที่ไม่ได้ทำปฏิกิริยาเหลือเพิ่มมากขึ้น และความดันย่อยของแก๊สไนโตรเจนในระบบมีค่าสูงขึ้นใน ช่วง BC และ D ณ จุด D นี้เมื่อเพิ่มอัตราไหลของแก๊ส ในโตรเจนต่อไป จะพบว่าความดันย่อยของ แก๊สในโตรเจนเพิ่มขึ้นแบบเส้นตรงเพราะเป็นแก๊สส่วนเกินจากความต้องการในปฏิกิริยาที่เหลือทั้ง หมด เมื่อลดอัตราไหลของแก๊สในโตรเจนลงต่ำกว่าจุด D การทำปฏิกิริยาที่ผิวของเป้าสารเคลือบซึ่ง เป็น สารประกอบย่อมเป็นไปได้ยาก เพราะมีฟิล์มของสารประกอบกั้นอยู่รวมทั้งอัตราการสปัตเตอร์ ในช่วงนี้มีค่าต่ำ ความต้องการแก๊ส ในโตรเจนในการทำปฏิกิริยาที่เป้าสารเคลือบและที่วัสคุรองรับ ย่อมลดน้อยลง จึงเหลือแก๊สในโตรเจนอยู่มากภายในระบบ การเปลี่ยนแปลงนี้จะมาทับรอยเดิมอีก ครั้งหนึ่งเมื่ออัตราไหลของแก๊สในโตรเจนลดลงมาถึงจุด A ซึ่งในขณะนั้นสารประกอบในไตรค์บน ผิวเป้าสารเคลือบถูกทำลายหมดจากการสปัตเตอร์ อัตราการสปัตเตอร์จะมีค่าเพิ่มสูงขึ้นมาอีกครั้งหนึ่ง

2.6.3 <u>การแก้ปัญหาของการเคลือบด้วยวิชี รีแอคทีฟ สปัตเตอริง [31][32][38][39][40][41]</u>

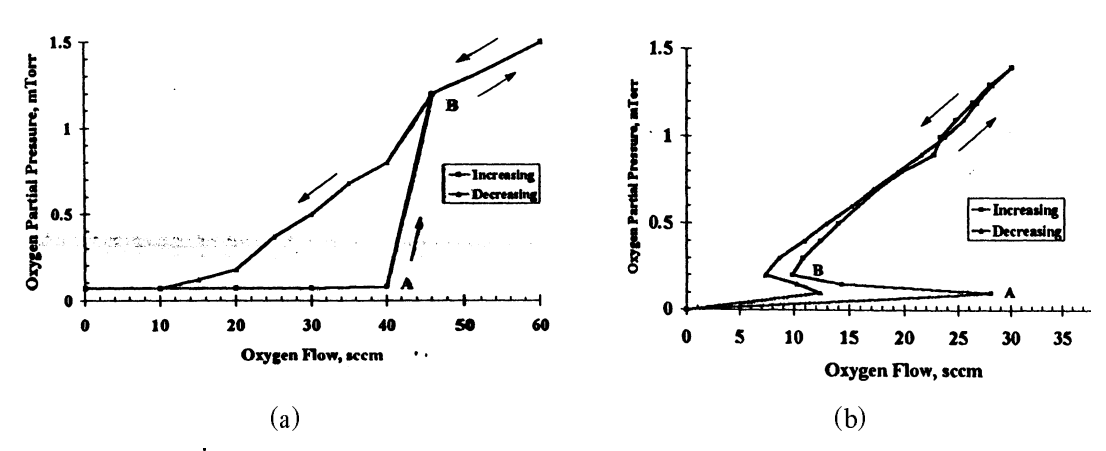
ปัญหาสำคัญของการเคลือบด้วยวิธี รีแอคทีฟ สปัตเตองริง คือ ทาร์เกต พอยซันนิง ซึ่งทำให้อัตราเคลือบลดลงและเป็นไปอย่างไม่ต่อเนื่อง ปัญหานี้ได้รับความสนใจจากคณะผู้วิจัยของ ห้องปฏิบัติการวิจัยและหน่วยงานต่างๆ โดยมีการพัฒนาเทคนิคที่สำคัญหลายเทคนิคแต่ที่ได้รับความ สนใจเป็นพิเศษมี 3 เทคนิค คือ (1) การใช้ระบบเคลือบแบบ อันบาลานซ์ แมกนีตรอน สปัตเตอริง (unbalanced magnetron sputtering) เพื่อเพิ่มความหนาแน่นของกระแสที่วัสดุรองรับซึ่งเป็นการเพิ่ม ประสิทธิภาพการเคลือบของระบบและคุณภาพฟิล์มที่ได้ (2) การควบคุมความดันย่อย (partial pressure control) ซึ่งเป็นการควบคุมความดันย่อยของรีแอคทีฟแก๊สที่ทำปฏิกิริยากับอะตอมสาร เคลือบก่อนพอกพูนเป็นชั้นของฟิล์มบาง (3) การใช้แหล่งจ่ายไฟฟ้ากระแสตรงแบบพัลส์ (pulsed direct current power) เป็นการจ่ายไฟฟ้ากระแสตรงเป็นพัลส์แก่คาโทด ทั้งนี้ในส่วนของ อันบาลานซ์ แมกนีตรอน สปัตเตอริง ได้กล่าวไปแล้ว ดังนั้นในที่นี้จะได้กล่าวถึงเฉพาะ การควบคุมความดันย่อย และ การใช้แหล่งจ่ายไฟฟ้ากระแสตรงแบบพัลส์เท่านั้น

1. การควบคุมความดันย่อย โดยพื้นฐานแล้วการเคลือบฟิล์มบางโดยวิธี รีแอคทีฟ สปัตเตอริงจะต้องป้อนรีแอคทีฟแก๊สเข้าสู่ระบบเพื่อทำปฏิกิริยากับอะตอมของสารเคลือบที่หลุดจาก กระบวนการสปัตเตอริงแล้วเกิดเป็นฟิล์มบางของสารประกอบเคลือบลงบนวัสดุรองรับ โดยทั่วไป ปริมาณรีแอคทีฟแก๊สที่ป้อนเข้าสู่ภาชนะสุญญากาสจะถูกควบคุมด้วยชุดควบคุมการไหลของแก๊ส (mass flow control) อย่างไรก็ดีการควบคุมปริมาณแก๊สวิธีนี้ทำให้เกิดปัญหาในการเคลือบบาง ประการ

พิจารณา รูปที่ 2.28(a) ซึ่งเป็นฮีสเตอรีซีสของการเคลือบสารประกอบไททาเนียมโดยใช้แก๊สอาร์กอนและแก๊สออกซิเจนในการเคลือบ ให้กำลังไฟฟ้าที่เป้าสารเคลือบคงที่เท่ากับ 8 kW และความคันรวมเท่ากับ 1.1 Pa จากนั้นเริ่มค้นการเคลือบโดยเพิ่มอัตราไหลของรีแอคทีฟแก๊ส พบว่าในช่วงแรกความคันย่อยของรีแอคทีฟแก๊สจะเพิ่มขึ้นเพียงเล็กน้อย เนื่องจากรีแอคทีฟแก๊สที่ป้อนเข้าสู่ ระบบถูกใช้ในการทำปฏิกิริยากับอะตอมของสารเคลือบเป็นฟิล์มบางของสารประกอบที่ต้องการ เคลือบบนวัสดุรองรับตลอดเวลา อย่างไรก็ดีขณะที่กระบวนการเคลือบคำเนินไปนั้น นอกจากจะเกิดฟิล์มบางเคลือบบนวัสดุรองรับที่ต้องการแล้ว ขณะเคลือบยังมีฟิล์มไปเกิดที่ผิวหน้าเป้าสารเคลือบด้วย ซึ่งกระบวนการนี้จะเป็นไปจนกระทั่งปริมาณของรีแอคทีฟแก๊สในระบบมีมาก จนเกิดฟิล์มบางของ สารประกอบคลุมที่ผิวหน้าของเป้าสารเคลือบทำให้อัตราการสปัตเตอร์ลดลง เมื่ออัตราการสปัตเตอร์ลดลงจะทำให้การใช้รีแอคทีฟแก๊สในกระบวนการลดลงด้วย ทำให้ความคันย่อยของรีแอคทีฟแก๊ส เพิ่มขึ้นอย่างรวดเร็ว (ความคันย่อยจะเปลี่ยนจากจุด A ไปเป็นจุด B ในรูปที่ 2.28(a)) การควบคุม ปริมาณรีแอคทีฟแก๊สด้วยชุดควบคุมการไหลพบว่าการทำให้เกิดการสปัตเตอร์ระหว่างจุด A กับ จุด B ก็ยังคงเป็นเรื่องยาก

ถ้าหากหน้าเป้าสารเคลือบเกิดพอยซันนิงโดยสมบรณ์แล้วปริมาณรีแอคทีฟแก๊สใน ภาชนะสุญญากาศจะเพิ่มถึงจุด B (รูปที่ 2.28(a)) ถ้ายังมีการเพิ่มอัตราการใหลของรีแอคทีฟแก๊สต่อไป พบว่าความคันย่อยของรีแอคทีฟแก๊สจะเพิ่มอย่างเป็นเส้นตรง แต่เมื่อลคอัตราไหลของรีแอคทีฟแก๊ส ลงพบว่าความดันย่อยของรีแอคที่ฟแก๊สจะไม่ลดลงตามแนวเส้นกราฟเดิมที่เพิ่มขึ้นในตอนแรกทำให้ เกิดเป็นฮีสเตอรีซีสขึ้น

สำหรับการควบคุมปริมาณรีแอคทีฟแก๊สในระบบสปัตเตอริงเพื่อทำให้ได้ฟิล์มบาง ของสารประกอบที่ต้องการและเพื่อแก้ปัญหาผลของฮีสเตอรีซีส (hysteresis effect) นั้นสามารถทำได้ หลายวิธี เช่น การควบคุมการใหลของแก๊สแบบควบคุมย้อนกลับ (feedback control) และ การควบคุม ความคันย่อย (partial pressure control) หรืออาจทำโดยการเพิ่มความเร็วในการสบอากาศออกจาก ภาชนะสุญญากาส แต่มีข้อเสียคือค่าใช้จ่ายสูง อย่างไรก็ดีการแก้ปัญหานี้สามารถทำได้โดยใช้เทคนิค การควบคุมความคันย่อยโดยใช้อุปกรณ์ตรวจวัด เช่น แมสสเปคโตรมิเตอร์ (mass spectrometer) หรือ เครื่องวิเคราะห์แก๊สตกค้าง (residual gas analyzer : RGA) ซึ่งสามารถให้สัญญาณป้อนกลับสำหรับ ความคันย่อยของรีแอคทีฟแก๊สได้อย่างรวดเร็ว ทำให้สามารถควบคมความคันย่อยของรีแอคทีฟแก๊ส ได้ทุกค่าตามต้องการ ในรูปที่ 2.28(b) จะพบว่าที่จุด B เป้าสารเคลือบจะเกิดพอยซันนิงอย่างสมบูรณ์ ทำให้การสปัตเตอร์ช้าลง และเมื่อความคันย่อยของรีแอคทีฟแก๊สลคลงจนถึงจด A พบว่าอัตราเคลือบ กลับเพิ่มขึ้น การควบคมความคันย่อยของรีแอคทีฟแก๊สของระบบมีข้อคีคือทำให้สามารถสปัตเตอร์ ้เป้าสารเคลือบที่เป็นสารประกอบได้ในอัตราเดียวกับเป้าสารเคลือบที่เป็นสารบริสุทธิ์ และทำให้ได้ ฟิล์มบางของสารประกอบที่มีอัตราส่วนของสารประกอบเท่ากันทุกครั้ง



รูปที่ 2.28 กราฟฮีสเตอรีซีสของการเคลือบสารประกอบของไททาเนียม[38]

- (a) ขณะ ไม่มีการควบคมความคันย่อยของรีแอคที่ฟแก๊ส
- (b) ขณะที่มีการควบคุมความดันย่อยของรีแอคทีฟแก๊ส

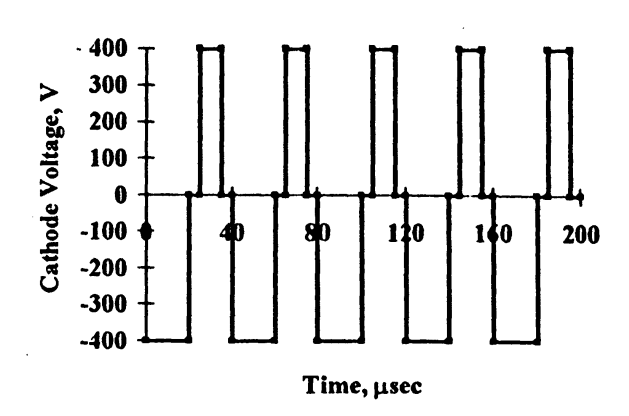
2. แหล่งจ่าย ไฟฟ้ากระแสตรงแบบพัลส์ จนถึงปัจจุบันการเคลือบฟิล์มบางของ ออกไซด์โดยวิชี รีแอคทีฟ สปัตเตอริง นั้นยังเป็นเรื่องที่ทำได้ยากมากเนื่องจากแก๊สออกซิเจน (ซึ่งใช้ เป็นรีแอคทีฟแก๊ส) สามารถทำปฏิกิริยากับเป้าสารเคลือบแล้วเกิดพอยซันนิงที่ผิวหน้าของเป้าสาร เคลือบได้ง่ายกว่าแก๊ส ในโตรเจนมาก การเกิดพอยซันนิงที่ผิวหน้าของเป้าสารเคลือบได้ง่ายมากทำให้ การเคลือบเป็นไปอย่างไม่ต่อเนื่อง นอกจากนี้ยังทำให้เกิดการอาร์คขึ้นที่ผิวหน้าเป้าสารเคลือบ ซึ่งอาจทำให้ฟิล์มบางที่ได้ไม่บริสุทธิ์ตามที่ต้องการ

หากพิจารณารายละเอียดของพอยซันนิงหรือฟิล์มบางที่เกิดขึ้นนี้จะพบว่า ฟิล์มบางที่เกิดขึ้นที่ผิวหน้าของเป้าสารเคลือบนี้จะทำให้คาโทดมีลักษณะคล้ายกับเป็นตัวเก็บประจุ กล่าวคือ พลาสมาและคาโทดจะทำตัวเป็นขั้วไฟฟ้าหรือตัวนำ โดยมีฟิล์มบางทำตัวเป็นสารไดอิเล็กตริก (ซึ่ง เป็นฉนวนทางไฟฟ้า) ทำให้เมื่อผิวนอกของฟิล์มบางที่ผิวหน้าสารเคลือบมีประจุมากขึ้นก็จะเกิดการ อาร์คขึ้น นอกจากนี้พอยซันนิงที่เกิดนี้ยังเป็นฟิล์มบางของสารประกอบซึ่งจะสปัตเตอร์ได้ยากกว่า สารบริสุทธิ์ด้วย จากเหตุผลข้างต้นทำให้อัตราการสปัตเตอร์ลดลงประกอบกับการอาร์คของฟิล์มบาง หน้าผิวเป้าสารเคลือบจะทำให้การสปัตเตอร์เกิดเป็นช่วงๆ ซึ่งเป็นปัญหาของระบบนี้นั่นเอง

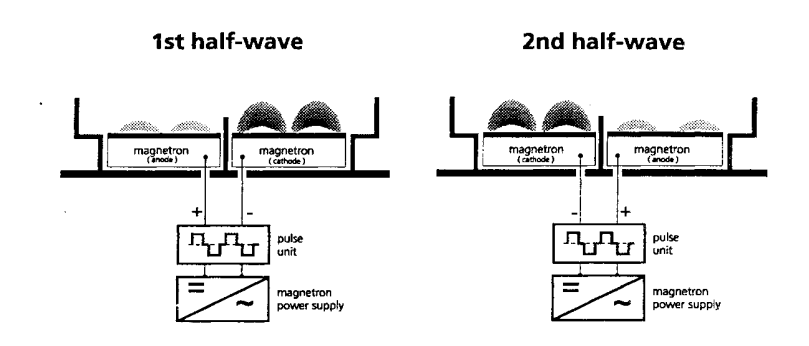
ปัญหานี้สามารถแก้ไขได้โดยการใช้แหล่งจ่ายไฟฟ้าแบบอาร์ เอฟ (rf) สำหรับการ ทำ รีแอคทีฟ สปัตเตอริงของออกไซด์ อย่างไรก็ดีแม้จะแก้ปัญหาเกี่ยวกับการอาร์คที่เป้าสารเคลือบได้ แต่ก็ยังคงมีปัญหาของวิธีการนี้เอง เช่น กำลังจากแหล่งจ่ายไฟฟ้าจะถูกใช้ในการ สปัตเตอร์เพียงครึ่ง หนึ่งเท่านั้น นอกจากนี้อัตราการเคลือบโดยวิธี อาร์ เอฟ รีแอคทีฟ สปัตเตอริง ยังต่ำกว่าอัตราการ เคลือบสารบริสุทธิ์

ปัจจุบันแนวคิดในการแก้ปัญหาเกี่ยวกับพอยซันนิงนี้ พบว่ามีการพิจารณาที่แหล่ง จ่ายไฟฟ้าที่ป้อนให้กับระบบเคลือบ และมีการนำแหล่งจ่ายไฟฟ้ากระแสตรงแบบพัลส์ (pulsed direct current power) มาใช้ แนวคิดเกี่ยวกับแหล่งจ่ายไฟฟ้านี้ คือ การทำให้แรงดันไฟฟ้าที่ป้อนให้กับระบบ มีการสลับขั้วบ้างในบางขณะ แหล่งจ่ายไฟฟ้าแบบนี้สามารถแบ่งเป็น 2 แบบ ตามความสูงของความ ต่างศักย์ด้านบวกและด้านลบ คือ

2.1 แบบสมมาตร (symmetric) หากพิจารณาแรงคัน ไฟฟ้าของแหล่งจ่ายไฟฟ้า ถักษณะ นี้จะพบว่ามีความสูงของพัลส์เท่ากันทั้งค้านบวกและค้านลบ แต่ความกว้างของพัลส์ทั้งสอง ค้านจะเป็นอิสระจากกัน (รูปที่ 2.29) ปกติแหล่งจ่ายไฟฟ้ากระแสตรงแบบพัลส์สมมาตรนั้นจะใช้ สำหรับระบบ รีแอคทีฟ สปัตเตอริง ที่มีเป้าสารเคลือบ 2 อัน (คาโทค 2 อัน) วางข้างกัน โดยเป้าสาร เคลือบทั้งคู่จะต่อเข้ากับแหล่งจ่ายไฟฟ้ากระแสตรงแบบพัลส์ เมื่อระบบทำงานเป้าสารเคลือบทั้งคู่จะมี การสลับขั้วกันตลอดการทำงาน กล่าวคือ เป้าสารเคลือบทั้งคู่จะผลัดกับทำตัวเป็นคาโทค (ขณะที่อัน หนึ่งเป็นคาโทค อีกอันหนึ่งจะเป็นอาโนค)



รูปที่ 2.29 ลักษณะแรงดันไฟฟ้าของแหล่งจ่ายไฟฟ้ากระแสตรงแบบพัลส์สมมาตร [38]

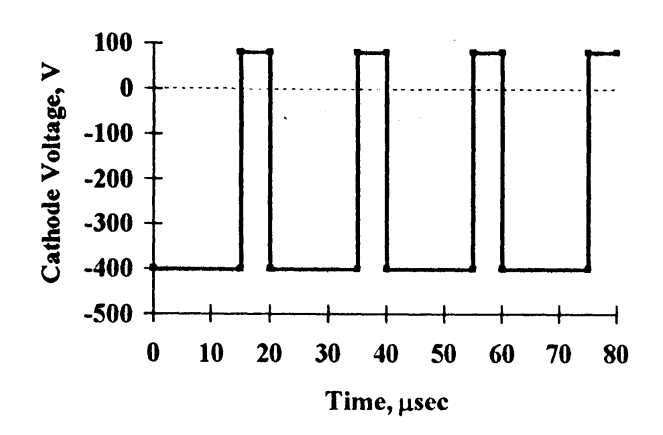


รูปที่ 2.30 ลักษณะการทำงานของระบบเคลือบแบบ 2 คาโทด เมื่อต่อกับแหล่งจ่ายไฟฟ้ากระแสตรงแบบพัลส์สมมาตร^[39]

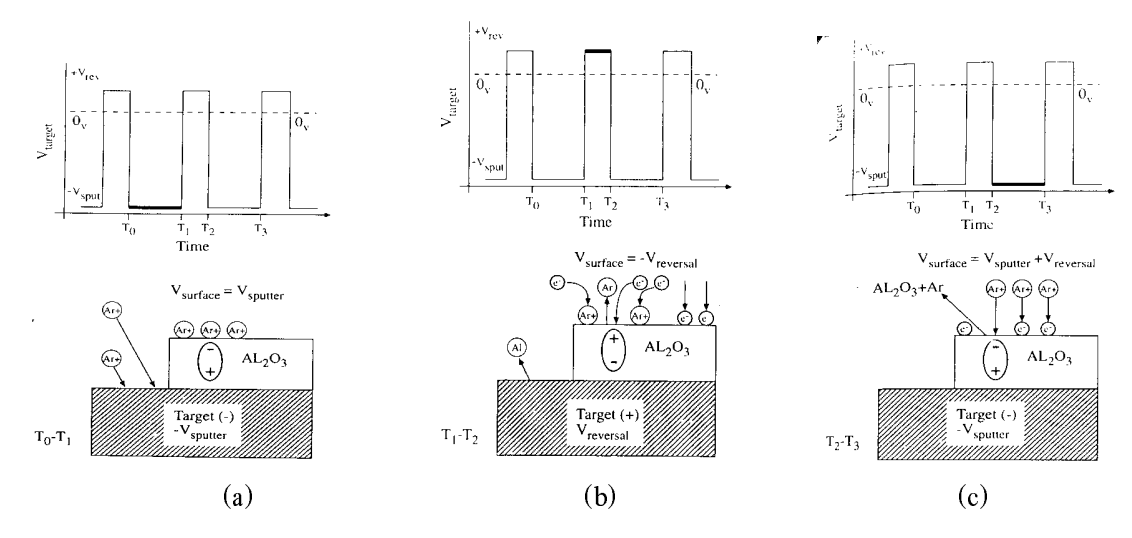
พิจารณาในรูปที่ 2.30 จะเห็นว่าขณะครึ่งรอบแรกเป้าสารเคลือบด้านขวาทำตัว เป็นคาโทค (มีสักย์เป็นลบ) ซึ่งจะทำให้มีการสปัตเตอร์แล้วได้อะตอมสารเคลือบตามปกติ ขณะเดียว กันเป้าสารเคลือบค้านซ้ายทำตัวเป็นอาโนค (มีศักย์เป็นบวก) ทำให้ไม่มีการสปัตเตอร์ที่เป้าสารเคลือบ ้นี้แต่จะมีอิเล็กตรอนวิ่งมาชนผิวเป้าสารเคลือบซึ่งเท่ากับเป็นการทำความสะอาคผิวเป้าสารเคลือบนั่น เอง ซึ่งจะเป็นการช่วยลดการเกิดพอยซันนิงที่ผิวหน้าของเป้าสารเคลือบ

2.2 แบบอสมมาตร (asymmetric) แรงคันไฟฟ้าของแหล่งจ่ายไฟฟ้าลักษณะนี้ จะพบว่าความสูงของพักส์ทางด้านบวกและด้านลบจะไม่เท่ากัน ปกติแล้วพักส์ด้านลบจะสูงกว่าพักส์ ด้านบวก ปกติแล้วพัลส์ด้านลบจะกว้างกว่าพัลส์ด้านบวกซึ่งเป็นสัดส่วนกัน (รูปที่ 2.31) ปกติแหล่ง จ่ายไฟฟ้ากระแสตรงแบบพัลส์อสมมาตรนั้นจะใช้สำหรับระบบ รีแอคทีฟ สปัตเตอริง ที่มีเป้าสาร เคลือบเคี่ยว แต่การทำงานของระบบเคลือบจะมีลักษณะที่เป็นการทำงานแบบช่วงๆ (จะทำงานเฉพาะ ขณะที่ระบบได้รับพัลส์ลบ)

พิจารณาในรูปที่ 2.32 ซึ่งแสดงแนวคิดเกี่ยวกับการใช้แหล่งจ่ายไฟฟ้าลักษณะนี้ จะเห็นว่าที่ผิวหน้าของเป้าสารเคลือบมีการเกิดพอยซันนิงแล้ว (เป็นฟิล์มบางของ Al₂O₃) พบว่าขณะที่ อยู่ในภาวะปกติกล่าวคือระบบได้รับแรงดันไฟฟ้าด้านลบ (รูปที่ 2.32 (a)) จะเกิดการสปัตเตอร์ปกติ กล่าวคืออาร์กอนบวกยังคงวิ่งเข้าชนเป้าสารเคลือบในขณะที่อาร์กอนบวกที่มีพลังงานค่ำจะวิ่งเข้าจับ ที่ผิวหน้าของพอยซันนิง ซึ่งจะทำให้พอยซันนิงแสดงสภาพขั้วไฟฟ้าเกิดขึ้น ต่อมาเมื่อมีการสลับขั้ว เป็นบวก (รูปที่ 2.32 (b)) ทำให้ผิวหน้าเป้าสารเคลือบมีสักย์เป็นบวกทำให้ไม่มีอาร์กอนบวกวิ่งชนแต่ จะมีอิเล็กตรอนวิ่งเข้ามาจับกับอาร์กอนที่อยู่บริเวณผิวหน้าของพอยซันนิงแล้วหลุดออกไป นอกจากนี้ ยังมีอิเล็กตรอนบางส่วนวิ่งชนเป้าสารเคลือบซึ่งเท่ากับเป็นการทำความสะอาดผิวเป้าสารเคลือบนั่น เอง และต่อมาเมื่อมีการสลับขั้วอีกครั้ง (รูปที่ 2.32 (c)) ซึ่งนอกจากจะเกิดการ สปัตเตอร์ปกติแล้วยัง อาจมีการสปัตเตอร์เอาพอยซันนิง (poisoning) ที่ผิวเป้าสารเคลือบออกด้วย เนื่องจากขณะนี้สักย์ไฟฟ้า ระหว่างผิวเป้าสารเคลือบกับพลาสมาจะสูงกว่าปกติเล็กน้อย (ตามรูปที่ 2.32 (c) มีค่าประมาณ 500 V)



รูปที่ 2.31 ลักษณะแรงดันไฟฟ้าของแหล่งจ่ายไฟฟ้ากระแสตรงแบบพัลส์อสมมาตร ^[38]



รูปที่ 2.32 ลักษณะการทำงานของระบบเมื่อต่อกับแหล่งจ่ายไฟฟ้ากระแสตรงแบบพัลส์อสมมาตร^[39]

2.7 <u>สมบัติ โครงสร้าง และการใช้งานของไททาเนียมในไตรด์ เมเส</u>

ใททาเนียมในใตรด์เป็นสารประกอบเซรามิกส์ ซึ่งมีสมบัติเด่นที่น่าสนใจหลายประการ เช่น มีความเสถียรสูง ทนต่อการกัดกร่อนได้ดีกว่าเหลีกกล้าไร้สนิมและซูเปอร์อัลลอย แต่จะเกิดการ กัดกร่อนได้ด้วยสารละลายกรดแก่ HF+HNO3 หรือสารละลายด่างแก่ KOH ที่อุณหภูมิสูง แต่ค่อนข้าง เฉื่อยต่อปฏิกิริยาในสภาวะอื่น นอกจากนี้เมื่ออยู่ในสภาพฟิล์มบางจะมีความแข็งสูงถึง 2800 kg/m² ถ้า เคลือบบนแม่พิมพ์โลหะและลูกรีดโลหะจะทำให้มีอายุการใช้งานสูงขึ้น ที่สำคัญไททาเนียมในไตรด์ ยังสามารถทนต่ออุณหภูมิสูงและมีสัมประสิทธิ์ความเสียดทานต่ำจึงเหมาะสำหรับใช้เคลือบบน อุปกรณ์ตัดเจาะ เช่น ดอกสว่าน มีดกลึง ซึ่งช่วยลดอัตราการสึกได้ดี นอกจากนี้ยังมีการนำไททาเนียมในไตรด์ไปใช้เคลือบเป็นขั้วต่อตัวนำกับสารกึ่งตัวนำก่อนถึงชั้นอะลูมิเนียมเพราะนำไฟฟ้าได้และ เป็นแนวกั้นมิให้อะลูมิเนียมแพร่ผสมกับสารกึ่งตัวนำเมื่ออุณหภูมิใช้งานสูงซึ่งเป็นสาเหตุหนึ่งที่ทำให้ สารกึ่งตัวนำเสื่อมสภาพ และที่สำคัญไททาเนียมในไตรด์มีสีทองที่สวยงามคือจึงเหมาะอย่างยิ่งที่จะ นำมาเคลือบเครื่องประดับ เช่น แหวน คุ้มหู เข็มกลัด กำไล ตัวเรือนนาพิกา กรอบแว่นตา ฯลฯ ซึ่งจะ ทำให้เครื่องประดับเหล่านี้มีความสวยงามที่คงทน

2.7.1 <u>สีและโครงสร้างสารประกอบของใหหาเนียมในใตรค</u>์

Clarke $(1977)^{[42]}$ ได้เคลือบฟิล์มไททาเนียมในไตรค์ด้วยวิธี รีแอคทีฟ สปัตเตอริง ที่แรงคันไฟฟ้าคิสชาร์จ 1000 V และความหนาแน่นกำลังไฟฟ้า 100 W/cm² โดยเปลี่ยนอัตราส่วน ผสมแก๊ส ในโตรเจนและแก๊สอาร์กอนที่ค่าต่างๆ พบว่าการเคลือบให้สีต่างกันตามอัตราส่วนผสม จาก การวิเคราะห์ โครงสร้างด้วย x-ray diffraction และ scanning electron microscope สรุปได้ว่าที่ความ คันย่อยแก๊ส ในโตรเจนมีค่าต่ำ สีของฟิล์ม จะออกสีเงินของไททาเนียม เมื่อความคันย่อยแก๊ส ในโตรเจนสูงขึ้นจะปรากฏสีเหลืองอ่อน และสารประกอบที่วิเคราะห์คือ TiN เมื่อเพิ่มความคันย่อย ในโตรเจนให้สูงขึ้นอีกสีจะเปลี่ยนเป็นสีทองและเข้มขึ้นจนเป็นสีแดงเข้ม สารประกอบคือ TiN เมื่อ x>1 แต่ไม่ได้ระบุว่า x มีค่าเท่าใดเมื่อเกิดสีทองและเปลี่ยนเป็นสีแดงเข้ม (deep rose color)

Wittmer (1985) ^[43] อธิบายความสัมพันธ์ของปริมาณในโตรเจนกับโครงสร้างผลึกของใหทาเนียมในโตรด์ ดังนี้ใหทาเนียมบริสุทธิ์มีโครงสร้างแบบ hexagonal เมื่อความดันย่อยแก๊ส ในโตรเจนสูงขึ้นอะตอมของในโตรเจนจะแทรกตัวในโครงสร้างผลึกของใหทาเนียมทำให้โครงสร้างผลึกเปลี่ยนจาก hexagonal ใปเป็น tetragonal เมื่ออัตราส่วนของ Ti:N = 2:1 เนื่องจากการแทรกตัวของในโตรเจนมีเพียงครึ่งหนึ่งของช่องว่างทำให้โครงสร้างผลึกเปลี่ยนรูปเล็กน้อย ฟิล์มมีสีเหลืองอ่อน เมื่อปริมาณในโตรเจนเพิ่มมากขึ้นจะเกิดสารประกอบ 2 ชนิดคือ Ti₂N และ TiN ซึ่งมีโครงสร้างแบบ tetragonal และ face-centered cubic ตามลำดับ โดยฟิล์มจะมีสีทองมากขึ้น ฟิล์มจะมีสีทองปลั่ง เมื่อมีสารประกอบ TiN เพียงเฟสเดียว นั้นคือในโตรเจนแพรกตัวเต็มช่องว่างทั้งหมดเป็น

stoichiometry และถ้าเพิ่มปริมาณ ในโตรเจนมากกว่านี้สีของฟิล์มจะเปลี่ยนเป็นสีน้ำตาล น้ำตาล บรอนซ์ ทองแดง จนกระทั่งเป็นสีแดงเมื่อมีในโตรเจนมากเกินไป

Duh และ Doong (1993)^[44] พบว่า อัตราส่วนของแก๊สอาร์กอนต่อแก๊ส ในโตรเจนมี อิทธิพลอย่างเด่นชัดต่อเฟสและโครงสร้างของ Tin โดยที่อัตราการเคลือบจะเพิ่มขึ้นเมื่อปริมาณ ในโตรเจนลดลง ผลของ XRD แสดงให้เห็นว่า Tin เกิดเมื่ออัตราส่วนของแก๊สอาร์กอนต่อในโตรเจน อยู่ในช่วง 90/10 ถึง 70/30 และที่อัตราส่วน 95/5และ 60/40 ไม่พบเฟส Tin

Logothetidis, Alexandrou และ Kokkou (1996)^[45] ได้ศึกษาถึงผลของศักย์ใบแอส และอัตราไหลของแก๊ส ในโตรเจนต่อการเกิดฟิล์ม ไททาเนียมในไตรด์ พบว่าศักย์ใบแอสมีผลต่อการ หกุดของในโตรเจนจากผิวของฟิล์ม และที่ศักย์ใบแอสมากกว่า 120 V อะตอมของไททาเนียมจะถูกส ปัตเตอร์ออกจากฟิล์ม ทั้งนี้จากผลของ XRD แสดงให้เห็นว่าที่อัตราไหลของแก๊ส ในโตรเจนเท่ากับ 2.2 secm ฟิล์มจะมีโครงสร้างเป็น TiNx(111) และพบ TiNx(200) ที่ 20=36.2° และ 42.5° ตามลำดับ เมื่ออัตราไหลของแก๊ส ในโตรเจนเท่ากับ 1.7 secm พบโครงสร้างเป็น Ti2N(101) และพบ Ti2N(111) ที่ 20=34.8° และ 39.5° ตามลำดับ การเปลี่ยนเฟสเป็น fee เฟส TiNx จะเกิดขึ้นเมื่ออัตราไหลของแก๊ส ในโตรเจนมีค่าเท่ากับ 1.9 secm

Valvoda (1996)^[46] ศึกษาความสัมพันธ์ระหว่างโครงสร้างกับสภาวะการเคลือบ ของฟิล์มไททาเนียมในไตรค์ด้วยวิธี รีแอคทีฟ แมกนีตรอน สปัตเตอริง พบว่าปริมาณของในโตรเจน ที่เพิ่มขึ้นทำให้ฟิล์มมีการเปลี่ยนโครงสร้างจาก he xagonal α-Ti มาเป็น cubic δ-phase ของไททาเนียม ในไตรค์และในบางกรณีอาจพบโครงสร้าง tetragonal ε-Ti2N เกิดขึ้นด้วยซึ่งความแข็งของฟิล์มจะมี ค่าสูงสุดเมื่อฟิล์มเคลือบมีเฉพาะโครงสร้าง cubic δ-phase ของไททาเนียมในไตรค์เท่านั้น

Combadiere และ Machet (1996) [47] ได้ศึกษาถึงอิทธิพลของอุณหภูมิของวัสดุรอง รับต่อ โครงสร้างองค์ประกอบทางเคมีและลักษณะพื้นผิว (morphology) ของฟิล์ม โดยการเคลือบแบบ แมกนีตรอน สปัตเตอริง พบว่าที่ความดันย่อยแก๊ส ในโตรเจนคงที่ โครงสร้างของฟิล์มจะแปรตาม อุณหภูมิ การเพิ่มความดันย่อยแก๊ส ในโตรเจนฟิล์มมีแนวโน้มที่จะ โตขึ้นในระนาบที่มีอะตอมหนา แน่นที่สุดซึ่งเป็นระนาบที่ขนานกับผิวของแผ่นรองรับ เช่น (311), (111) และ (200) ที่อุณหูมิสูงกว่า 300 °C ฟิล์มมี โครงสร้าง stoichiometric TiN ในทางตรงกันข้าม เมื่ออุณหภูมิต่ำกว่า 300 °C อัตรา ส่วน N/Ti จะมากกว่า ในโตรเจนเกิดหลุดออก (desorption) จากฟิล์ม

Valkonen และ Ribbing (1986) [188] ทคลองเคลือบฟิล์มบางของไททาเนียมในไตรค์ ค้วยวิชี คีซี และอาร์ เอฟ แมกนีตรอน สปัตเตอริง ที่ความหนาต่างๆ ในช่วงระหว่าง 30 ถึง 310 °A ฟิล์มในช่วงความหนานี้ปรากฏสีน้ำเงินเทา ทั้งกรณีมองจากรังสีสะท้อนและรังสีส่งผ่าน เมื่อพิจารณา สมบัติทางแสง โดยวัดค่าการสะท้อนแสงและค่าการส่งผ่านแสงในช่วงความยาวคลื่นต่างๆ ในช่วง กว้าง พบว่าฟิล์มของไททาเนียมในไตรค์ มีสมบัติยอมให้แสงช่วงที่ตามองเห็นส่งผ่าน และสะท้อน รังสีอินฟราเรคคล้ายกับฟิล์มของทองแต่มีคุณภาพด้อยกว่า เนื่องจากมีปริมาณดูดกลืนรังสีสูงกว่าทอง

2.7.2 ความต้านทานและโครงสร้างของไททาเนียมในไตรค์

Wittmer (1985) [49] สึกษาสมบัติความด้านทานไฟฟ้าของฟิล์มไททาเนียมในไตรด์ ที่เคลือบด้วยวิธี ต่างกัน 2 วิธี คือ การเคลือบด้วยวิธี ARE กับ วิธีสปัตเตอริง พบว่า ค่าความด้านทาน จำเพาะจากฟิล์มที่ได้จากการเคลือบด้วยวิธี ARE จะเริ่มจาก 70 $\mu\Omega$ -cm เมื่อเป็นไททาเนียมบริสุทธิ์ และเพิ่มขึ้นสูงสุดที่ 250 $\mu\Omega$ -cm เมื่อความดันแก๊สไนโตรเจนมีค่า 2 x 10 torr ใกล้จุดการเปลี่ยน แปลงโครงสร้างจาก hexagonal α -Ti สู่ face-centered cubic TiN หรือในช่วงเกิดสารประกอบ Ti,N นั่นเอง การเพิ่มความดันแก๊สไนโตรเจนสูงขึ้น ทำให้ความด้านทานจำเพาะลดลงจนถึงค่าต่ำสุด 200 $\mu\Omega$ -cm ที่จุดที่เกิดสารประกอบ TiN การเพิ่มความดันแก๊สในโตรเจนต่อไป ความด้านทานจำเพาะจะ มีค่าสูงขึ้น ส่วนการเคลือบด้วยวิธีสปัตเตอริงค่าสูงสุดของความด้านทานจำเพาะที่สารประกอบเป็น Ti-N และค่าต่ำสุดที่สารประกอบเป็น TiN ที่ อัตราส่วนผสมแก๊สในโตรเจนมีค่า 22 % จะเห็นได้ว่า นอกจากสีของจะช่วยบอกองค์ประกอบของสารประกอบไททาเนียมในไตรด์แล้ว ยังอาจใช้ค่าความ ด้านทานจำเพาะที่วัดได้เป็นตัวบอกองค์ประกอบของสารประกอบไททาเนียมในไตรด์แล้ว

ทั้งนี้จากสมบัติการเป็นตัวนำไฟฟ้าที่ดีของไททาเนียมในไตรด์ การมีอุณหภูมิ หลอมตัวสูง (2950 °C) มีความเสถียรสูง และเป็นกำแพงกันการแพร่ของอะตอม โลหะชนิดต่างๆ ได้ดี จึงนิยมใช้ไททาเนียมในไตรด์เป็นตัวนำของรอยต่อในวงจรอิเล็กทรอนิกส์ด้วย เช่น การเคลือบชั้น ของไททาเนียมในไตรด์กั่นระหว่างสารกึ่งตัวนำและขั้วต่ออลูมิเนียมจะช่วยป้องกันการแพร่ของ อะตอมอลูมิเนียมผ่านเข้าสู่สารกึ่งตัวนำได้ดี ทำให้อายุการใช้งานของสารกึ่งตัวนำสูงขึ้นวิธีการเช่นนี้ มีความจำเป็นมากในสารกึ่งตัวนำที่มีความหมายของแต่ละชั้นน้อยมาก เช่น รอยต่อของ Metal-oxide-Semiconductor (MOS) เป็นต้น

2.7.3 ความแข็งและทนต่อการสึกหรอของไททาเนียมในไตรด์

Hintermann (1984)^[50] เคลือบไททาเนียมในไตรค์ ด้วยวิชีโอออนเพลทติง บนดอก สว่านซึ่งทำจากเหล็กความเร็วสูง (high speed steel) ขนาดเส้นผ่าสูนย์กลาง 8 mm และทดลองเจาะชิ้น งานที่มีความแข็ง 100 N/mm² ด้วยอัตราการเจาะและความเร็วการเจาะต่างๆ กัน เปรียบเทียบกับดอก สว่านที่ไม่ได้เคลือบ และดอกสว่านที่ถูกขัดมันผิวหลังการเคลือบ พบว่าภายหลังการเคลือบไททา เนียมในไตรค์ ผิวแข็งขึ้น ความสามารถทนอุณหภูมิสูงขึ้น และสัมประสิทธิ์ความเสียดทานที่ลดลง ของไททาเนียมในไตรค์ช่วยให้ดอกสว่านสามารถทำงานด้วยอัตราการเจาะที่สูงขึ้นและได้ระยะทาง การเจาะมากขึ้น

Wittmer (1985)^[51] ได้วัดค่าความแข็งของไททาเนียม ใน ไตรค์เมื่อเคลือบด้วยวิชี ARE ที่ค่าความคันแก๊สในโตรเจนค่าต่างๆ พบว่าฟิล์มที่ได้ความแข็งมีค่าสูงสุดเมื่อความคันแก๊ส ในโตรเจนมีค่า 2x10⁻⁴ torr ขณะที่ฟิล์มเคลือบมีสารประกอบผสมระหว่าง Ti₂N และ TiN ซึ่งอยู่ใน ตำแหน่งใกล้เคียงกับค่าสูงสุดของความด้านทานจำเพาะมาก Lee และ Bayer (1985)^[52] ได้เปรียบเทียบความทนทานต่อการสึกหรอของฟิล์ม เคลือบไททาเนียมในใตรค์จากการเคลือบ 4 วิชีคือ

- 1. วิธี อาร์ เอฟ ไดโอด รีแอคทีฟ สปัตเตอริง ที่ความดันแก๊สผสม Kr และ N $_2$ เท่า กับ 30 m torr แรงดันไฟฟ้าดิสชาร์จ 2000 \vee อุณหภูมิชิ้นงาน 500 $^{\circ}$ C อัตราการเคลือบ 80 $^{\circ}$ A/min
- 2. วิธี ดีซี แมกนิตรอน รีแอคตีฟ สปัตเตอริง ที่ความคันแก๊สผสมของ Ar และ N_2 เท่ากับ 2.3 m torr ด้วยอัตราส่วนผสมแก๊ส $Ar:N_2$ เท่ากับ 4.5 ความเข้มสนามแม่เหล็ก 1200 G และ อุณหภูมิชิ้นงาน 190 °C ด้วยอัตราการเคลือบ 350 °A/min
 - 3. วิธี ARE โดยระเหยสารด้วยการอาร์คไฟฟ้า และอุณหภูมิชิ้นงาน 190 °C
- 4. วิธี รีแอคทีฟ ไอออน เพลทติง ที่ความคันแก๊ส ในโตรเจน 2 m torr อุณหภูมิชิ้น งาน 250 °C ด้วยอัตราการเคลือบ 1900 °A/min

จากศึกษาพบว่า วิธีรีแอคทีฟ ใอออนเพลทติง ให้ผลการทดลองดีที่สุดในด้านความ คงทนต่อการสึกหรอโดยมีค่าสัมประสิทธิ์ความคงทนต่อการสึกหรอสัมพัทธ์เท่ากับ 93 ในขณะที่การ เคลือบด้วยวิธีอื่นให้ความคงทนต่ำกว่ามาก อย่างไรก็ตามวิธี ดีซี แมกนีตรอน รีแอคทีฟ สปัตเตอริง ยังคงแสดงค่าความคงทนต่อการสึกหรอสูงกว่าวิธี อาร์ เอฟ รีแอคทีฟ สปัตเตอริง ถึง 1.5 เท่า การ ทดลองนี้มิได้ระบุความหนาของฟิล์มเคลือบและชนิดของสารประกอบที่เกิดขึ้นในฟิล์มเคลือบ

2.7.4 สมบัติอื่นๆ ของไททาเนียมในไตรด์และการประยุกต์ใช้งาน [53]

ใททาเนียมในไตรค์มีความทนทานต่อการกัดกร่อน (corrosion) สูงมาก โดยจะถูก กัดกร่อนด้วยสารละถายกรดผสม HF + HNO3 หรือสารละถาย KOH ที่อุณหภูมิสูง และเกิดเป็นสาร ประกอบแอมโมเนียแต่ค่อนข้างเฉื่อยต่อปฏิกริยาในสภาวะอื่น ไททาเนียมในไตรค์นี้ทนการกัดกร่อน ผลในการทำลายฟิล์มเคลือบแต่อย่างใด

ใททาเนียมในใตรด์มีสัมประสิทธิ์ของความเสียดทานต่ำกว่าเหล็กประมาณ 3 เท่า (และใททาเนียมคาร์ใบด์มีค่าต่ำกว่าไททาเนียมในไตรด์) ร่วมกับการมีเนื้อผิวแข็ง เมื่อใช้เคลือบลงบน แบริงทำให้สามารถรับการะโหลดได้เพิ่มขึ้น ทำงานได้ที่ความเร็วรอบสูงขึ้นโดยมีอัตราการสึกหรอ ต่ำมากสิ้นเปลืองน้ำมันหล่อสิ่นน้อย การเคลือบลงบนอุปกรณ์ที่ใช้ในการกลึงใส ตัด เจาะ ช่วยให้ผิวที่ ได้รับการกลึง ใส ตัด เจาะ มีความเรียบสูงกว่าอุปกรณ์ที่ไม่มีการเคลือบไททาเนียมในโตรด์ เนื่องจาก ค่าและที่ความเสียดทานต่ำและทนอุณหภูมิสูงจึงลดแรงตัดลงทำให้สามารถทำงานที่ค่าอัตราการตัด เจาะสูงขึ้นและที่ความเร็วรอบสูงขึ้นได้ เครื่องระบบ CNC (computed numerical control) ในปัจจุบัน เป็นเครื่องที่ทำงานได้ด้วยความเร็วสูง และมีความแน่นอนสูงในการตั้งระยะทำงานการใช้อุปกรณ์ที่ เคลือบผิวแข็งด้วยไททาเนียมในไตรด์สามารถทำงานตัดเจาะด้วยความเร็วรอบการหมุนสูงกว่า 10,000 รอบ/นาที และมีการสึกหรอดำ ทำให้ไม่ต้องตั้งเครื่องใหม่บ่อยๆ เนื่องจากการสึกหรอหรือ ความเสียหายที่เกิดกับอุปกรณ์

การเคลือบไททาเนียมในไตรด์ ลงบนเกลียวชิ้นงาน สามารถรักษาความละเอียด และความเรียบของผิวเกลียวไว้ได้นาน การเคลือบลงบนเล็บมีคกลึงทั้งสเตนคาร์ไบด์และชิ้นขัดผิวรู ทำจากเหล็กความเร็วสูงจะช่วยเพิ่มอายุการใช้งานวัสคุได้ 3-6 เท่าตัว การเคลือบคอกสว่านจะยืดอายุ การใช้งานได้ถึง 3-8 เท่า การเคลือบลงบนเหล็ก punches เพิ่มอายุการใช้งานได้ 10 เท่าตัว การเคลือบบนชิ้น die จะเพิ่มอายุการใช้งานได้ 3-8 เท่าตัว การเคลือบคอกสว่านคว้านรู ช่วยเพิ่มอายุการใช้งานได้ 3-8 เท่าตัว การเคลือบคอกสว่านคว้านรู ช่วยเพิ่มอายุการใช้งานได้ 3-8 เท่าตัว การเคลือบคอกสว่านคว้านรู ช่วยเพิ่มอายุการใช้งานได้ 3-20 เท่า โดยช่วงของการยืดอายุใช้งานมากหรือน้อยขึ้นกับชนิดของวัสคุที่ถูกกลึง ใส ตัด เจาะ

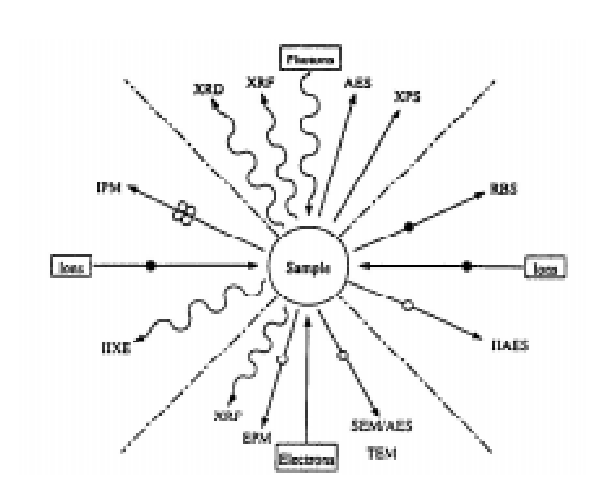
การเคลือบไททาเนียมในไตรค์ถงบนโมลค์ทำให้ผิวโมลค์แข็งทนการกัดกร่อนเนื้อ โมลค์ เช่น โมลค์ ฉีค PVC ที่ใช้ในปัจจุบัน ผิวเคลือบ hard chrmoe จะถูกกัดกร่อนจากสารเคมีใน PVC ระหว่างใช้งานค่อนข้างเร็ว การเคลือบผิวไททาเนียมในโตรค์จะช่วยทำให้อัตรากัดกร่อนลคลง มาก นอกจากนี้โมลค์แบบฉีค ที่เคลือบค้วยไททาเนียมในไตรค์ และลคสัมประสิทธิ์ความเสียคทาน ผิวเคลือบลง 3 เท่าตัว เมื่อเทียบกับผิวเหล็ก สามารถลดแรงอัคได้ถึง 30% และช่วยให้การไหลตัวของ วัสคุในแบบฉีคดีขึ้น

ในการเคลือบเพื่อความสวยงามและการเคลือบเพื่อทนทานต่อการสึกหรอ สภาวะ การเคลือบย่อมมีความแตกต่างกันออกไปบ้าง เช่น จุดหลอมตัวของสารประกอบไททาเนียมไตรด์ที่ ใช้กับการเคลือบเพื่อความสวยงามอาจไม่จำเป็นต้องสูงมากนัก แต่ความทนทานต่อการกัดกร่อน ใน การเคลือบเพื่อความสวยงามควรดีมากๆ สีการเคลือบจำเป็นมากต่อความสวยงามในขณะที่การ เคลือบเพื่อทนการสึกหรอ สีเคลือบไม่จำเป็นต้องสดใส คุณภาพความแข็งผิวชิ้นงานมีความสำคัญมาก กว่าขนาดเกรน (grain) ในการเคลือบเพื่อทนการสึกหรอควรใหญ่ในระดับสูงกว่า 1 µm และ ไม่จำ เป็นต้องขัดผิวให้มัน แต่การเคลือบเพื่อความสวยงามจำเป็นอย่างยิ่งที่ต้องมีเกรนละเอียดมากทำให้ สามารถขัดมันวาวได้ง่าย ความหนาของการเคลือบทนการสึกหรอมีค่าความหนาในช่วง 5-20 µm ขณะที่การเคลือบเพื่อความสวยงามต้องการความหนาเพียง 2-5 µm หรือต่ำกว่า ดังนั้นสภาวะการ เคลือบเมื่อใช้งานต่างกันจึงเป็นปัจจัยสำคัญส่วนหนึ่งในการออกแบบระบบเคลือบเพื่อผลิตสินค้าทาง อุตสาหกรรมด้านนี้

2.8 การหาลักษณะเฉพาะของฟิล์มบาง^{แม}

"การหาลักษณะเฉพาะ" หรือ "characterization" หมายถึงการอธิบายองค์ประกอบของ วัสดุ (constitution) ในเชิงคุณภาพ โดยเน้นลักษณะเด่นที่เกี่ยวกับส่วนผสมทางเคมี (composition) โครงสร้าง (structure) และข้อบกพร่อง (defect)

ทั้งนี้องค์ประกอบทั่วไปสำหรับการวิเคราะห์ คือ ต้องมือนภาคจากแหล่งกำเนิดพ่งเข้าทำ อันตรกิริยา (interaction) กับชิ้นงาน ซึ่งจะทำให้เกิดสัญญาณที่มีพลังงานแตกต่างกันออกมา แล้วจึง นำสัญญาณเหล่านี้ไปวิเคราะห์ต่อไป (รปที่ 2.33) ถ้าอนภาคจากแหล่งกำเนิดเช่น อิเล็กตรอนหรือรังสี เอกซ์ตกกระทบชิ้นงาน อันตรกิริยาที่เกิดขึ้นจะแตกต่างกันไปและให้สัญญาณเฉพาะออกมา ตัวอย่าง เช่น ถ้าแหล่งกำเนิดให้รังสีเอกซ์กระทบกับอิเล็กตรอนในแกน (core level) ของอะตอมในชิ้นงาน และมีการถ่ายเทพลังงานให้กับอิเล็กตรอน ทำให้อิเล็กตรอนหลุดออกจากอะตอมเรียกอิเล็กตรอนชุด นี้ว่า โฟโตอิเล็กตรอน (photoelectron) แต่ถ้าแหล่งกำเนิดเป็นอิเล็กตรอนและเกิดอันตรกิริยาทำนอง เดียวกันนี้ อิเล็กตรอนที่หลุดออกมาเรียกไอออไนซ์อิเล็กตรอน (ioniazing electron) เป็นต้น ถ้า อิเล็กตรอนของระดับพลังงานวงในหลุดออกมาและเกิดที่ว่างขึ้น อิเล็กตรอนจากระดับพลังงานวงถัด ไปกระโดคเข้าไปแทนที่ โดยเกิดการปลดปล่อยพลังงานออกมา และพลังงานนี้อย่มีค่าในช่วงของรังสี เอกซ์เราก็จะได้สัญญาณรังสีเอกซ์ออกมา ถ้ารังสีเอกซ์นี้สามารถทำให้อิเล็กตรอนในระดับพลังงานที่ ี่ต่ำกว่าหลุดออกมาจากอะตอม อิเล็กตรอนชุดนี้เรียกว่าโอเจอิเล็กตรอน (Auger electron) เป็นต้น ทั้งนี้ ้ขึ้นอย่กับว่าแหล่งกำเนิดคืออะไรและเกิดอันตรกิริยาลักษณะใด สัญญาณต่างๆ ที่จะได้จะมีลักษณะ เฉพาะสำหรับใช้ในการวิเคราะห์คุณลักษณะของวัสดุ ในการศึกษาลักษณะทางโครงสร้างของวัสดุไม่ สามารถกระทำ ได้ด้วยเทคนิคการวิเคราะห์เพียงเทคนิคเดียว จึงจำเป็นต้องรัถึงความสามารถของแต่ ละเทคนิคก่อนจะนำมาใช้ในการวิเคราะห์เพื่อให้ตรงกับความต้องการ (ตารางที่ 2.5)



รูปที่ 2.33 อันตรกิริยาของอนุภาคกับวัสดุ[54]

ตารางที่ 2.5 เทคนิคสำหรับการวิเคราะห์ลักษณะทางโครงสร้างของฟิล์มบาง^[55]

สมบัติของฟิล์มบาง	เทคนิคที่ใช้วิเคราะห์
ส่วนผสมของเฟส (phase composition)	X-ray หรือ electron diffraction
การกระจายของเฟส (pahse distribution)	metallographic sections, SEM, TEM, optical microscopy
ขนาดเกรน (grain size)	X-ray diffraction, SEM, TEM (plus image analyser)
รูปร่างของเกรน (grain shape)	SEM, TEM (plus image analyser)
การเรียงตัว (preferred orientation)	X-ray diffraction, TEM
ลักษณะทางพื้นผิว (surface morphology)	SEM
ความพรุน (porosity)	TEM, mercury instrustion porosimetry, metallographic sections

2.8.1 เทคนิคการเลี้ยวเบนรังสีเอกซ์ (X-ray Diffraction)

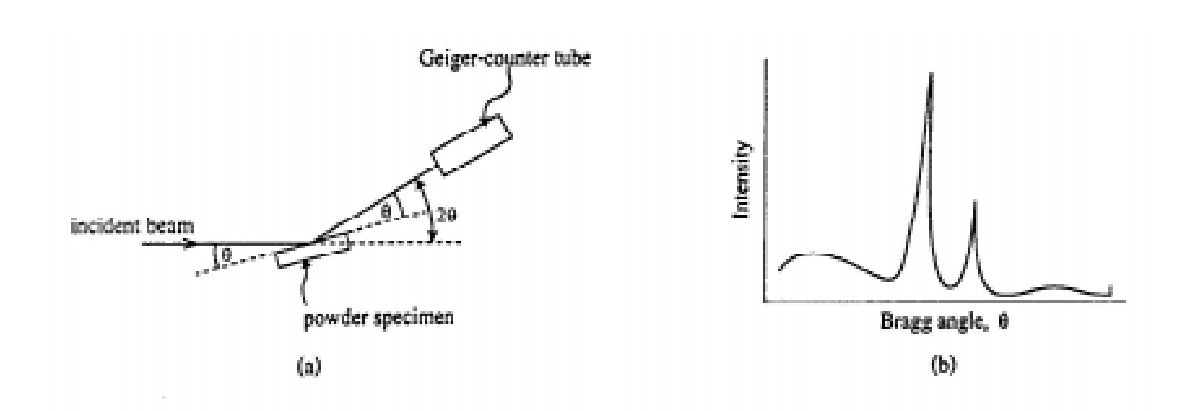
เทคนิคการวิเคราะห์การเลี้ยวเบนรังสี (diffraction analysis) ใช้เพื่อการแยกแยะ โครงสร้างของผิวเคลือบ การวิเคราะห์อาสัยการเปรียบเทียบรูปแบบการเลี้ยวเบนของตัวอย่างกับของ มาตรฐาน เทคนิคการเลี้ยวเบนรังสีเอกซ์จะอาสัยลำรังสีเอกซ์ (x-ray beam) ที่มีค่าความยาวคลื่น λ จากแหล่งกำเนิดพุ่งชนกับผิวเคลือบ เกิดการเลี้ยวเบนขึ้น ความเข้มของลำรังสีที่เลี้ยวเบนออกมาจะถูก เก็บบันทึกในรูปของฟังก์ชันของมุมการเลี้ยวเบน (diffracted angle; θ) โดยความเข้มของสัญญาณ (intensity) จะมีค่าไม่เป็นศูนย์ถ้ามุมของการเลี้ยวเบนเป็นไปตามกฎของแบรกก์ (Bragg's law)

$$\lambda = 2 d_{\text{Hel}} \sin \theta \qquad \qquad \dots \dots (2.7)$$

เมื่อ d_{hkl} คือ ระยะหางระหว่างระนาบของแลททิชที่มีดัชนีมิลเลอร์ (Miller indices) ของระนาบ hkl

โดยทั่วไปชาตุหรือสารประกอบนั้นจะประกอบด้วยอะตอมที่จัดเรียงตัวในแลททีช (lattice) โดยมีรูปทรงและระยะห่างเหมือนๆ กันและมีหน่วยเซลล์ (unit cell) เป็นหน่วยที่เล็กที่สุดที่ บอกถึงโครงสร้างผลึกของชาตุหรือสารประกอบนั้นๆ การเรียงตัวอย่างสมมาตรในสามมิตินี้ทำให้ ผลึกสามารถประพฤติตัวเสมือนเป็นเกรตตึ้งของการเลี้ยวเบน (diffraction grating) เมื่อลำรังสีเอกซ์ที่ มีความถี่ค่าหนึ่งชนกับอะตอม อันตรกิริยาที่กระทำกับอิเล็กตรอนในอะตอมทำให้อิเล็กตรอนสั่นด้วย ความถี่เท่ากับของรังสีเอกซ์ และปล่อยรังสีเอกซ์ออกมาในทุกทิสทางโดยไม่มีการเปลี่ยนแปลงความถี่ ถ้าการเลี้ยวเบนเกิดกับอะตอมในผลึกที่เรียงห่างกันเป็นระยะเท่าๆ กัน รังสีที่ปลดปล่อยออกมาจะเกิด การแทรกสอดกันซึ่งมีทั้งการแทรกสอดแบบเสริมและแบบหักล้าง สัญญาณจะเกิดการแทรกสอด แบบเสริมได้เมื่อมุมตกกระทบเท่ากับมุมสะท้อน การสะท้อนของรังสีเอกซ์จะเกิดจากอะตอมใน ระนาบต่างๆ ที่ขนานกันและห่างเท่าๆ กัน

เอกซ์เรย์ ดิฟแฟรกโตมิเตอร์ (X-ray diffractometer) เป็นอุปกรณ์ที่ใช้สำหรับวัดค่า ความเข้มของรังสีเอกซ์ที่หักเหจากผลึก โดยจะมีอุปกรณ์ทางอิเล็กทรอนิกส์ประกอบอยู่ด้วย เช่น หลอดนับใกเกอร์ (Geiger counter tube) หรือ ใอออในเซชั่น แชมเบอร์ (ionization chamber) พิจารณาจากรูปที่ 2.34a จะเห็นว่าทั้งชิ้นงานและ หลอดนับใกเกอร์ จะเคลื่อนที่โดยหลอดนับใกเกอร์ จะเคลื่อนที่เร็วกว่า 2 เท่าเสมอ ทำให้อุปกรณ์ตรวจจับรังสีนี้อยู่ในมุมที่เหมาะสำหรับการหักเหรังสี ตามกฎของแบรกก์ โดยปกติแล้วเอกซ์เรย์ ดิฟแฟรกโตมิเตอร์ ใช้กับชิ้นงานที่เป็นผงที่อัดแน่น สัญญาณที่ตรวจจับได้จะแสดงออกมาในรูปของ รูปแบบการเลี้ยวเบนรังสี (diffraction pattern) ดัง แสดงในรูปที่ 2.34b โดยความเข้มของสัญญาณขึ้นอยู่กับหลายตัวแปรด้วยกันเช่น โครงสร้างของวัสดุ ปริมาตรของวัสดุที่แผ่รังสี (volume of irradiated material) รูปทรงของการหักเห (diffraction geometry) และการวางชิ้นงาน (sample aligment) เป็นต้น



รูปที่ 2.34 (a) เอกซ์เรย์ ดิฟแฟรกโตมิเตอร์ (X-ray diffractometer)
(b) Intensity peak ที่แสดงถึงระนาบผลึกของวัสดุในตำแหน่งที่มีการหักเหรังสี

ตำแหน่งของพีค (peak) ที่มีค่ามากที่สุดสามารถบอกถึงขนาดและรูปร่างของหน่วย เซลล์ได้ ในขณะที่ความกว้างใช้หาค่าขนาด การจัดเรียงตัว (orientation) และความเครียด (strain) ภาย ในเกรนของวัสดุหลายผลึก บางครั้งตำแหน่งของรูปแบบการเลี้ยวเบนที่วัดได้อาจจะเลื่อนไปด้วยค่า มุมที่สูงขึ้นเนื่องจากผลของความเค้นตกค้าง (residual stress) ในผิวเคลือบนั่นเอง ส่วนความเข้มของ สัญญาณที่ได้อาจไม่เป็นไปตามค่าใน บัตรค่ามาตรฐาน (standard card) ก็เป็นเพราะการจัดเรียงตัวใน ทิศทางที่ชอบ (preferred orientation) ของอะตอมในฟิล์ม

การประมาณการจัดเรียงตัวของอะตอมทั้งหมด เราจำเป็นต้องเทียบความเข้มของ สัญญาณที่วัดได้กับมาตรฐาน โดยมี T* คือ texture coefficient มีค่าเป็น

$$T^*_{h'k'l'} = (I_{h'k'l'} / I^{\circ}_{h'k'l'}) / [1/n \sum (I_{hkl} / I^{\circ}_{hkl})] \qquad \dots (2.8)$$

เมื่อ h'k'l' คือ ดัชนีมิลเลอร์ (Miller indices) ของระนาบที่สนใจ

- I คือ ความเข้มของสัญญาณที่วัดได้ (mesured intensity)
- ${
 m I}^{\scriptscriptstyle 0}$ คือ ความเข้มของสัญญาณ (intensity) มาตรฐาน

ถ้า T* มีค่าเป็นหนึ่ง จะหมายถึง random texture และถ้าค่าของ T* มากกว่านั้น จะ บอกถึงระดับที่เพิ่มขึ้นของการจัดเรียงตัวในทิศที่ชอบ (preferred orientation) เช่น {111} ทั้งนี้การจัด เรียงตัวในทิศที่ชอบของไททาเนียมในไตรด์จะพบได้ง่ายกว่าเพราะ T*{111} = 4

นอกจากนี้เทคนิคการเกี้ยวเบนรังสีเอกซ์ยังสามารถให้ข้อมูลที่บอกถึงส่วนผสมทาง เคมีของเฟส (phase composition) และค่าพารามิเตอร์ของแลททิช (lattice parameter measurement) ที่ มีความสำคัญต่อการหาค่าความเค้นหลงเหลือหรือต่อการประมาณค่าของ stoichiometry หรือส่วน ผสมทางเคมีของสารละลายของแข็งได้เช่นกัน

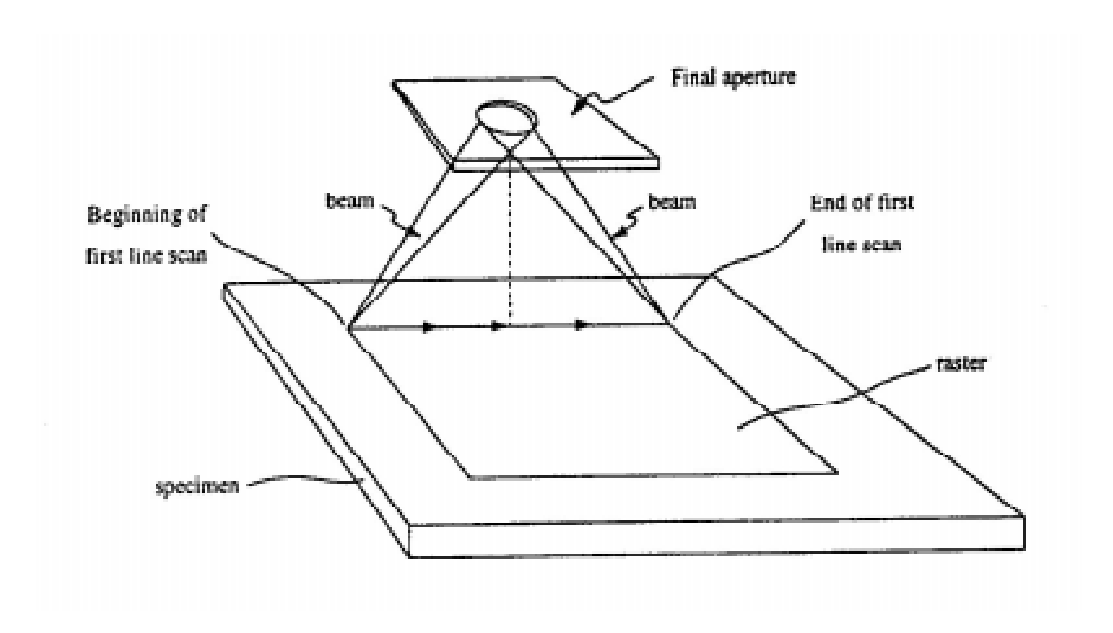
2.8.2 กล้องจลทรรศน์อิเล็กตรอนแบบส่องกราด (Scanning Electron Microscopy)

กล้องจุลทรรศน์อิเล็กตรอนแบบส่องกราด หรือที่เรียกว่า SEM นั้น เป็นเครื่องมือ สำหรับศึกษาชิ้นงานที่ต้องการกำลังขยาย (magnification) และความชัดลึก (depth of field) สูง ชิ้น งานตัวอย่างที่จะนำมาศึกษาด้วยกล้องจุลทรรศน์อิเล็กตรอนแบบส่องกราดนี้ส่วนใหญ่ต้องได้รับการ ขัดละเอียดและกัดกรดเช่นเดียวกับการศึกษาด้วยกล้องจุลทรรศน์อิเล็กตรอนแบบส่องกรกดนี้ส่วนใหญ่ต้องกล้อง จุลทรรศน์อิเล็กตรอนแบบส่องกราดจะอยู่ในช่วง 1,500 ถึงมากกว่า 50,000 เท่า ส่วนความชัดลึกจะ มากกว่ากล้องชนิดใช้แสงถึง 300 เท่า

โดยทั่ว ไปการวิเคราะห์ด้วยกล้องจุลทรรสน์อิเล็กตรอนแบบส่องกราดอาศัยหลัก การเร่งอิเล็กตรอนจากแหล่งกำเนิดด้วยสักย์ ไฟฟ้าค่าสูง (ประมาณ 5-30 kV) ลำอิเล็กตรอนจะถูก โฟกัสด้วยเลนส์แม่เหล็กไฟฟ้า ทำให้ลำอิเล็กตรอนมีขนาดของโพรบ (probe diameter) เล็กลงเมื่อตก กระทบชิ้นงาน ภาพที่ ได้จากกล้องจุลทรรสน์อิเล็กตรอนแบบส่องกราดจะปรากฏที่หน้าจอมอนิเตอร์ พื้นผิวของชิ้นงานจะถูกกราดด้วยลำอิเล็กตรอนขนาดเล็กๆ เป็นพื้นที่ที่เรียกว่า ราสเตอร์ (raster) อันตรกิริยาระหว่างลำอิเล็กตรอนกับพื้นผิวชิ้นงานทำให้เกิดการปลดปล่อยพลังงานออกมาหลายรูป

แบบ เช่น สัญญาณจากโอเจอิเล็กตรอน (Auger electron) สัญญาณรังสีเอกซ์แบบต่อเนื่อง (continuous x-ray) และสัญญาณรังสีเอกซ์เฉพาะ (characteristic x-ray) เป็นค้น สัญญาณที่ได้เหล่านี้จะให้ข้อมูล ของชิ้นงาน ณ จุดที่อิเล็กตรอนตกกระทบ ในกล้องจุลทรรศน์อิเล็กตรอนแบบส่องกราคชนิคมาตร ฐานจะใช้สัญญาณของอิเล็กตรอนทุติยภูมิเป็นหลักในการสร้างภาพ ทั้งนี้เพราะเป็นสัญญาณที่มาจาก พื้นที่ที่สัมผัสกับลำอิเล็กตรอนโดยตรง ดังนั้นความสามารถในการแยกรายละเอียด (resolution) ของ ภาพจึงสูงมากหรือให้รายละเอียดของภาพดีกว่า อุปกรณ์ตรวจจับสัญญาณ (detector) จะอยู่ด้านขวา ของลำอิเล็กตรอน โดยมีตะแกรงใบแอส +200 V ติดอยู่ด้านหน้า เนื่องจากสัญญาณอิเล็กตรอนทุติย ภูมิมีพลังงานเพียงประมาณ 30-50 eV เท่านั้น ทำให้อิเล็กตรอนพลังงานต่ำเหล่านี้ถูกดึงให้วิ่งไปยัง อุปกรณ์ตรวจจับได้ด้วยสักย์ใบแอส 200 V

บริเวณผิวของชิ้นงานที่ใช้ในการสร้างภาพ คือ บริเวณราสเตอร์ โดยลำอิเล็กตรอน จะวิ่งกราคเป็นเส้นตรง เรียกว่า เส้นกราค (line scan) เท่ากับความกว้างของราสเตอร์ (รูปที่ 2.35) ขณะที่ลำอิเล็กตรอนเคลื่อนที่นั้น สัญญาณอิเล็กตรอนทุติยภูมิจะถูกปล่อยออกมาจากพื้นผิวและถูกจับ ค้วย อุปกรณ์ตรวจจับสัญญากณ โดยความเข้มของสัญญาณที่ไม่เท่ากันจะเป็นสิ่งที่ควบคุมความสว่าง (brightness) ของภาพที่จอมอนิเตอร์ เมื่ออิเล็กตรอนกราคไปจนถึงจุดสิ้นสุดของเส้น มันจะวิ่งกลับไป ยังขอบเริ่มต้นอย่างรวดเร็วและเลื่อนตำแหน่งต่ำลงจากเส้นที่เพิ่งกราคไป และกราคไปเช่นนี้จนเต็ม พื้นที่ราสเตอร์เราจะได้ภาพของพื้นที่ที่ถูกลำอิเล็กตรอนกราคนั้น โดยปกติกล้องจุลทรรศน์ อิเล็กตรอนแบบส่องกราคมีเส้นกราคประมาณ 1000 เส้น เพื่อสร้างภาพขนาค 10x10 cm² การส่อง กราคที่สมบูรณ์จะเกิดภายใน 1/30 วินาที นั่นคือภาพที่ปรากฏที่หน้าจอ



รูปที่ 2.35 เส้นทางการเคลื่อนที่ของลำอิเลกตรอนบนผิวชิ้นงานในกล้อง SEM^[57]

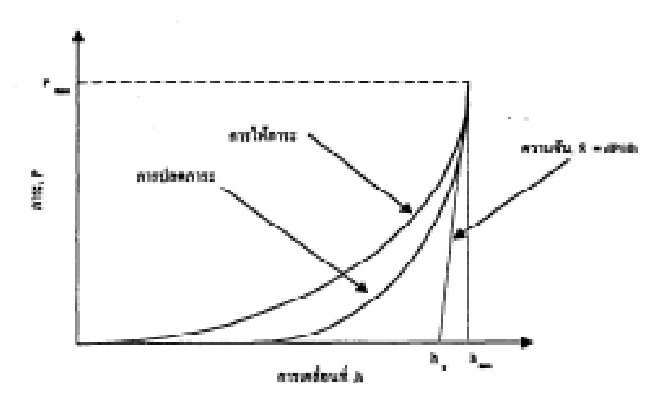
จำนวนของอิเล็กตรอนทุติยภูมิที่มาถึงอุปกรณ์ตรวจจับขึ้นอยู่กับหลายตัวแปรเช่น ความลาดเอียงของพื้นผิวชิ้นงานที่สัมพันธ์กับตำแหน่งของอุปกรณ์ตรวจจับ เช่นถ้าพื้นผิวเอียงเข้าหา อุปกรณ์ตรวจจับ จำนวนอิเล็กตรอนทุติยภูมิที่ไปถึงก็จะมีจำนวนมาก ภาพที่ได้จะมีความสว่างมาก ส่วนสัญญาณของอิเล็กตรอนชุดที่เกิดการกระเจิงกลับ (backscatter electron) ก็สามารถให้ข้อมูลที่ แสดงลักษณะของพื้นผิวได้ แต่อุปกรณ์ตรวจจับได้รับสักย์ใบแอสเพียง –50 V ซึ่งเพียงพอที่จะผลัก สัญญาณของอิเล็กตรอนทุติยภูมิ แต่ไม่มากพอที่จะผลักสัญญาณของอิเล็กตรอน ชุดที่เกิดการกระเจิง กลับที่มีพลังงานสูง 16-18 eV อิเล็กตรอนชุดที่เกิดการกระเจิงกลับมีแนวโน้มที่จะเดินทางเป็นเส้น ตรง ดังนั้น สัญญาณที่อยู่ในแนวเส้นสายตา (line-of-sight) ระหว่างจุดที่อิเล็กตรอนตกกระทบชิ้นงาน กับด้านหน้าของอุปกรณ์ตรวจจับจึงถูกตรวจจับนั่นหมายถึงอิเล็กตรอนชุดที่เกิดการกระเจิงกลับ แสดงลักษณะของความแตกต่างทางพื้นผิว (topographic contrast) ได้ดีกว่า

ลักษณะสำคัญของอิเล็กตรอนชุดที่เกิดการกระเจิงกลับอีกประการคือสัมประสิทธิ การกระเจิง (scattering coefficient; η) ซึ่ง ๆ คือจำนวนของอิเล็กตรอนที่เกิดการกระเจิงกลับต่อ จำนวนของอิเล็กตรอนตกกระทบ โดยที่ ๆ ขึ้นอยู่กับเลขอะตอมของธาตุ (Z) ถ้า Z มีค่ามาก ๆ จะมีค่า มากด้วย ดังนั้น อิเล็กตรอนชุดที่เกิดการกระเจิงกลับสามารถแสดงความแตกต่างของบริเวณในวัสดุที่ มีเลขอะตอมของธาตุแตกต่างกัน ได้ แต่ถ้าชิ้นงานเป็นของผสมเนื้อเดียวกัน (homogeneous mixture) ของธาตุหลายชนิด ค่า ๆ จะขึ้นอยู่กับสัดส่วนโดยน้ำหนัก (weight fraction) ขององค์ประกอบนั้น

2.8.3 <u>เทคนิคการกดระดับนาโนเมตร (Nanoindentation Technique)</u>

การวัดความแข็งฟิล์มโดยวิธีการทดสอบแบบวัดรอยกด (indentation testing) ที่รู้ จักกันดีคือ การวัดความแข็งวิกเกอส์และบริเนลล์ (Vickers and Brinell hardness test) แต่สำหรับ เทคนิคการกดระดับนาโนเมตร (nanoidentation technique) เป็นการวัดความแข็งฟิล์มที่รอยกด ไม่มาก โดยอยู่ในระดับนาโนเมตรเท่านั้น โดยขณะที่มีการกดหัวกดซึ่งเป็นเพชรจะค่อยๆ เลื่อนเข้าไปในเนื้อ ฟิล์มทีละน้อย ช่วงแรกจะเกิดการเปลี่ยนรูปแบบยืดหยุ่น (elastic deformation) หลังจากนั้นฟิล์มจะมี การเปลี่ยนรูปตย่างถาวร (plastic deformation) เมื่อค่อยๆ ปลดภาระ (unload) การเปลี่ยนรูปแบบยืด หยุ่นจะกลับคืนรูปเดิม (recovery) ดังรูปที่ 2.36

กราฟระหว่างการะ (load) กับการเคลื่อนที่ (displacement) จะให้ข้อมูลของความ แข็ง (hardness) สมบัติการยืดหยุ่นและการคืบ (elastic and creep properties) ของฟิล์ม ถ้าเปรียบเทียบ กับการวัดความแข็งแบบธรรมดา จะเห็นได้ว่าเทคนิคการกดระดับนาโนเมตรให้ข้อมูลที่มีความต่อ เนื่องของการะและความลึกของการกดระหว่างที่มีการให้และปลดภาระ



รูปที่ 2.36 กราฟของภาระที่เป็นฟังก์ชั่นของความถึกในการกด [58]

การหาสมบัติทางกลของฟิล์มบางด้วยเทคนิคการกดระดับนาโนเมตรนี้ได้รับความ นิยมอย่างแพร่หลายเนื่องจากเป็นเทคนิคที่มีกำลังในการแยกเชิงระยะสูง (high spatial resolution) คือ น้อยกว่า 1 ตารางไมครอน และมีความง่ายต่อการใช้ศึกษาสมบัติทางกลของฟิล์มภายใต้สภาวะการรับ แรงแบบแรงอัด

การให้การะแก่อุปกรณ์การกดระดับนาโนเมตร สามารถทำใต้โดยให้การะผ่าน อุปกรณ์แม่เหล็กไฟฟ้า (คอยล์และแม่เหล็ก) ภาระที่ให้วัดได้จากค่ากระแสที่ใหลผ่านคอยล์ หรือ อุปกรณ์เพียโซอิเล็กทริก (piezoelectric device) ที่มีโหลดเซลประกอบอยู่ อุปกรณ์ดังกล่าวมีกำลังใน การแยกเชิงระยะ (resolution) สูงกว่า 0.01 µ ส่วนการวัดระยะการเคลื่อนที่ของหัวกดใช้อุปกรณ์ capacitive sensor ซึ่งให้กำลังในการแยกสูงประมาณ 0.1 nm หัวกดที่ใช้คือหัวกดเพชร ชนิด Berkovich มีลักษณะเป็นปีรามิดรูปสามเหลี่ยม (triangular pyramid) ที่มีค่าความสัมพันธ์ของความลึก ต่อพื้นที่ (depth-to-area relation) เท่ากับหัวกดมาตรฐานวิกเกอส์ซึ่งมีรูปร่างเป็นปีรามิดฐานสี่เหลี่ยม

การทคสอบแบบวัครอยกด (indentation technique) เป็นเทคนิคที่เหมาะสำหรับ การวัคความแข็งของฟิล์มซึ่งเคลือบติดบนวัสดุรองรับ การวัดความแข็งหมายถึงการวัดความต้องการ การเปลี่ยนรูปเฉพาะที่ (local deformation) ซึ่งนิยามได้เป็น

$$H = P_{max} / A$$
 (2.9)

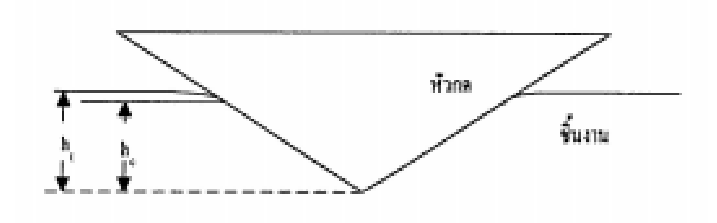
เมื่อ P_{max} คือภาระสูงสุดที่ใช้ในการกด และ A คือพื้นที่ภาพฉาย (projected area) ของรอยกดในฟิล์ม ซึ่งหาได้จากฟังก์ชั่นพื้นที่ F(h) ที่แสดงความสัมพันธ์ระหว่างพื้นที่ภาคตัดขวาง ของหัวกดกับความลึก ณ ตำแหน่งที่มีการกด (appropriate depth, h) ที่วัดจากปลายของหัวกดเข้ามา ตัวอย่างเช่น หัวกด Berkovich ที่มีปลายแหลม ซึ่งในทางอุดมคติจะมีฟังก์ชั่นพื้นที่เป็น $F(h) = 24.5h^2$

แต่ในความเป็นจริงปลายของหัวกดไม่ได้แหลมอย่างที่คิดฟังก์ชั่นพื้นที่จึงซับซ้อนขึ้น การหาค่าความ ลึก ณ ตำแหน่งที่มีการกดที่ค่าภาระสูงสุด สามารถหาได้จากสมการ (2.10) คือ

$$h_e = h_{max} - [\epsilon P_{max} / (dP/dh)]$$
 (2.10)

แต่ละเทอมแสดงไว้ในรูปที่ 2.38 ค่าของ E คือค่าคงที่ขึ้นอยู่กับรูปร่างทางเรขาคณิต ของหัวกดสำหรับหัวกด Berkovich ค่า E มีค่าเท่ากับ 0.75 เมื่อได้ค่า h, ก็สามารถคำนวณหาพื้นที่ของ หัวกดจากฟังก์ชั่นพื้นที่ A = F(h) ค่าพื้นที่ที่ได้จะนำไปคำนวณหาความแข็งในสมการที่ (2.9)

ความถึกของรอยกดมีผลกระทบโดยตรงต่อการวัดความแข็ง ภาระที่ใช้มีผลกระทบเพียงเล็กน้อยต่อการวัด แต่จะให้ข้อมูลของพื้นที่ภาพฉายที่ใช้ในการหาค่าความแข็งของฟิล์ม เมื่อวัดความแข็งของฟิล์ม ที่เคลือบบนวัสดุ บริเวณที่เกิดการเปลี่ยนรูปแบบถาวรของรอยกดอาจกิน พื้นที่ลงไปจนถึงเนื้อวัสดุรองรับ ความแข็งจะกลายเป็นฟังก์ชั่นของอัตราส่วนของความลึกกับความ หนาของฟิล์ม และจากกฎ "A rule of thumb" ซึ่งกล่าวว่า ความลึกของการกดควรมีค่าเท่ากับ 1 ใน 10 ของความหนา จึงทำให้ในกรณีนี้ไม่ได้ค่าความแข็งที่แท้จริงของฟิล์ม ดังนั้นการลดอิทธิพลของความ แข็งของวัสดุรองรับต่อของฟิล์ม การวัดความแข็งของฟิล์มที่ความลึกระดับนาโนเมตรด้วยเทคนิค การกดระดับนาโนเมตรจึงได้ผลการวัดที่ถูกต้องกว่า



รูปที่ 2.37 ลักษณะทางกายภาพของการกดภายในฟิล์มบาง [59]

บทที่ 3

การออกแบบสร้างและทดสอบเครื่องเคลื่อบ

บทนี้กล่าวถึงผลการออกแบบสร้างและทคสอบการทำงานเครื่องเคลือบฟิล์มบางที่สร้าง
ขึ้นในโครงการนี้ ทั้งนี้ในระหว่างคำเนินงานในช่วงแรกของโครงการ คณะผู้วิจัยได้สร้างเครื่อง
เคลือบตามแบบที่เสนอ แต่พบว่ามีข้อบกพร่องบางประการจึงได้แก้ไขและปรับปรุงใหม่ บทนี้จะได้
กล่าวถึงทั้งเครื่องเคลือบที่สร้างขึ้นในช่วงแรกและเครื่องเคลือบที่ปรับปรุงใหม่จนสำเร็จเป็นที่เรียบ
ร้อย ซึ่งมีรายละเคียดดังนี้

3.1 เครื่องเคลือบฟิล์มบางที่สร้างขึ้นในช่วงแรก

ในช่วงแรกของการคำเนินงานคณะผู้วิจัยไค้สร้างเครื่องเคลือบตามแบบที่เสนอไว้ แต่ใน ระหว่างดำเนินงานคณะผู้วิจัยพบปัญหาเกี่ยวกับแบบของเครื่องเคถือบที่เสนอไว้ ทำให้คณะผู้วิจัยต้อง ปรับปรุงและเปลี่ยนแปลงโครงสร้างของเครื่องเคลือบที่สร้างไว้เรียบร้อยแล้วใหม่ (รูปที่ 3.1-3.3) โดยในระหว่างดำเนินงานคณะผู้วิจัยพบว่า โครงสร้างของเครื่องเคลือบที่ออกแบบตามที่เสนอไว้นั้นมี ข้อจำกัดหลายอย่างซึ่ง ไม่เหมาะสมสำหรับการติดตั้งอุปกรณ์หลายอย่าง เช่น แท่นวางของเครื่อง (โครงเครื่อง) มีขนาดเล็กเกินไป ทำให้อาจมีปัญหาเกี่ยวกับการรับน้ำหนักของอุปกรณ์ต่างๆ รวมถึง ไม่มีพื้นที่พอสำหรับติดตั้งอุปกรณ์เพิ่มเติม นอกจากนี้ชุดควบคุมการทำงานของเครื่องเคลือบซึ่งเดิม ออกแบบส่วนนี้ไว้ในลักษณะเป็นชุดรวม (ซึ่งทำงานได้ค่อนข้างจำกัด) และเมื่อทดสอบการทำงาน เบื้องต้นพบว่าไม่สะควกในการทำงาน จึงจำเป็นต้องเพิ่มอปกรณ์บางอย่าง ซึ่งเครื่องเคลือบที่สร้างไว้ ในช่วงแรกนั้น (รปที่ 3.1-3.3) ไม่สามารถเพิ่มอปกรณ์และชดควบคมได้ คณะผัวิจัยจึงจำเป็นต้องออก แบบส่วนควบคุมการทำงานนี้ขึ้นใหม่เพื่อให้สามารถทำงานได้สมบูรณ์มากยิ่งขึ้น โดยออกแบบให้ ส่วนควบคมใหม่นี้แยกออกจากกันเป็นชดๆ ได้แก่ ชดแสดงผลการวัดความดัน ชดควบคมการปล่อย แก๊สอย่างละเอียด ชุดควบคุมระบบสุญญากาส ชุดควบคุมการเคลือบและชุดควบคุมระบบไฟฟ้าแรง สูง พร้อมกันนี้คณะผู้วิจัยได้ออกแบบโครงเครื่องเคลือบใหม่ (ซึ่งแตกต่างจากที่ออกแบบไว้ในช่วง แรก) เพื่อให้สามารถรับน้ำหนักและติดตั้งอุปกรณ์ต่างๆ ได้มากขึ้นตามต้องการอีกด้วย (อย่างไรก็ดี การดำเนินการเปลี่ยนแปลงแก้ไขนี้ไม่มีผลต่อการดำเนินงานในภาพรวมของโครงการ)





รูปที่ 3.1 เครื่องเคลือบที่สร้างเสร็จในช่วงแรก (ก่อนปรับปรุง)





รูปที่ 3.2 เครื่องเคลือบที่สร้างเสร็จในตอนแรกขณะติดตั้งอุปกรณ์และทคสอบสุญญากาศ





รูปที่ 3.3 ชุดควบคุมและภาคจ่ายไฟฟ้าแรงสูงของเครื่องเคลือบที่สร้างในตอนแรก

3.2 การออกแบบและสร้างเครื่องเคลือบ

จากข้อจำกัดของเครื่องเคลือบที่สร้างไว้ในช่วงแรกทำให้คณะผู้วิจัยต้องออกแบบและ ปรับปรุงเพื่อแก้ปัญหาจนได้เครื่องเคลือบใหม่ ซึ่งมีส่วนประกอบหลัก 7 ส่วน ดังนี้คือ ภาชนะ สุญญากาศ ระบบเครื่องสูบสุญญากาศ คาโทคและเป้าสารเคลือบ ระบบน้ำหล่อเย็น ระบบจ่ายไฟฟ้า ระบบป้อนแก๊ส ชุดควบคุมการทำงานของเครื่องเคลือบ (รูปที่ 3.4) มีรายละเอียดดังนี้



รูปที่ 3.4 เครื่องเคลือบทั้งระบบที่ออกแบบและสร้างขึ้นในโครงการนี้

3.2.1 กาชนะสุญญากาศ

ภาชนะสุญญากาศที่ออกแบบสร้างขึ้น ทำจากเหล็กกล้าสเตนเลสหนา 3.0 mm มี เส้นผ่าศูนย์กลางขนาด 30.0 cm สูง 31.0 cm (ภาชนะสุญญากาศมีปริมาตรประมาณ 22.2 ถิตร) มีช่อง หน้าต่างขนาดเส้นผ่าศูนย์กลาง 7.0 cm จำนวน 1 ช่อง เพื่อสังเกตการณ์ปรากฏการณ์ต่างๆ ภายใน ภาชนะสุญญากาศ สำหรับฝาปิดบนของภาชนะสุญญากาศออกแบบให้มีช่องสำหรับใส่ชัดเตอร์และ อุปกรณ์เพิ่มเติม (รูปที่ 3.5)

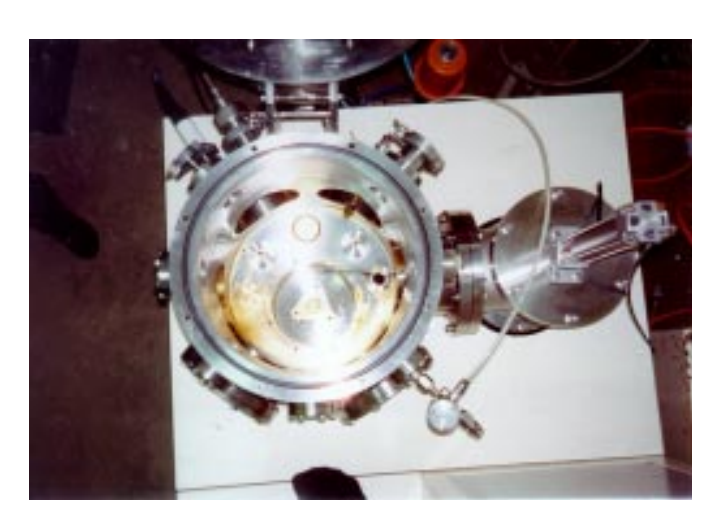
เพื่อให้สามารถติดตั้งระบบวัดความดันภายในภาชนะสุญญากาศ จึงได้ออกแบบให้ ภาชนะสุญญากาศมีหน้าแปลนขนาด 4 cm (จำนวน 2 ช่อง) สำหรับใส่หัววัดความดันแบบเพนนิง และหน้าแปลนขนาด 3 cm (จำนวน 2 ช่อง) สำหรับใส่หัววัดความดันแบบพิรานี

การเชื่อมต่อของภาชนะสุญญากาศกับระบบเครื่องสูบนั้น จะผ่านช่องเปิดทางด้าน หลังของภาชนะสุญญากาศ ซึ่งจะต่องไปยังวาวล์สุญญากาศสูงอีกต่อหนึ่ง ช่องเปิดนี้มีขนาด 13.5 cm (ใช้ต่อจากภาชนะสุญญากาศเข้าสูบเครื่องสูบแพร่ไออีกต่อหนึ่ง) สำหรับแผ่นฐาน (base plate) ของ ภาชนะสุญญากาศ ทำจากเหล็กกล้าสเตนเลสหนา 7.0 mm มีเส้นผ่าศูนย์กลางขนาด 34.0 cm และออก แบบมีช่องเปิดขนาด 2.5 cm จำนวน 8 ช่อง สำหรับต่ออุปกรณ์เพิ่มเดิม เช่น ขั้วไฟฟ้า มอเตอร์ ฯลฯ กลางแผ่นฐานมีหน้าแปลนขนาด 13 cm สำหรับติดตั้งแท่นวางชิ้นงานซึ่งสามารถปรับระยะได้

นอกจากส่วนประกอบหลักของระบบแล้วภายในภาชนะสุญญากาศยังมีอุปกรณ์ ต่างๆ อีก คือ แท่นวางชิ้นงานสำหรับเคลือบ ซึ่งทำจากเหล็กกล้าสเตนเลสกลมเส้นผ่าศูนย์กลาง 10 cm ยึดติดกับแผ่นฐานซึ่งสามารถปรับระยะห่างจากผิวหน้าเป้าสารเคลือบ ได้ตั้งแต่ 4-10 cm (รูปที่ 3.9) ชุดให้ความร้อนแบบอินฟราเรด (รูปที่ 3.10-3.11)



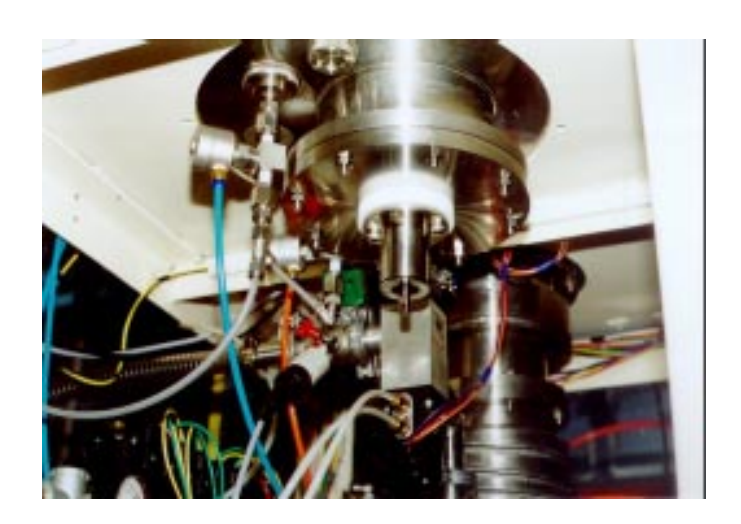
รูปที่ 3.5 ภาชนะสุญญากาศของเครื่องเคลือบ



รูปที่ 3.6 ภายในภาชนะสุญญากาศของเครื่องเคลือบ



รูปที่ 3.7 ด้านบนของแผ่นฐานของเครื่องเคลือบ



รูปที่ 3.8 ค้านถ่างของแผ่นฐานของเครื่องเคถือบ ซึ่งมีชุดหมุนที่วางชิ้นงานสำหรับเคถือบ



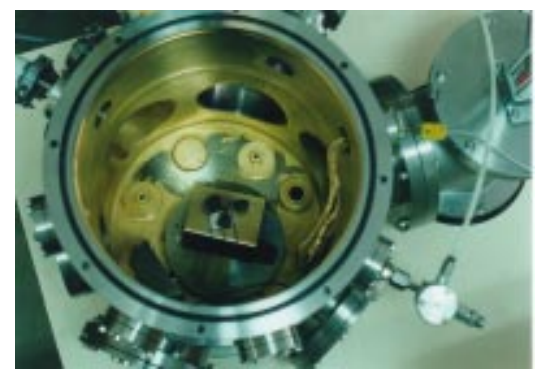


รูปที่ 3.9 แท่นวางชิ้นงานและที่จับชิ้นพร้อมแกนสำหรับหมุน



รูปที่ 3.10 ชุดให้ความร้อนแบบอินฟราเรด





รูปที่ 3.11 ชุดให้ความร้อนแบบอินฟราเรคเมื่อติดตั้งภายในภาชนะสุญญากาศ

3.2.2 ระบบเครื่องสูบสุญญากาศ

ระบบสุญญากาศสำหรับถดความดันในภาชนะสุญญากาศของเครื่องเคถือบที่สร้าง ในโครงการวิจัยนี้ประกอบด้วยเครื่องสูบแบบแพร่ใอ เครื่องสูบกถแบบโรตารี มาตรวัดความดัน อุปกรณ์วาล์วและข้อต่อต่างๆ โดยระบบสุญญากาศที่ออกแบบสร้างขึ้นนี้สามารถทำความดันใน ภาชนะสุญญากาศลดลงถึง 9.0x10⁻⁶ mbar โดยแต่ละส่วนมีรายละเอียดดังนี้

- 1. เครื่องสูบแบบแพร่ไอ เป็นเครื่องที่ออกแบบสร้างขึ้นใหม่ มีอัตราการสูบ (N_2) ประมาณ 280 ถิตร/วินาที พิสัยการทำงาน 10^{-2} - 10^{-6} mbar ใช้ไฟฟ้าขนาด 220 V/50 Hz 700 W โดยใช้ น้ำมัน Silicone DC704 (Tetraphenyl Tetramethyl Trisiloxane) (รูปที่ 3.12)
- 2. เครื่องสูบกลแบบโรตารี ใช้ของ Edwards รุ่น EDM 12 แบบ 2 สถานะ อัตราการ สูบประมาณ 12 ลบ.ม./ชั่วโมง (รูปที่ 3.13) ซึ่งเป็นของเดิมที่นำมาปรับปรุงใช้ใหม่
- 3. ระบบวัดความคัน ประกอบด้วยมาตรวัดความคัน Balzers รุ่น TPG 300 เป็น หน่วยควบคุมและแสดงผล ซึ่งมีหัววัด 2 แบบ คือ หัววัดแบบพิรานีของ Balzers รุ่น TPR010 ซึ่ง สามารถวัดความคัน ได้ในช่วงระหว่าง 1x10⁺³ 6x10⁻⁴ mabr และ หัววัดแบบเพนนิงของ Balzers รุ่น IKR050 ซึ่งสามารถวัดความคัน ได้ในช่วงระหว่าง 5x10⁻³ 2x10⁻⁹ mbar
- 4. วาล์วและข้อต่อ สำหรับเครื่องเคลือบนี้ส่วนใหญ่จะสร้างขึ้นใหม่ทั้งหมดยกเว้น วาวล์บางตัวที่นำของที่มีอยู่เคิมมาปรับปรุงใช้ใหม่ เช่น วาล์วสุญญากาศสูง (high vacuum valves) เป็นวาล์วที่ออกแบบและสร้างขึ้นเองใหม่ซึ่งเป็นแบบเพลตวาล์ว (plate valve) (รูป 3.15) ส่วนวาล์ว ต่อระหว่างเครื่องสูบกลแบบโรตารีกับเครื่องสูบแบบแพร่ใอ วาล์วปล่อยอากาศเข้าสู่ภาชนะ สุญญากาศ (air admittance valves) ท่อสุญญากาศส่วนท้าย (backing line) ท่อสุญญากาศหยาบ (roughing line) ยกเว้นวาล์วส่วนท้ายและวาล์วหยาบ เป็นของ Edwards BRV 25 PK และวาล์วปล่อย อากาศเข้าสู่ภาชนะสุญญากาศ (venting valve) ใช้ของ Edwards รุ่น IPVA 10 EK



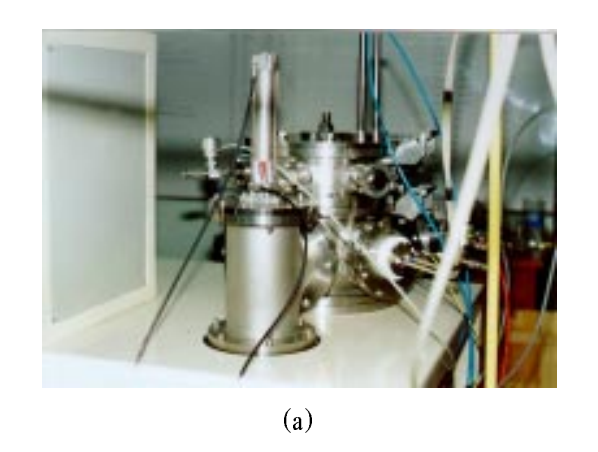
รูปที่ 3.12 เครื่องสูบแบบแพร่ใอของระบบสุญญากาศของเครื่องเคลือบ

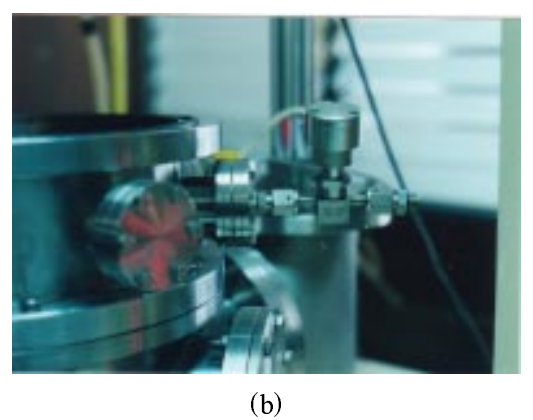


รูปที่ 3.13 เครื่องสูบกลโรตารีของระบบสุญญากาศของเครื่องเคลือบ



รูปที่ 3.14 การติดตั้งเครื่องสูบแบบแพร่ ไอและเครื่องสูบกลโรตารีของเครื่องเคลือบ





รูปที่ 3.15 วาล์วที่ออกแบบและสร้างขึ้นใช้เองในโครงการ
(a) เพลตวาล์วที่ต่อไปยังเครื่องสูบแบบแพร่ไอของเครื่องเคลือบ
(b) วาล์วปล่อยอากาศเข้าสู่ภาชนะสุญญากาศ

3.2.3 คาโทดและเป้าสารเคลือบ

คาโทดสำหรับคิดตั้งเป้าสารเคลือบที่ออกแบบและสร้างขึ้นสำหรับเครื่องเคลือบใน โครงการนี้ โครงสร้างส่วนใหญ่ทำจากเหล็กกล้าสเตนเลส (เพื่อป้องกันการเกิดสนิมจากระบบน้ำ หล่อเย็น) ยกเว้น เทฟลอนซึ่งเป็นฉนวนไฟฟ้าและแผ่นปิดหลังคาโทดซึ่งทำจากทองแดง

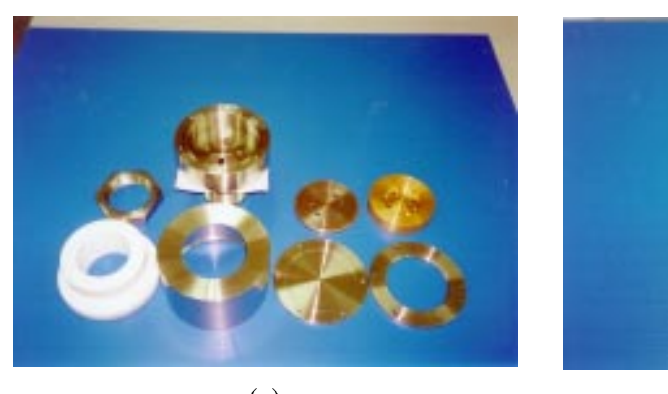
คาโทคที่ออกแบบสร้างขึ้นนั้นทำจากเหล็กกล้าสเตนเลส มีลักษณะเป็นทรงกระบอกเส้นผ่าศูนย์กลางขนาด 114.0 mm เพื่อให้เกิดการสปัตเตอร์ที่เป้าสารเคลือบเท่านั้นจึงได้ออก แบบให้มีคาโทคชีลด์ครอบตัวคาโทคไว้อีกชั้นหนึ่ง โดยคาโทคชีลด์สร้างขึ้นจากเหล็กกล้าสเตนเลส มีเส้นผ่าศูนย์กลางเท่ากับ 122.0 mm และเนื่องจากได้ออกแบบให้มีการระบายความร้อนของคาโทค และเป้าสารเคลือบด้วยน้ำ ดังนั้นเพื่อให้สามารถระบายความร้อนได้ดีและเพื่อป้องกันการรั่วซึมของ น้ำหล่อเย็นจึงออกแบบให้มีแผ่นปิดหลังติดอยู่ด้านหลังของเป้าสารเคลือบ (ด้านหน้าตลับแม่เหล็ก) ทำจากทองแดง เส้นผ่าศูนย์กลางเท่ากับ 114.0 mm โดยยึดด้วยสกรูรอบแผ่นปิดจำนวน 6 จุด สำหรับ การยึดส่วนต่างๆ (แผ่นปิด แม่เหล็ก ตัวคาโทด) ให้ติดกันโดยใช้ตัวยึด (clamp) ทำจากเหล็กกล้าสเตน เลส มีลักษณะเป็นวงแหวน เส้นผ่าศูนย์กลาง 114.0 mm และยึดด้วยสกรูขาวจำนวน 6 จุด ร้อยผ่าน แผ่นปิด แม่เหล็ก ตัวคาโทด

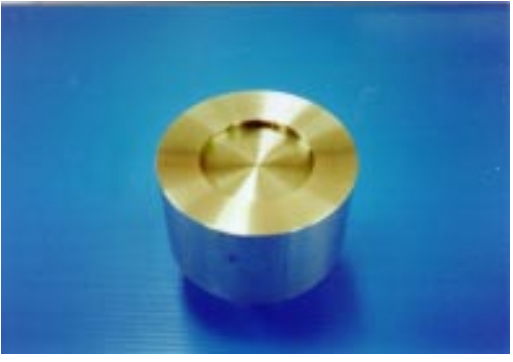
การระบายความร้อนของคา โทดและเป้าสารเคลือบ ใช้การระบายความร้อนด้วยน้ำ โดยออกแบบให้มีทางน้ำ ใหลผ่านเข้า-ออกอยู่ด้านบนของคา โทด (เส้นผ่าสูนย์กลาง 6.0 mm) โดยใช้ ท่อสายยางขนาดเส้นผ่าสูนย์กลาง 6.0 mm ยาว 8.0 m จำนวน 2 เส้น ต่อเข้าระบบน้ำหล่อเย็นซึ่งมี เครื่องสูบน้ำ (อัตราการสูบ 42 ลิตรต่อนาที) เป็นตัวทำให้เกิดการ ใหลเวียนของน้ำ

การแยกขั้วไฟฟ้า ได้ใช้เทฟลอนเป็นฉนวนไฟฟ้ากั้นระหว่างคาโทดและผนังโลหะ ของภาชนะสุญญากาศ เนื่องจากเทฟลอนมีสมบัติในการดูดซับความชื้นและโมเลกุลของแก๊สต่ำกว่า พลาสติกชนิดอื่น มีลักษณะเป็นรูปวงแหวนหนา 1 cm โดยมีตัวยึดทำจากเหล็กกล้าสเตนเลสยึดติดกับ คาโทดและฝาปิดบน

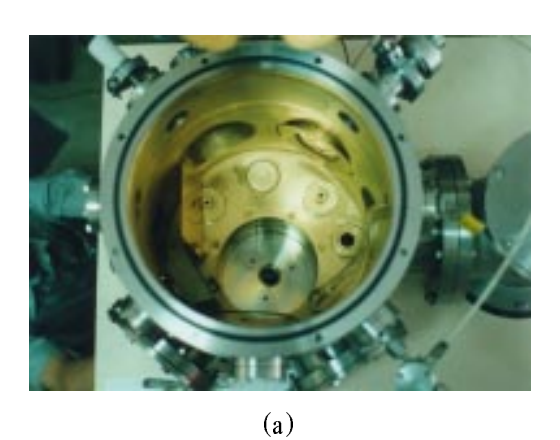
สนามแม่เหล็กของคาโทดใช้แม่เหล็กแบบ NdFeB ในการสร้างสนามแม่เหล็ก และ เพื่อให้สนามแม่เหล็กที่เกิดขึ้นมีลักษณะไม่สมมาตรจึงใช้แม่เหล็กวางทั้งที่แกนกลางของคาโทดและ รอบนอกเป็นวงแหวน โดยให้ค่าสนามแม่เหล็กวัดที่แผ่นปิดหลังบริเวณแกนกลางจะมีค่าประมาณ 1000 gauss ส่วนบริเวณวงแหวนจะมีค่าประมาณ 490 gauss

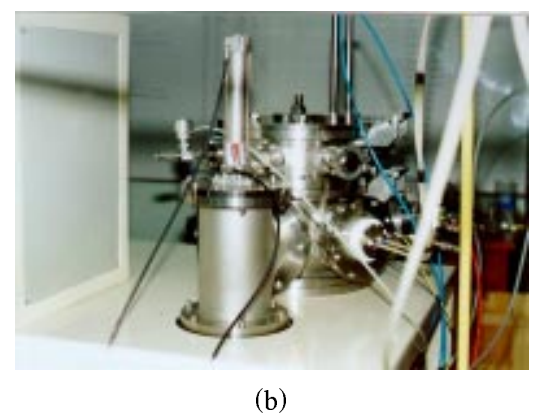
การปล่อยแก๊สอาร์กอน (สปัตเตอร์แก๊ส) ซึ่งทำหน้าที่สปัตเตอร์เป้าสารเคลือบนั้น จำเป็นจะต้องครอบคลุมและมีความสม่ำเสมอทั่วหน้าเป้าสารเคลือบ ซึ่งจะมีผลโดยตรงต่อความ สม่ำเสมอ (uniformtiy) ของฟิล์มบางที่ได้ จึงออกแบบให้มีการปล่อยแก๊สที่คาโทดชีลด์ โดยจะมีท่อ นำแก๊สจากวาล์วต่อไปยังตัวคาโทดชีล์ เพื่อให้แก๊สอาร์กอนสามารถฟุ้งกระจายอย่างสม่ำเสมอบริเวณ หน้าเป้าสารเคลือบ





รูปที่ 3.16 (a) ส่วนประกอบและชิ้นส่วนต่างๆ ของคาโทด (b) คาโทคที่ประกอบเรียบร้อยแล้ว





รูปที่ 3.17 (a) การติดตั้งคาโทคเมื่อมองจากด้านในภาชนะสุญญากาส (b) การติดตั้งคาโทดเมื่อมองจากด้านหลังเครื่องเคลือบ





รูปที่ 3.18 โกลว์ดีสชาร์จบริเวณหน้าคาโทค ขณะสปัตเตอริง

3.2.4 <u>ระบบน้ำหล่อเย็น</u>

ระบบน้ำหล่อเย็นของเครื่องเคลือบจะถูกใช้งาน 2 ส่วนหลัก คือ ใช้ในการหล่อเย็น คาโทคและเป้าสารเคลือบ และส่วนบนของเพลตวาล์วของเครื่องสูบแบบแพร่ใอ โดยระบบน้ำหล่อ เย็นที่สร้างขึ้นประกอบด้วยเครื่องทำความเย็นและถังน้ำ โดยในส่วนของเครื่องทำความเย็นประกอบ ด้วยคอมเพรสเซอร์ขนาด 746 W เครื่องควบคุมอุณหภูมิ ตัวขยาย (expander) และเครื่องควบแน่น (condenser) ประกอบด้วยแผงรังผึ้งและพัดลมสำหรับระบายความร้อนของท่อร้อน ท่อพักน้ำยา และ ตัวทำให้แห้ง (dryer) ติดล้อเลื่อนเพื่อความสะดวกในการเคลื่อนย้าย

ถึงน้ำทำด้วยสเตนเลสมีตัวถึงขนาด 32x39x32 cm³ โดยถึงน้ำเย็นจะบรรจุในส่วน บนของเครื่องทำความเย็น ด้านบนมีฝาเปิด-ปิด ที่ผนังมีท่อน้ำเย็นเชื่อมต่อกับถึงบรรจุน้ำโดยท่อน้ำ เย็นและผนังทั้ง 4 ตลอดจนด้านบนของถึงจะหุ้มด้วยโฟมซึ่งเป็นฉนวน ด้านล่างของถังมีท่อน้ำซึ่ง เชื่อมต่อกับเครื่องสูบน้ำและมีท่อน้ำทิ้งด้านบนมีท่อน้ำเข้า ท่อทุกท่อมีวาล์วสำหรับปรับอัตราการใหล ของน้ำ สามารถทำความเย็นได้ในช่วง -4°C-20°C เพื่อให้เกิดการใหลเวียนของน้ำหล่อเย็นระหว่าง บริเวณที่ต้องการหล่อเย็นกับถังระบบน้ำหล่อเย็นจึงติดตั้งป๊มน้ำขนาด 125 W 220 V 50 Hz อัตราการ ใหลน้ำหล่อเย็น 100-350 ลิตร/ชั่วโมง มีท่อลำเลียงขนาดเส้นผ่าสูนย์กลาง 6 mm



รูปที่ 3.19 ระบบน้ำหล่อเย็นของเครื่องเคลือบ

3.2.5 ระบบจ่ายไฟฟ้าแรงสูงกระแสตรง

ระบบจ่ายไฟฟ้าสำหรับระบบเคถือบที่พัฒนาขึ้นจะใช้สำหรับในส่วนการเคถือบ เท่านั้น ซึ่งจะเป็นระบบจ่ายไฟฟ้าแรงสูงกระแสตรงให้คาโทคมีศักย์เป็นลบ ส่วนกราวด์และแท่นวาง ชิ้นงานมีศักย์เป็นบวก ระบบจ่ายไฟฟ้าที่สร้างจะเป็นระบบแปลงไฟฟ้ากระแสตรงแรงสูง แบบฟูลเวฟ ระบบจ่ายไฟฟ้าแรงสูงกระแสตรง ขนาดอินพุท 220 V เอาท์พุทไฟฟ้ากระแสตรงขนาด 1-3 A มีความ ต่างศักย์ในช่วง 0-1,000 \mathbf{V} (รูปที่ 3.20-3.21)



รูปที่ 3.20 ระบบจ่ายไฟฟ้าแรงสูงกระแสตรงของเครื่องเคลือบ



รูปที่ 3.21 หม้อแปลงไฟฟ้าของระบบจ่ายไฟฟ้าแรงสูงของเครื่องเคลือบ

3.2.6 ระบบป้อนแก๊ส

แก๊สที่ใช้ในกระบวนการเคลือบจะมี 2 ชนิดคือ แก๊สอาร์กอน (Ar) สำหรับ กระบวนการสปัตเตอริง และแก๊สในโตรเจน (N_2) สำหรับกระบวนการรีแอคตีฟ โดยการป้อนแก๊ส เข้าสู่เครื่องเคลือบจะถูกควบคุมอัตราใหลอย่างละเอียดด้วยเครื่องควบคุมการปล่อยแก๊สอย่างละเอียด เป็นของ Edwards ประกอบด้วยชุดควบคุมการปล่อยแก๊สรุ่น 825 mass flow controler (รูปที่ 3.22) และชุดควบคุมและแสดงผลรุ่น 1605 multi-channel flow controller and digital display (รูปที่ 3.23)



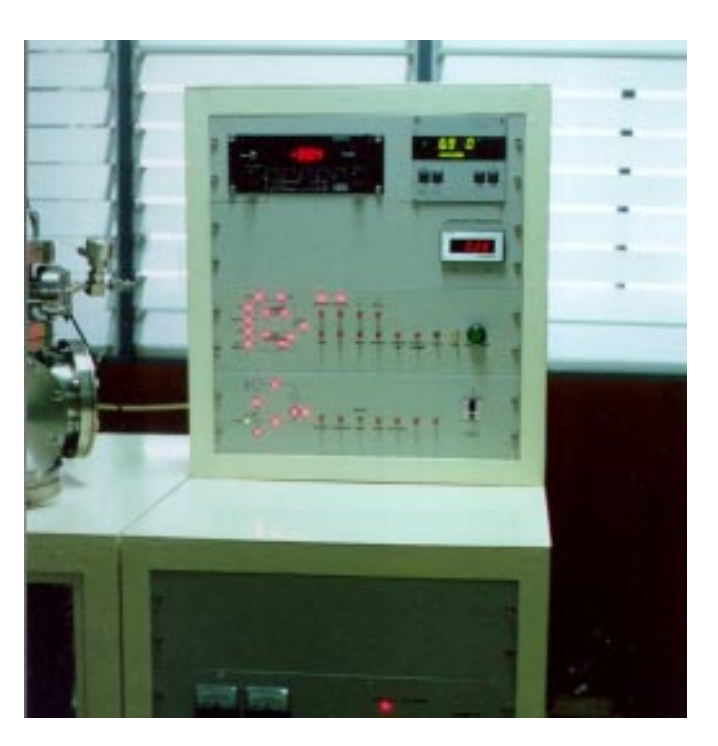
รูปที่ 3.22 ถังแก๊สและระบบป้อนแก๊สของเครื่องเคลือบ



รูปที่ 3.23 ชุดควบคุมการปล่อยแก๊ส ชุดมาตรวัดความดันและวัดอุณหภูมิ

3.2.7 ชุดควบคุมการทำงานของเครื่องเคถือบ

ชุดควบคุมการทำงานของเครื่องเคลือบ เป็นชุดสำหรับติดตั้ง สวิทช์ควบคุมการ ทำงานของเครื่องเคลือบทั้งหมด (รูปที่ 3.24-3.28) ซึ่งคณะผู้วิจัยได้ออกแบบให้เป็นระบบควบคุม แบบนูเมติกส์ทั้งหมด โดยชุดควบคุมนี้จะควบคุมระบบวาล์วต่างๆ เช่น เพลตวาล์ว วาล์วส่วนท้าย วาล์วหยาบ วาล์วปล่อยอากาสเข้า วาล์วปล่อยแก๊ส เป็นต้น นอกจากนี้ในชุดควบคุมการทำงานจะ ประกอบด้วย ชุดแสดงผลความดัน ชุดควบคุมการปล่อยแก๊สอย่างละเอียด ชุดควบคุมระบบ สุญญากาส ชุดควบคุมการเคลือบ ชุดควบคุมระบบไฟฟ้าแรงสูง



รูปที่ 3.24 ชุดควบคุมระบบการทำงานของเครื่องเคลือบ



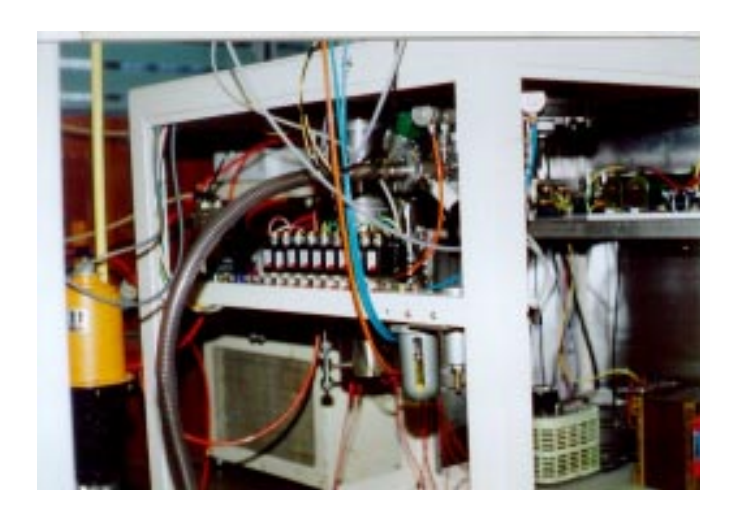
รูปที่ 3.25 ชุดควบคุมการทำงานของระบบสุญญากาศของเครื่องเคลือบ



รูปที่ 3.26 ชุดควบคุมการเคถือบของเครื่องเคถือบ



รูปที่ 3.27 การติดตั้งชุดควบคุมการทำงานของเครื่องเคลือบ



รูปที่ 3.28 การติดตั้งชุดควบคุมนูเมติกส์ของเครื่องเคลือบ



รูปที่ 3.29 ตัวอย่างอุปกรณ์ที่สร้างขึ้นใช้เองในโครงการ



รูปที่ 3.30 ขั้วไฟฟ้าสุญญากาศที่สร้างขึ้นใช้เองในโครงการ



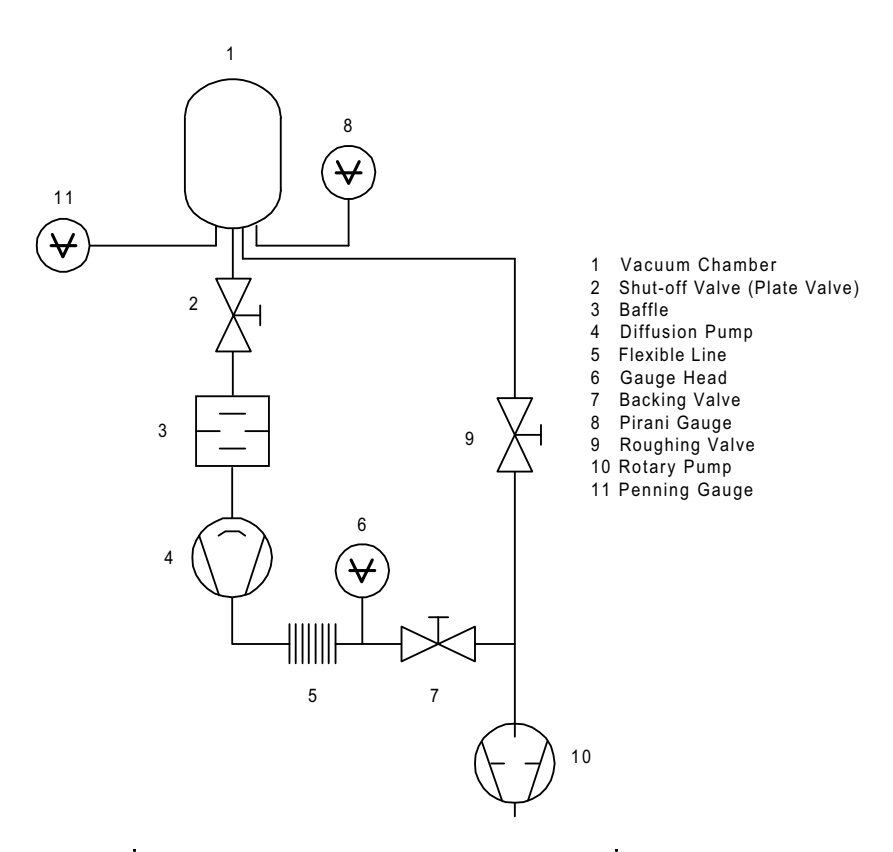
รูปที่ 3.31 ฟรีคทรูปถึ๊กที่สร้างขึ้นใช้เองในโครงการ

3.3 การทดสอบระบบสุญญากาศของเครื่องเคลื่อบ

เมื่อประกอบเครื่องเคลือบเรียบร้อยแล้วจำเป็นต้องทคสอบความสามารถด้านสุญญากาศ ของเครื่องเคลือบก่อน ซึ่งจะทคสอบหาความคันต่ำสุดของระบบเคลือบก่อนทำการเคลือบเพื่อดูความ สามารถของเครื่องเคลือบด้านสุญญากาศ

ระบบสุญญากาศของเครื่องเคลือบในโครงการนี้ ประกอบด้วยเครื่องสูบสุญญากาศ 2 ชนิด คือ เครื่องสูบกลแบบโรตารี และ เครื่องสูบแบบแพร่ไอ โดยต่อเข้ากับภาชนะสุญญากาศตาม แผนภาพระบบสุญญากาศของเครื่องเคลือบดังแสดงในรูปที่ 3.32 โดยเครื่องสูบกลโรตารีที่ใช้จะ สามารถทำให้ความดันภายในภาชนะสุญญากาศลดจากความดันปกติเป็นความดันต่ำถึง 10⁻³ mbar ซึ่ง สามารถอ่านความดันได้จากหัววัดแบบพิรานี ส่วนเครื่องสูบแบบแพร่ไอจะสามารถลดความดันได้ 10^{-3} - 10^{-6} mbar และสามารถอ่านค่าความดันได้จากหัววัดแบบเพนนิง

การทดสอบนี้ได้ทดสอบการสร้างสภาวะสุญญากาศภายในภาชนะสุญญากาศโดยใช้ เครื่องสูบแบบแพร่ไอที่สร้างขึ้นเอง ซึ่งมีอัตราการสูบประมาณ 280 l/s ใช้ร่วมกับเครื่องสูบกลโรตารี ของ Edwards รุ่น EDM12A (2 state) มีอัตราการสูบประมาณ 12 m³/hr แบ่งการทดสอบเป็น 2 ตอน คือ การสร้างภาวะสุญญากาศในภาชนะสุญญากาศเมื่อใช้เฉพาะเครื่องสูบกลโรตารี และ การสร้าง ภาวะสุญญากาศในภาชนะสุญญากาศเมื่อใช้เครื่องสูบแบบแพร่ไอ ซึ่งมีผลดังนี้คือ

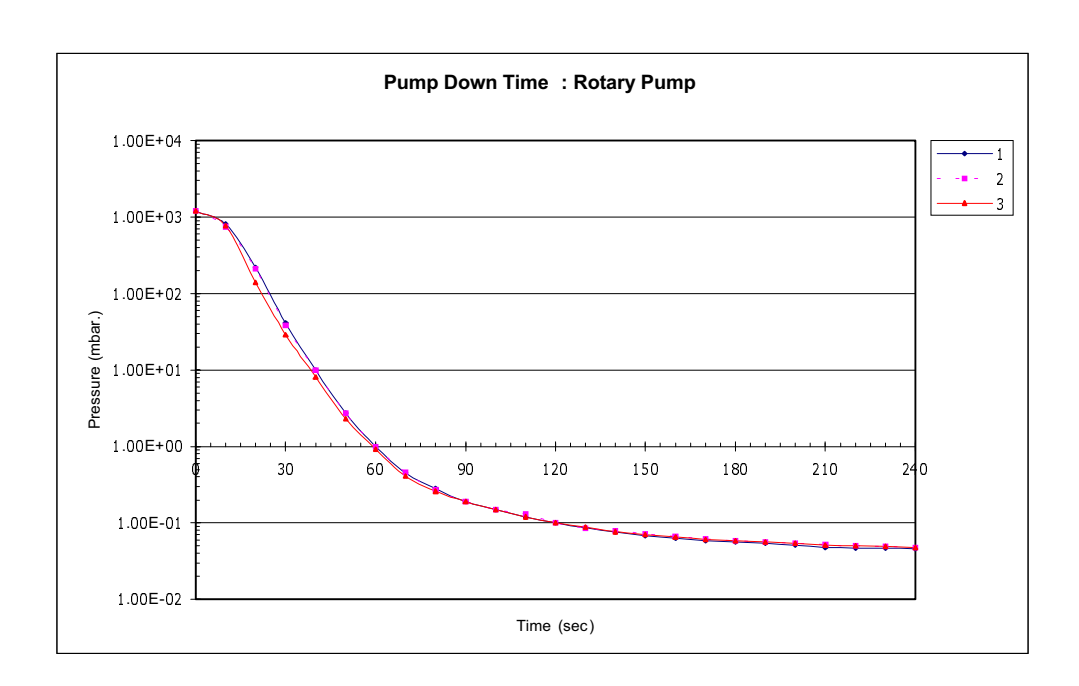


รูปที่ 3.32 แผนภาพของระบบสุญญากาศของเครื่องเคลือบ

3.3.1 ความคันต่ำสุดของเครื่องเคลือบเมื่อใช้เฉพาะเครื่องสุบกลโรตารี

- วัตถุประสงค์
 เพื่อหาความดันต่ำสุดเครื่องเคลือบเมื่อใช้เฉพาะเครื่องสูบกลโรตารี
- 2) วิธีทดลอง
- 1. เริ่มจากการตรวจสอบเครื่องเคลือบ ฝาปิดและวาล์วว่าปิดเรียบร้อยหรือไม่ บันทึกความดันภายในภาชนะสุญญากาศก่อนทดลองเป็นค่าเริ่มต้น
- 2. เปิดเครื่องสูบกลโรตารี เปิดวาล์วหยาบ (ปิดวาล์ท้าย) เพื่อสูบอากาศจาก ภาชนะสุญญากาศ บันทึกความดันภายในภาชนะสุญญากาศทุก 10 วินาที จนความดันภายในภาชนะ สุญญากาศคงที่
 - 3. นำข้อมูลที่ได้ไปเขียนกราฟระหว่างความคันกับเวลา
 - 3) ผลและอภิปรายผล

เมื่อใช้เฉพาะเครื่องสูบกลโรตารี พบว่าเมื่อใช้เครื่องสูบกลโรตารีสูบอากาศออก จากภาชนะสุญญากาศที่สร้างขึ้นสามารถลดความคันภายในภาชนะสุญญากาศจาก $1.2 ext{x} 10^{+3} ext{ mbar}$ เป็น $1.0 ext{x} 10^{+0} ext{ mbar}$ ในเวลาประมาณ 1 นาที และสามารถลดความคันภายในภาชนะสุญญากาศได้ ประมาณ $5.7 ext{x} 10^{-2} ext{ mbar}$ ในเวลาประมาณ 3 นาที ซึ่งเพียงพอสำหรับการทำสปัตเตอริงได้ (แต่จะได้ ฟิล์มบางที่คุณภาพไม่ดี เนื่องจากระบบยังไม่สะอาคเพียงพอ)



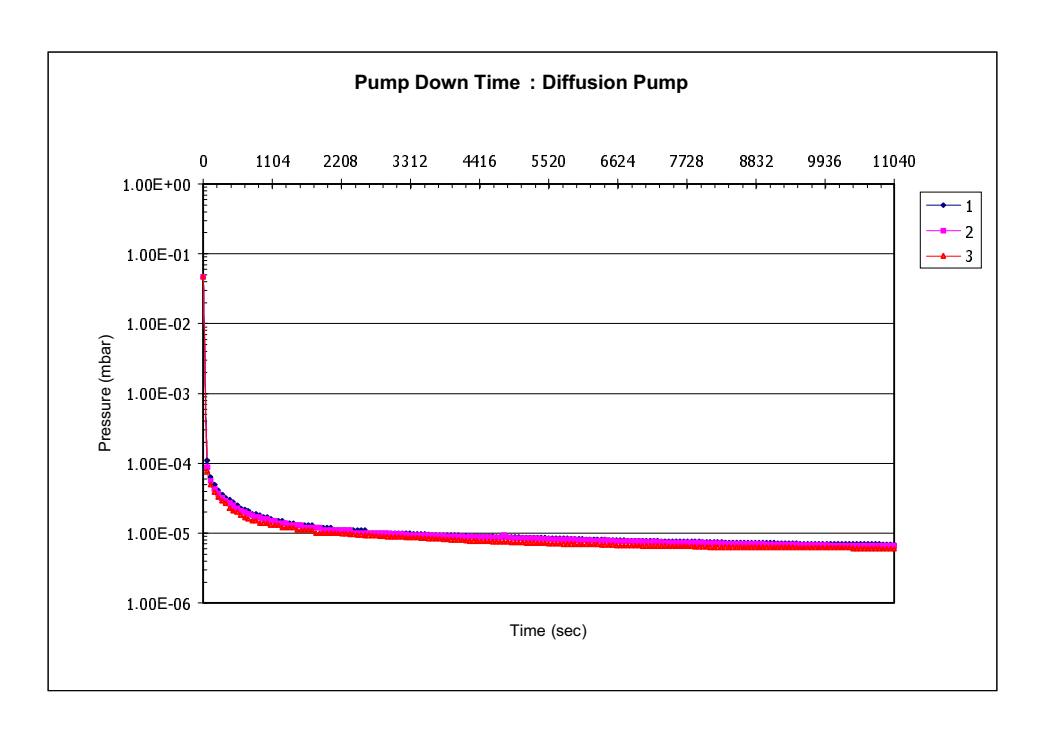
รูปที่ 3.33 ผลการทคสอบระบบสุญญากาศของเครื่องเคลือบเมื่อใช้เฉพาะเครื่องสูบกลโรตารี

3.3.2 ความคันต่ำสุดของเครื่องเคถือบเมื่อใช้เครื่องสุบแบบแพร่ไอ

- วัตถุประสงค์
 เพื่อหาความดันต่ำสุดเครื่องเคลือบเมื่อใช้เฉพาะเครื่องสูบแบบแพร่ไอ
- 2) วิธีทดลอง
 - 1. ตรวจสอบเครื่องเคลือบ ฝาปีคและวาล์วว่าปีคเรียบร้อยหรือไม่
 - 2. ต้มน้ำมันของเครื่องสูบแบบแพร่ไอ
 - 3. เปิดเครื่องสูบกลโรตารีเพื่อสร้างภาวะสุญญากาสขั้นต้น
- 4. รองนความดันภายในภาชนะสุญญากาศลดต่ำถึงประมาณ 10⁻² mbar จึงปิด วาล์หยาบบันทึกความดันขณะนั้นเป็นค่าเริ่มต้น
- 5. เปิดวาล์วท้าย เพื่อให้เครื่องสูบแบบแพร่ไอทำงานต่อเนื่องกับเครื่องสูบกลโร ตารี เปิดเพลทวาล์ว เพื่อลดความคันภายในภาชนะสุญญากาศ บันทึกความคันภายในภาชนะ สุญญากาศทุก 10 วินาที จนความคันภายในภาชนะสุญญากาศคงที่
 - 6. นำข้อมูลที่ได้ไปเขียนกราฟระหว่างความคันกับเวลา
 - 3) ผลและอภิปรายผล

เมื่อใช้เครื่องสูบแบบแพร่ไอ พบว่าระบบสุญญากาศที่สร้างขึ้นนั้นสามารถลด ความคันภายในภาชนะสุญญากาศจาก 4.7x10⁻² mbar เป็น 1.5x10⁻³ mbar ในเวลาประมาณ 13 นาที (ตั้งแต่เปิดเพลตวาวล์ว) และสามารถลดความคันภายในภาชนะสุญญากาศได้ถึง 9.0x10⁻⁶ mbar ในเวลาประมาณ 48 นาที และถ้าสูบอากาศต่อไปจะสามารถลดความคันภายในภาชนะสุญญากาศลงไป ได้ถึง 6.0x10⁻⁶ mbar ในเวลา 3 ชั่วโมง (180 นาที)

จากผลการทดสอบระบบสุญญากาศข้างค้นจะเห็นว่าระบบสุญญากาศที่ออก แบบสร้างขึ้นในโครงการนี้มีประสิทธิภาพที่ดี พิจารณาจากเวลาในการสูบอากาศ จะเห็นได้ในเวลา ไม่เกิน 3 นาที เราก็สามารถจะทำความคันเบื้องค้นสำหรับให้เครื่องสูบแบบแพร่ไอทำงานต่อได้ทันที และหลังจากที่เปิดเพลตวาวล์แล้วพบว่าในเวลาประมาณ 48 นาที ความคันภายในภาชนะสุญญากาศ จะอยู่ที่ 9.0x10 mbar ซึ่งจัดว่าเป็นความคันที่ต่ำมากและเพียงพอต่อการทำงานแล้ว ทั้งนี้หาก พิจารณาตั้งแต่เปิดเครื่อง (เริ่มสูบอากาศด้วยเครื่องสูบกลโรตารี) พบว่าในการเตรียมเครื่องครั้งแรก ก่อนใช้งานใช้เวลาประมาณ 50 นาที ระบบก็พร้อมที่จะทำงานได้แล้วส่วนการทำงานครั้งต่อไปจะใช้ เวลาสั้นลง โดยค้องการความคันต่ำสุดประมาณ 5.0x10 mbar จะใช้เวลาประมาณ 2 นาที แต่ถ้า ต้องการความคันต่ำสุดประมาณ 3.0x10 mbar จะใช้เวลาประมาณ 5 นาที และถ้าต้องการความคันต่ำ สุดประมาณ 1.0x10 mbar จะใช้เวลาประมาณ 3 นาที



รูปที่ 3.34 ผลการทดสอบความดันต่ำสุดของเครื่องเคลือบเมื่อใช้เครื่องสูบแบบแพร่ไอ

3.4 การทดสอบการเคลือบฟิล์มบาง

เมื่อประกอบเครื่องเคลือบแล้ว นอกจากการทดสอบด้านสุญญากาศของเครื่องเคลือบแล้ว ข้อมูลอีกส่วนหนึ่งที่จำเป็นคือ เครื่องเคลือบนี้สามารถเคลือบฟิล์มได้ตามต้องการหรือไม่ การศึกษา ส่วนนี้เป็นการทดสอบว่าเครื่องเคลือบที่สร้างขึ้นสามารถทำงานหรือไม่ ซึ่งมีผลการศึกษาดังนี้

- วัตถุประสงค์
 เพื่อทดสอบว่าเครื่องเคลือบสร้างขึ้นสามารถเคลือบฟิล์มได้หรือไม่
- 2) วิธีทคลอง
 - 1. ติดตั้งเป้าสารเคลือบ (ทอง) ที่คาโทด
 - 2. ปรับแท่นวางวัสดุรองรับให้ห่างจากหน้าเป้าสารเคลือบ 10 cm
 - 3. นำกระจกปิดสไลด์ไปวางไว้ในภาชนะสุญญากาศปิดฝาภาชนะสุญญากาศ
 - 4. สร้างภาวะสุญญากาศให้ได้ความดันต่ำสุดประมาณ 5.0x10⁻⁵ mbar
- 5. ป้อนแก๊สอาร์กอนเข้าสู่ภาชนะสุญญากาศให้ความคันภายในภาชนะสุญญากาศ ประมาณ $3.0 \mathrm{x} 10^{-3}~\mathrm{mbar}$
 - 6. ทำการเคลือบ เป็นเวลา 5 นาที่ ขณะเคลือบสังเกตสีของโกลว์ดีสชาร์จด้วย
 - 7. ทคสอบฟิล์มบางที่ได้โดยการเช็ดถูกและขูดด้วยเล็บ
 - 8. ทำการทดลองซ้ำโดยเปลี่ยนเป้าสารเคลือบเป็นไททาเนียม

3) ผลและอภิปรายผล

จากผลศึกษาพบว่าขณะเคลือบสีโกลว์ที่เป้าทองคำมีสีฟ้าอมส้ม ส่วนไททาเนียมจะมีสี ฟ้าขาว โดยผลการเคลือบฟิล์มบางที่ได้เป็นที่น่าพอใจทั้งฟิล์มบางทองและฟิล์มบางไททาเนียม เมื่อ สังเกตด้วยสายตาพบว่าฟิล์มบางที่ได้มีสีที่แวววาว ซึ่งเป็นสีของเป้าสารเคลือบ ไม่ปรากฏสภาพหมอง คล้ำของฟิล์มบาง และเมื่อทดลองการยึดติดของฟิล์มโดยการเช็ดถูด้วยนิ้วมือและขูดด้วยเล็บ พบว่าทั้ง การเช็ดถูกและขูดด้วยเล็บไม่สามารถทำให้ฟิล์มที่ได้หลุดออก และเมื่อปล่อยทิ้งไว้ในอากาศพบว่า ฟิล์มที่ได้จะยังคงสภาพเหมือนเดิม

จากผลการทดลองสรุปได้ว่า เครื่องเคลือบที่ออกแบบสร้างขึ้นในโครงการนี้สามารถ เคลือบฟิล์มบางของทองและไททาเนียมได้ โดยผลการเคลือบฟิล์มบางที่ได้เป็นที่น่าพอใจทั้งฟิล์มบาง ทองและฟิล์มบางไททาเนียม

ตารางที่ 3.1 ผลการเคลือบฟิล์มบางที่เคลือบได้จากเครื่องต้นแบบที่สร้างขึ้น

เป้าสารเคลื่อบ	สีโกลว์ที่เป้า	สีและลักษณะของฟิล์มบาง	การยึดติดของฟิล์มบาง
ทอง(Au)	ฟ้าอมส้ม	สีเหลืองทอง/มันเงา	เช็คถูไม่หลุค ทิ้งไว้ไม่เปลี่ยนแปลง
ไททาเนียม(Ti)	ฟ้าขาว	สึเงิน/มันเงา	เช็คถูไม่หลุค ทิ้งไว้ไม่เปลี่ยนแปลง



รูปที่ 3.35 ฟิล์มบางทองและฟิล์มบางไททาเนียมที่เคลือบได้

3.5 การทดสอบ แมกนีตรอน คาโทดของเครื่องเคลือบ

ส่วนประกอบสำคัญอีกชิ้นหนึ่งของเครื่องเคลือบคือ แมกนีตรอนคาโทดของเครื่องเคลือบ ซึ่งในโครงการนี้ได้ออกแบบให้เป็นแบบ อันบาลานซ์ แมกนีตรอน คาโทด (unbalance magnetron cathode) สำหรับหน้าที่สำคัญของคาโทดของเครื่องเคลือบ คือ สำหรับติดตั้งเป้าสารเคลือบที่ต้องการ เคลือบ และจะเป็นขั้วไฟฟ้าหนึ่งที่ทำให้เกิดโกลว์ดิสชาร์จเพื่อทำการสปัตเตอร์เป้าสารเคลือบ

การทดสอบแมกนี้ตรอน คาโทด ของเครื่องเคลือบจะประกอบด้วย การหาความสัมพันธ์ ระหว่างกระแสและความต่างศักย์ของคาโทด การทดสอบหาระยะห่างระหว่างเป้าสารเคลือบและวัสดุ รองรับที่มีการกระจายตัวของสารเคลือบดีที่สุด การทดสอบความสม่ำเสมอของการกระจายตัวของ สารเคลือบ และการหาอัตราเคลือบของเครื่องเคลือบ ซึ่งมีผลการทดสอบมีดังนี้

3.5.1 ความสัมพันธ์ระหว่างกระแสและความต่างสักย์แมกนีตรอน คาโทด

- วัตถุประสงค์
 เพื่อหาความสัมพันธ์ระหว่างกระแสและความต่างศักย์แมกนีตรอน คาโทด
- 2) วิธีทดลอง
 - 1. ติดตั้งเป้าสารเคลือบ (ทองแดง) ที่คาโทด
 - 2. สร้างสุญญากาศในภาชนะสุญญากาศให้ได้ความดันต่ำสุด $5.0 \mathrm{x} 10^{-5}~\mathrm{mbar}$
- 3. ป้อนแก๊สอาร์กอนเข้าสู่ภาชนะสุญญากาศ โดยควบคุมให้ความดันภายใน ภาชนะสุญญากาศคงที่ ที่ประมาณ $3.0\mathrm{x}10^{-3}~\mathrm{mbar}$
- 4. เปิดแหล่งจ่ายไฟฟ้าและเพิ่มความต่างศักย์จนเกิดโกลว์ดิสชาร์จ บันทึกความ ต่างศักย์และกระแสเป็นค่าเริ่มต้น
- 5. ลดความต่างศักย์ลงครั้งละ 10 V และบันทึกกระแสที่ใต้ จนกระบวนการ โกลว์ดิสชาร์จหยุดลง
 - 6. นำข้อมูลที่ได้ไปเขียนกราฟความสัมพันธ์ระหว่างกระแสและความต่างศักย์
 - 7. คำนวณหาค่า k และ n ตามสมการ $I=kV^n$
- 8. ทำการทดลองซ้ำตามข้อ 2 ถึง ข้อ 7 โดยเปลี่ยนความดันภายในระบบขณะ ทดลองเป็น $3.0 \mathrm{x} 10^{-3}$, $4.0 \mathrm{x} 10^{-3}$, $5.0 \mathrm{x} 10^{-3}$ และ $6.0 \mathrm{x} 10^{-3}$ mbar ลำดับ
 - 9. เปลี่ยนเป้าสารเคลือบเป็นไททาเนียมและทำการทคลองซ้ำตามข้อ 2 ถึง ข้อ 8

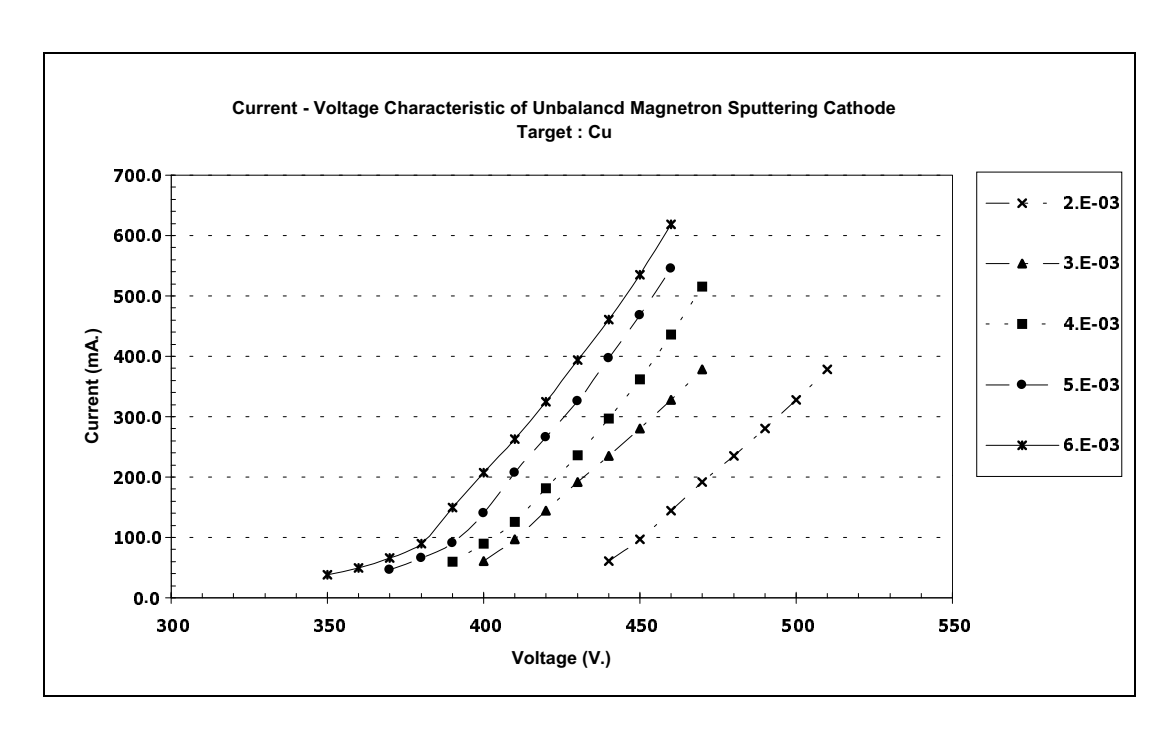
3) ผลและอภิปรายผล

ความสัมพันธ์ระหว่างกระแสและความต่างศักย์ของระบบสปัตเตอริงแสดงถึง ประสิทธิภาพของการเกิดไอออไนเซชั่นของระบบ โดยสภาพการคิสชาร์จในระบบแมกนี้ตรอนที่จัด ไว้อย่างมีประสิทธิภาพจะมีความสัมพันธ์ของกระแสและแรงคันคิสชาร์จตามสมการ I= $\mathbf{kV}^{\mathtt{n}}$ โดยค่า \mathbf{n} จะขึ้นกับความเข้มของสนามแม่เหล็กและการจัดรปร่างของแนวสนามแม่เหล็ก และ k คือค่าคงที่ของ ความสัมพันธ์ ทั้งนี้การเปลี่ยนแปลงของกระแสในช่วงกว้างจะมีผลต่อการเปลี่ยนแปลงของความต่าง ์ สักย์ดิสชาร์จเพียงเล็กน้อยเท่านั้น

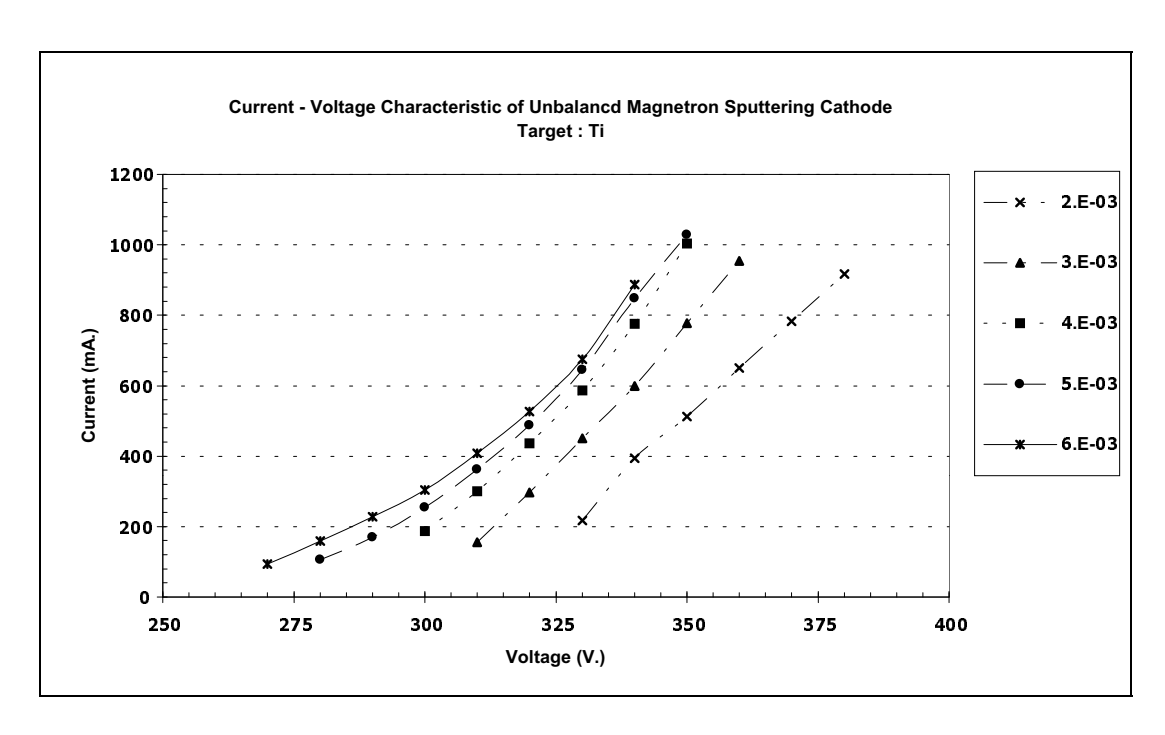
จากการศึกษาความสัมพันธ์ระหว่างกระแสและความต่างศักย์ของระบบที่ความ ้ ดันต่างๆ เมื่อใช้ไททาเนียมและทองแคงเป็นเป้าสารเคลือบพบว่าเมื่อกระแสไฟฟ้ามีค่าสูงขึ้นพบว่า ความชั้นกราฟจะเปลี่ยนค่าไป (รูปที่ 3.36-3.37) ทั้งนี้เนื่องจากขณะที่กระแสไฟฟ้ามีค่าสูงขึ้นนั้น ปริมาณไอออนของแก๊สจะถูกจำกัดด้วยความดันแก๊สในระบบ ซึ่งทำให้การผลิตอิเล็กตรอนและ ใอออนถูกจำกัดตามไปด้วย ดังนั้นโวลเตจของคาโทคจึงต้องสูงขึ้นเพื่อเร่งใอออนให้ชนคาโทคด้วย พลังงานที่สูงขึ้นสำหรับสร้างอิเล็กตรอนชุดที่สองเพิ่มขึ้น ทำให้เกิดการเบนโค้งของกราฟดังแสดงใน รูปที่ 3.36-3.37 โดยค่า k และ ค่า n ของระบบเคลือบที่ความคันต่างๆ สำหรับเป้าสารเคลือบทั้ง 2 ชนิด ดังแสดงในตารางที่ 3.2

ตารางที่ 3.2 ค่า k และ ค่า n ของเครื่องเคลือบที่ความคันต่างๆ

เป้าสารเคลือบ	ความดัน (mbar)	k	n
ทองแดง	2x10 ⁻³	1.81E-30	11.96
	3x10 ⁻³	3.46E-28	11.27
	4x10 ⁻³	2.10E-20	12.05
	5x10 ⁻³	8.43E-29	11.60
	6x10 ⁻³	1.64E-15	10.68
ใททาเนียม	2x10 ⁻³	1.13E-22	9.67
	$3x10^{-3}$	1.2E-27	11.72
	4x10 ⁻³	6.24E-25	10.70
	5x10 ⁻³	1.81E-23	10.14
	6x10 ⁻³	1.99E-21	9.35



รูปที่ 3.36 ความสัมพันธ์ระหว่างกระแสและความต่างศักย์ ที่ความคันต่างๆ เมื่อใช้ทองแคงเป็นเป้าสารเคลือบ



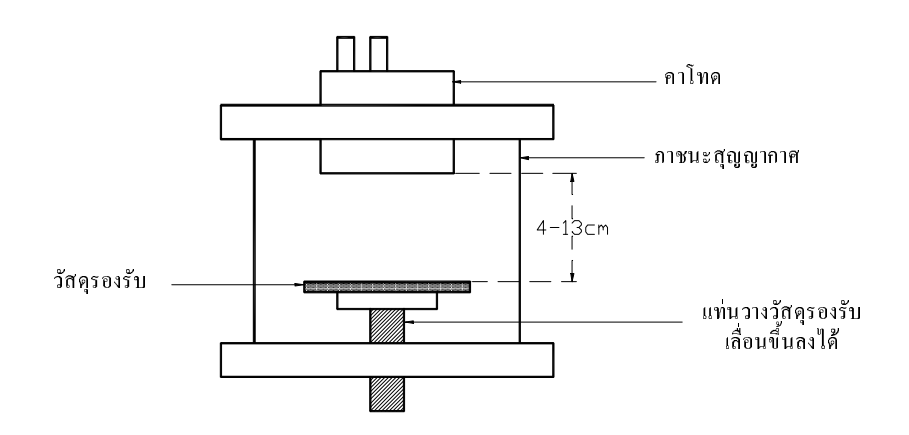
รูปที่ 3.37 ความสัมพันธ์ระหว่างกระแสและความต่างศักย์ ที่ความดันต่างๆ เมื่อใช้ไททาเนียมเป็นเป้าสารเคลือบ

3.5.2 การทดสอบหาระยะที่มีการกระจายตัวของสารเคลือบดีที่สุด

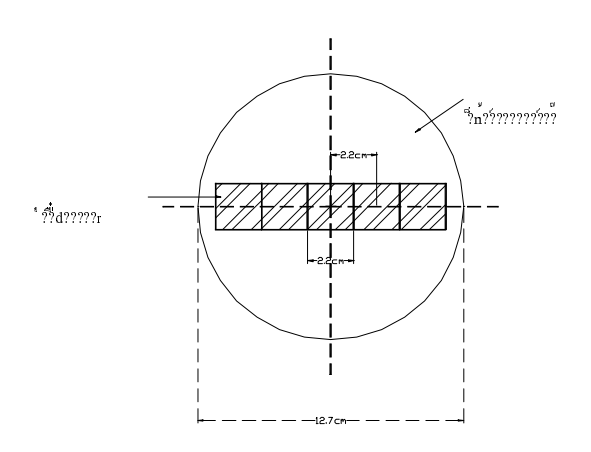
1) วัตถุประสงค์

เพื่อหาระยะห่างระหว่างเป้าสารเคลือบและวัสดุรองรับที่มีการกระจายตัวของ สารเคลือบดีที่สุด

- 2) วิธีทดลอง
 - 1. ติดตั้งเป้าสารเคลือบ (ทองแดง) ที่คาโทด
- 2. ชั่งวัสคุรองรับ (กระจกปิดสไถด์ ขนาด 2.2x2.2 cm²) บันทึกเป็นมวถก่อน เคลือบ (จำนวน 5 แผ่น)
 - 3. ปรับแท่นวางวัสดุรองรับให้ห่างจากหน้าเป้าสารเคลือบ 8.0 cm (รูปที่ 3.38)
- 4. นำกระจกปิดสไลด์ วางบนแท่นรองรับ ในภาชนะสุญญากาศ โดยจัดให้จุด ศูนย์กลางของกระจกปิดสไลด์ชิ้นแรกตรงกับจุดศูนย์กลางของคาโทด (ให้เป็นตำแหน่งศูนย์) จากนั้น วางชิ้นต่อไปให้ติดกันด้านซ้ายและขวาของชิ้นแรก ดังแสดงในรูปที่ 3.39 ปิดฝาภาชนะสุญญากาศ



รูปที่ 3.38 แผนภาพภาชนะสุญญากาศของเครื่องเคลือบและการวางวัสดุรองรับ



รูปที่ 3.39 การวางกระจกปิดสไลด์เพื่อหาการกระจายตัวของสารเคลือบ

- 5. สร้างภาวะสุญญากาศในภาชนะสุญญากาศโดยให้ได้ความดันต่ำสุดประมาณ 5.0x10⁻⁵ mbar
- 6. ป้อนแก๊สอาร์กอนเข้าสู่ภาชนะสุญญากาศให้ความคันภายในภาชนะ สุญญากาศประมาณ 3.0x10⁻³ mbar
- 7. เปิดแหล่งจ่ายไฟเพื่อเคลือบกระจกปิดสไลด์ เป็นเวลา 10 นาที จึงหยุดเคลือบ นำกระจกปิดสไลด์ออกจากภาชนะสุญญากาศ
 - 8. ชั่งกระจกปิคสไลด์ที่เคลือบฟิล์มทองแคงแล้วบันทึกเป็นมวลหลังเคลือบ
 - 9. นำมวลของฟิล์มทองแดงที่เคลือบได้ ไปหาความหนาตามสมการ

$$d = \frac{\Delta m}{\rho_B A} \qquad \dots \dots (3.1)$$

เมื่อ d คือความหนาของฟิล์มบางทองแดง

คือผลต่างของมวลก่อนและหลังการเคลื่อบ Δm

คือความหนาแน่นของทองแดง ($8.93~{
m g/cm}^3$) $\rho_{\scriptscriptstyle \mathrm{B}}$

คือพื้นที่ของกระจกปิดสไลด์ (ขนาด 2.2x2.2 cm²) A

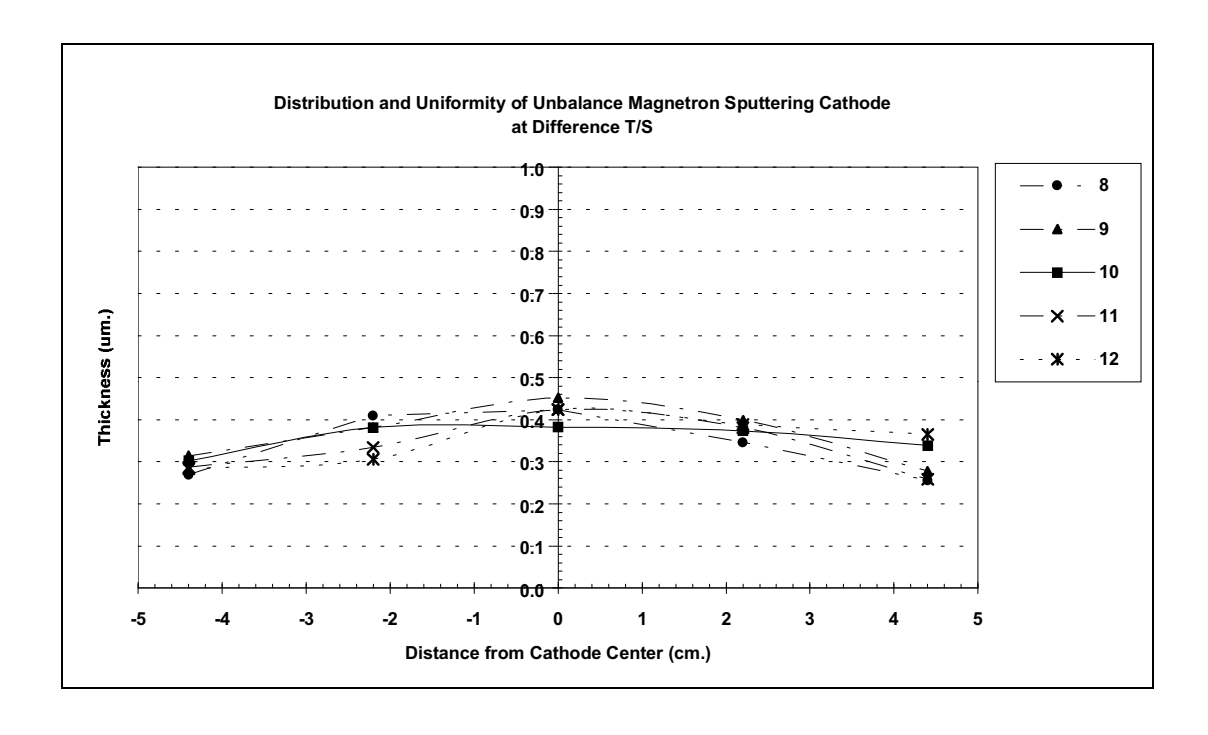
- 10. ทำการทดลองซ้ำตั้งแต่ข้อ 2 ถึง ข้อ 9 ด้วยกระจกปิดสไลด์ชุดใหม่ โดยแต่ ละครั้งจะเพิ่มระยะห่างระหว่างเป้าสารเคลือบกับวัสดรองรับขึ้น 1.0 cm (จึงถึง 12.0 cm)
- 11. นำข้อมูลความหนาของกระจกปิดสไลด์ที่ระยะห่างจากจุดศูนย์กลางคาโทด ต่างกัน (แต่ละชุดที่ระยะระหว่างเป้าสารเคลือบกับวัสดุรองรับต่างกัน) ที่ได้ไปเขียนกราฟระหว่าง ความหนากับระยะห่างจากจุดศูนย์กลางคาโทด

3) ผลและอภิปรายผล

สมบัติสำคัญอีกอย่างหนึ่งของฟิล์มบางคือความสม่ำเสมอของฟิล์มบาง ซึ่งเป็น ผลจากความสม่ำเสมอของเครื่องเคลือบ ในการศึกษานี้ได้ทดสอบการกระจายตัวของสารเคลือบบน วัสดุรองรับ (กระจกปิดสไลด์) ด้วยการเคลือบฟิล์มบางทองแดงบนกระจกปิดสไลด์ ที่ระยะห่าง ระหว่างเป้าสารเคลือบกับวัสดุรองรับ ตั้งแต่ 8.0-12.0 cm นำความหนาของฟิล์มบางที่ได้ที่ตำแหน่ง ต่างๆ ของระยะห่างระหว่างเป้าสารเคลือบกับวัสดุรองรับต่างๆ กัน มาเขียนกราฟ

จากผลการศึกษาพบว่าลักษณะการกระจายตัวของสารเคลือบที่ตกเคลือบบน วัสดุรองรับจะมีลักษณะเป็นวงกลม (ตามลักษณะของเป้าสารเคลือบ) โดยความหนาของฟิล์มที่จุดกึ่ง กลางของแท่นวางจะมีความหนามากที่สุดและลดลงเมื่อระยะห่างจากจุดกึ่งกลางเพิ่มขึ้น จึงอาจกล่าว ได้ว่าการกระจายตัวของสารเคลือบมีลักษณะการกระจายตัวเป็นแบบวงกลม (มีสมมาตรในแนวรัสมี) เมื่อพิจารณาความหนาของฟิล์มที่ตำแหน่งต่างๆ จากจุดสูนย์กลางคาโทดพบว่าฟิล์มจะหนามากที่สุด บริเวณจุดสูนย์กลางคาโทดและเบาบางลงตามแนวรัสมี

ลักษณะการกระจายตัวของสารเคลือบนี้จะเปลี่ยนแปลงไปตามระยะห่าง ระหว่างเป้าสารเคลือบกับวัสดุรองรับ ซึ่งจากผลการทดลองสรุปได้ว่าระยะห่างระหว่างเป้าสารเคลือบ กับวัสดุรองรับที่มีการกระจายตัวดีที่สุด (คือมีความหนาใกล้เคียงกัน) คือที่ระยะห่างระหว่างเป้าสาร เคลือบกับวัสดุรองรับเท่ากับ 10.0 cm โดยมีพื้นที่ที่มีความสม่ำเสมอ (หรือหนาใกล้เคียงกัน) ที่บริเวณ จุดกึ่งกลางของแท่นวางวัสดุรองรรับ ประมาณ 4.4x4.4 cm² (รูปที่ 3.40)



รูปที่ 3.40 ลักษณะการกระจายตัวของสารเคลือบที่ระยะระหว่างเป้าสารเคลือบกับวัสดุรองรับต่างๆ

3.5.3 การทดสอบการกระจายตัวของสารเคลื่อบ

1) วัตถุประสงค์

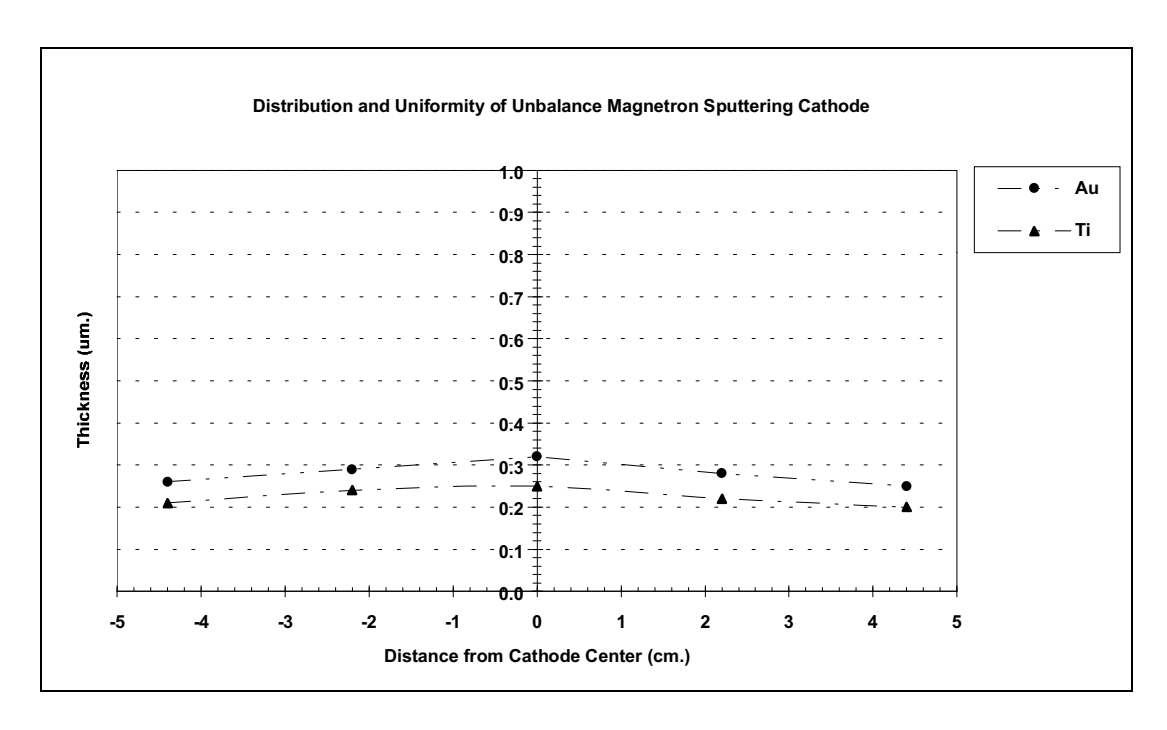
เพื่อหาทคสอบความสม่ำเสมอของการกระจายตัวของสารเคถือบเมื่อเคถือบด้วย ทองและไททาเนียม

- 2) วิธีทดลอง
 - 1. ติดตั้งเป้าสารเคลือบ (ทอง) ที่คาโทด
- 2. ชั่งวัสคุรองรับ (กระจกปิดสไกด์ ขนาด 2.2x2.2 cm²) บันทึกเป็นมวกก่อน เคลือบ (จำนวน 5 แผ่น)
 - 3. ปรับแท่นวางวัสคุรองรับให้ห่างจากหน้าเป้าสารเคลือบ 10.0 cm
- 4. นำกระจกปิดสไถด์ วางบนแท่นรองรับห่างจากเป้าสารเคลือบในภาชนะ สุญญากาศ โดยจัดให้จุดศูนย์กลางของกระจกปิดสไถด์ชิ้นแรกตรงกับจุดศูนย์กลางของคาโทด (ให้ เป็นตำแหน่งศูนย์) จากนั้นวางชิ้นต่อไปให้ติดกันด้านซ้ายและขวาของชิ้นแรก ดังแสดงในรูปที่ 3.39 ปิดฝาภาชนะสุญญากาศ
- 5. สร้างภาวะสุญญากาศในภาชนะสุญญากาศโดยให้ได้ความคันต่ำสุดประมาณ $5.0 \mathrm{x} 10^{-5}~\mathrm{mbar}$
- 6. ป้อนแก๊สอาร์กอนเข้าสู่ภาชนะสุญญากาศให้ความคันภายในภาชนะ สุญญากาศประมาณ 3.0x10⁻³ mbar
- 7. เปิดแหล่งจ่ายไฟเพื่อเคลือบกระจกปิดสไลด์ เป็นเวลา 10 นาที จึงหยุดเคลือบ นำกระจกปิดสไลด์ออกจากภาชนะสุญญากาศ
 - 8. ชั่งกระจกปิดสไลด์ที่เคลือบฟิล์มทองแล้วบันทึกเป็นมวลหลังเคลือบ
 - 9. นำมวลของฟิล์มทองที่เคลือบได้ ไปหาความหนาตามสมการ (3.1)
- 10. นำข้อมูลความหนาที่ระยะห่างจากจุดศูนย์กลางคาโทดต่างกันที่ได้ไปเขียน กราฟระหว่างความหนากับระยะห่างจากจุดศูนย์กลางคาโทด
 - 11. ทำการทดลองซ้ำตาม ข้อ 1 ถึง ข้อ 10 แต่เปลี่ยนเป้าเป็นไททาเนียม
 - 2) ผลและอภิปรายผล

จากผลการศึกษาพบว่าลักษณะการกระจายตัวของสารเคลือบที่ตกเคลือบบน วัสดุรองรับจากเป้าสอง (เป้าทองและเป้าไททาเนียม) จะมีลักษณะเหมือนกันคือมีลักษณะเป็นวงกลม โดยความหนาของฟิล์มบนวัสดุรองรับที่จุดกึ่งกลางของแท่นวางจะมีความหนามากที่สุดและลดลง เมื่อระยะห่างจากจุดกึ่งกลางเพิ่มขึ้น จึงอาจกล่าวได้ว่าการกระจายตัวของสารเคลือบมีลักษณะการ กระจายตัวเป็นแบบวงกลม (มีสมมาตรในแนวรัศมี) เมื่อพิจารณาความหนาของฟิล์มที่ตำแหน่งต่างๆ จากจุดศูนย์กลางคาโทดพบว่าฟิล์มจะหนามากที่สุดบริเวณจุดศูนย์กลางคาโทดและเบาบางลงตาม แนวรัศมี จากผลการทดลองสรุปได้ว่า ที่ระยะระหว่างเป้าสารเคลือบกับวัสดุรองรับมีค่า เท่ากับ 10 cm แมกนีตรอน คาโทด ที่สร้างขึ้นนี้จะมีลักษณะการกระจายตัวที่ดีที่สุด คือ ความหนา ของฟิล์มที่เคลือบได้จะมีค่าใกลเคียงกัน โดยมีพื้นที่ที่มีความสม่ำเสมอ (หรือฟิล์มหนาใกล้เคียงกัน) ที่ บริเวณจุดกึ่งกลางของแท่นวางวัสดุรองรับ ประมาณ 4.4x4.4 cm² (รูปที่ 3.41) โดยผลของการกระจาย ตัวของสารเคลือบนี้จะไม่ขึ้นกับชนิดของเป้าสารเคลือบที่ใช้ในการเคลือบ

ตารางที่ 3.3 ความหนาของฟิล์มทองและไททาเนียมที่ตำแหน่งต่างๆ

เป้าสารเคลื่อบ	ความหนาฟิล์มที่ตำแหน่งต่างๆ (um)					
	-4.4	-2.2	0	2.2	4.4	
ทอง(Au)	0.26	0.29	0.32	0.28	0.25	
ไททาเนียม(Ti)	0.21	0.24	0.25	0.22	0.20	



รูปที่ 3.41 ลักษณะการกระจายตัวของสารเคลือบที่ตำแหน่งต่างๆ